



100-2
UNIVERSIDAD NACIONAL AUTONOMA DE MEXICO

FACULTAD DE INGENIERIA

Paquete de programas para procesado de datos
grauimetricos.

QUE PARA OBTENER EL TITULO DE
INGENIERO GEOFISICO
P R E S E N T A
JUAN JIMENEZ MENDEZ

México, D. F.

Agosto de 1982.



UNAM – Dirección General de Bibliotecas

Tesis Digitales
Restricciones de uso

DERECHOS RESERVADOS ©
PROHIBIDA SU REPRODUCCIÓN TOTAL O PARCIAL

Todo el material contenido en esta tesis está protegido por la Ley Federal del Derecho de Autor (LFDA) de los Estados Unidos Mexicanos (México).

El uso de imágenes, fragmentos de videos, y demás material que sea objeto de protección de los derechos de autor, será exclusivamente para fines educativos e informativos y deberá citar la fuente donde la obtuvo mencionando el autor o autores. Cualquier uso distinto como el lucro, reproducción, edición o modificación, será perseguido y sancionado por el respectivo titular de los Derechos de Autor.

FACULTAD DE INGENIERIA
Dirección
60-1-57



Servicio Social
Alumno

Señor JIMENEZ MENDEZ JUAN.
P r e s e n t e .

En atención a su solicitud, me es grato hacer de su conocimiento el tema que aprobado por esta Dirección, propuso el Prof. -- Ing. Octavio Lázaro Mancilla, para que lo desarrolle como tesis para su Examen Profesional de la carrera de INGENIERO GEOFISICO.

"PAQUETE DE PROGRAMAS PARA PROCESADO DE DATOS GRAVIMETRICOS"

RESUMEN.

INTRODUCCION.

- I. CORRECCIONES APLICADAS A DATOS GRAVIMETRICOS.
- II. ANOMALIAS.
- III. ALGORITMOS UTILIZADOS EN EL PROCESADO DE DATOS GRAVIMETRICOS.
- IV. PAQUETE DE PROGRAMAS PARA PROSPECCION GRAVIMETRICA.
- V. EJEMPLO.
- VI. CONCLUSIONES Y RECOMENDACIONES.

BIBLIOGRAFIA.

AVENIDICIES.

Ruego a usted se sirva tomar debida nota de que en cumplimiento con lo especificado por la Ley de Profesiones, deberá prestar Servicio Social durante un tiempo mínimo de seis meses como requisito indispensable para sustentar Examen Profesional; así como de la disposición de la Coordinación de la Administración Escolar en el sentido de que se imprima en lugar visible de los ejemplares de la tesis, el título del trabajo realizado.

Atentamente.

"POR MI RAZA HABLA EL ESPÍRITU"
Cá. Universitaria, D.F., 10 de julio de 1982.
EN DIRECTOR

J.JE'MRV'gtg

I N D I C E

pag.

RESUMEN

INTRODUCCION

CAPITULO I; Correcciones aplicadas a datos gravimétricos.....

..... I

I.1 corrección por latitud..... I

I.2 corrección de aire libre..... 2

I.3 corrección de Bouguer..... 4

I.4 corrección topográfica..... 5

I.5 corrección por el efecto de mareas terrestres..... 6

CAPITULO II; Anomalías..... 7

II.1 anomalía de aire libre..... 7

II.2 anomalía de Bouguer..... 8

II.3 isostasía..... 8

II.4 nivel de compensación..... 10

II.5 anomalía isostática..... 13

CAPITULO III; Algoritmos utilizados en el procesamiento de datos gravimétricos.....

..... 14

III.1 regional y residual..... 14

III.2 eliminación del efecto regional..... 15

a).-método prefijo..... 15

b).-método de W.Raymond Griffin..... 16

c).-método promedio de 9 puntos..... 17

III.3

a).-filtros..... 19

b).-convolución en dos dimensiones..... 20

c).-transformada de Fourier en dos dimensiones..... 21

III.4	
a).-cálculo de la segunda derivada de la componente vertical de la gravedad.....	21
b).-cálculo de la segunda derivada por medio del método del coeficiente numérico.....	23
c).-método de Roland G. Henderson.....	24
d).-método de Thomas A. Elkine.....	25
e).-método de Otto Reisenbach.....	26
III.5 Continuación analítica de campo.....	30
III.6 determinación del regional por ajuste superficial.....	32
III.7 efecto gravitatorio de formas simples.....	34
a).-esferas.....	34
b).-atracción de una lente.....	35
c).-cilindro enterrado horizontalmente.....	36
III.8 cálculo de la profundidad.....	37
a).-para esferas.....	37
b).-para cilindros.....	38
III.9 exceso y déficit de marea.....	39
III.10 entrata equivalente	41
III.11 atracción gravitacional de estructuras de dos dimensiones.....	44
a).-atracción de lámina plana.....	44
b).-atracción de prisma	46
c).-integración de áreas por medio de prismas.....	48
III.12 método analítico (Talwani).....	49

III.I3	comparación de perfiles	51
III.I4	atracción gravitacional de cuerpos de tres dimensiones de formas arbitrarias.....	51
CAPITULO IV	paquete de programas para prospección gravimétrica.....	55
	preparación de datos	56
CAPITULO V	ejemplo.....	99
CAPITULO VI	conclusiones y recomendaciones.....	107
	bibliografía.....	108
	apéndice A (cálculo de la densidad.....	110
	apéndice B (tablas).....	III

R E S U M E N

Este trabajo describe los diferentes métodos utilizados en prospección gravimétrica y en forma principal lo referente a procesamiento digital de datos gravimétricos.

El objetivo de esta tesis es contar con un paquete de programas que faciliten el trabajo en este método geofísico:

Los alcances de este trabajo se limitan al análisis teórico de los métodos propuestos y un bloque de programas de computadora, así como también un pequeño ejemplo.

El texto está organizado de la siguiente manera:

En el capítulo I; se estudian las diferentes correcciones aplicadas a datos gravimétricos.

En el capítulo II; se trata lo referente a las anomalías gravimétricas.

En el capítulo III; se tratan los algoritmos utilizados en el procesamiento de datos gravimétricos.

El capítulo IV; consta de un paquete de programas de los métodos tratados en el capítulo III.

El capítulo V; se presenta un ejemplo en el cual se puede observar algunas corridas ,de los programas expuestos.

El ultimo capítulo consta de las conclusiones y recomendaciones.

I N T R O D U C C I O N

La prospección Geofísica es una serie de métodos, los cuales están encaminados a localizar estructuras geológicas favorables para depósitos de valor comercial. Efectuando mediciones físicas desde la superficie del suelo, las cuales, nos dan información acerca de las propiedades físicas de los materiales del interior de la tierra.

Los datos de los estudios Geofísicos, para ser eficaces dependen de la calidad de estos y de la forma en que son interpretados.

El método por gravedad descubre y mide las pequeñas variaciones laterales de la atracción gravitatoria del suelo, que están asociadas a cambios de la densidad próximas a la superficie. Estos cambios de la densidad se deben a que las rocas tienen densidades diferentes, las cuales las más densas ejercen mayor atracción gravitacional.

Los diferentes tipos de anomalías de la gravedad buscadas en la exploración, representan una parte muy pequeña del campo total terrestre; por este razón, para medir pequeñas diferencias los instrumentos empleados deben de ser extraordinariamente sensibles.

CAPITULO I

CORRECCIONES APLICADAS A DATOS
GRAVIMETRICOS

En trabajos gravimétricos, lo que interesa es poder definir contrastes de inhomogeneidades y densidades en la parte de la tierra que se está investigando.

Lo importante es la diferencia entre el efecto de un rasgo particular de gravedad y el efecto si tal rasgo no estuviera presente, por tal motivo se hace necesario una medición de g en un punto apropiado del área que se está investigando y otra medición en un punto fuera del área para calcular el valor de Δg (diferencia entre la gravedad del lugar y la gravedad en el punto de referencia).

Y obtener

$$g = g \pm \Delta g$$

_{ref}

Sin embargo, la diferencia de gravedad entre dos puntos depende de otros factores independientes de variaciones de densidad; los cuales son: latitud, elevación, topografía del terreno, deriva del aparato y mareas terrestres.

Una vez obtenido el valor de Δg , se necesita corregirlo para eliminar el efecto de estos factores.

Las principales correcciones requeridas son las siguientes:

I.I CORRECCION POR LATITUD ($\Delta_l g$)

Ya mencionamos que la gravedad varía con la latitud, debido a la forma de la tierra, por lo tanto:

Si el lugar (s) y el punto de referencia (p), difieren en latitud, debe eliminarse este efecto de latitud de la diferencia de los valores medidas de la gravedad (Δg)

La variación de g con la latitud viene dada por la fórmula internacional de la gravedad, se deduce por diferenciación que si s y p difieren un $\Delta\theta = \theta_2 - \theta_1$ en latitud, la diferencia Δg en la gravedad, introducida en la medida de la diferencia de la gravedad Δg por el efecto de la latitud es:

$$\Delta g = (5.1723 \operatorname{SEN} 2\theta) \frac{\Delta\theta}{\text{radian}} \quad \text{u.g.}$$

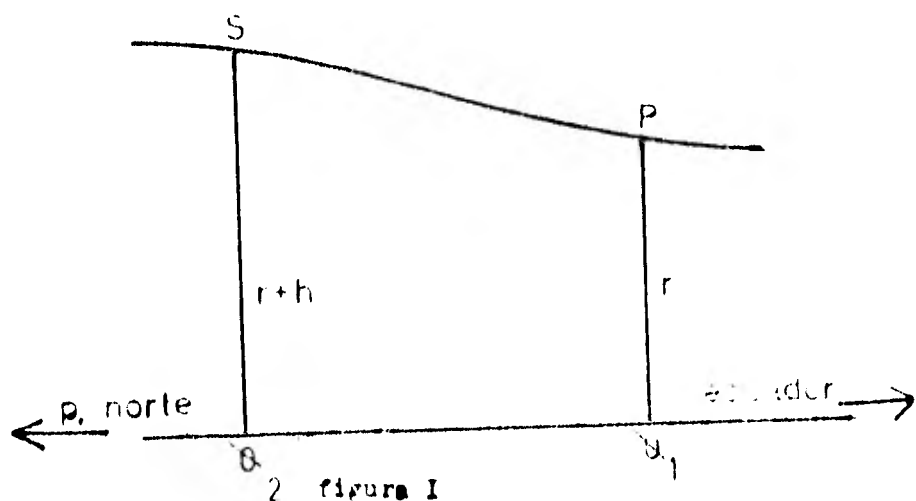
Si $\Delta\theta$ es pequeño, Δg puede escribirse en términos de la distancia de norte a sur entre s y p por medio de la siguiente ecuación:

$$\Delta g = 0.315 \operatorname{SEN} 2\theta \frac{\text{u.g.}}{100\text{m.}}$$

Si s está a una latitud superior a p (en donde g es mayor debido al efecto de latitud) Δg deberá restarse de Δg y si s está a una latitud menor que p , Δg deberá sumarse; figura I.

I.2 ALTURA (corrección de mire libre) (Δg)

La g varía con la distancia r al centro de la tierra segun $1/r^2$, por lo tanto g decrecerá al incrementarse la altura sobre la superficie de la tierra y si s y p no están a la misma altura, esto afectará a Δg .



Así, el valor de g en p es:

$$g_p = \gamma \frac{M}{r^2} \quad \dots \dots (1)$$

Y el valor de gravedad en s es:

$$g_s = \frac{M}{(r+h)^2} \quad \dots \dots (2)$$

Dividiendo $\frac{g_s}{g_p}$ para compararlos, tendremos:

$$\frac{g_s}{g_p} = \frac{r^2}{(r+h)^2}$$

despejando g_s

$$g_s = \left(\frac{r^2}{(r+h)^2} \right) g_p \quad \dots \dots (3)$$

si h es pequeña, es permisible escribir esta ecuación en la siguiente forma.

$$g_s = g_p \left(1 - \frac{2h}{r} \right) = g_p - \frac{2h}{r} g_p \quad \dots \dots (4)$$

y la diferencia de la gravedad $\Delta_2 g$, entre s y p debida al efecto de altura es

$$\Delta_2 g = g_p - g_s = \frac{2h}{r} g_p \quad \dots \dots (5)$$

si $r=R=6367$ Km = radio medio de la tierra; tendremos:

$$\Delta g = 3.086 h \text{ u. g.} \quad \dots \dots (6)$$

donde h en metros. Si $s > p$

h es positiva, $\Delta_2 g$ será positiva y deberá sumarse a Δg ; si $s < p$

h es negativa y $\Delta_2 g$ deberá restarse a Δg

I.3 CORRECCION DE BOUGUER (Δg)

La corrección de Bouguer se hace para eliminar atracciones del material entre la estación (s) y el punto de referencia (p).

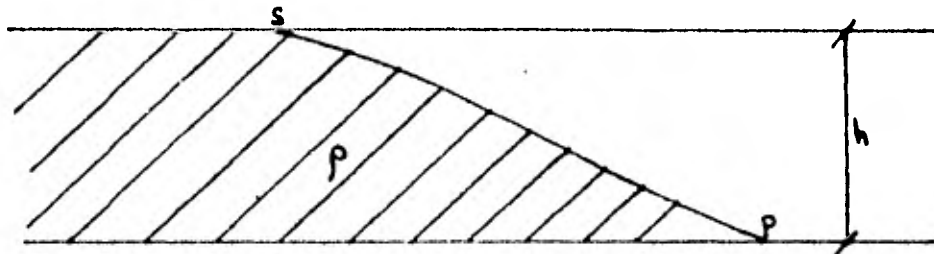


figura 2

La gravedad en s será mayor que en p en una cantidad Δg_s causada por la atracción adicional ejercida por el material de densidad ρ existente entre las estaciones s y p.

Suponiendo el material como una lámina horizontal de extensión infinita,

el efecto de esta lámina sería : $2\pi\gamma\rho h$

Por lo tanto la corrección que habrá que efectuar es:

$$\Delta g = 2\pi\gamma\rho h \quad \text{--- (1)}$$

Sustituyendo valores para 2π y γ tendremos:

$$\Delta g = 41.91 \times 10^5 \rho h \quad \text{--- (2)}$$

donde h se mide en metros y

$$\rho \text{ en } \frac{\text{Kg}}{\text{m}^3}$$

Δg debe restarse, si s está sobre p y sumarse si s está debajo de p.

En esta corrección ρ debe de ser conocida o supuesta.

I.4 CORRECCION TOPOGRAFICA (Δg)

Consideremos el perfil topográfico de un área determinada, -
figura 3,

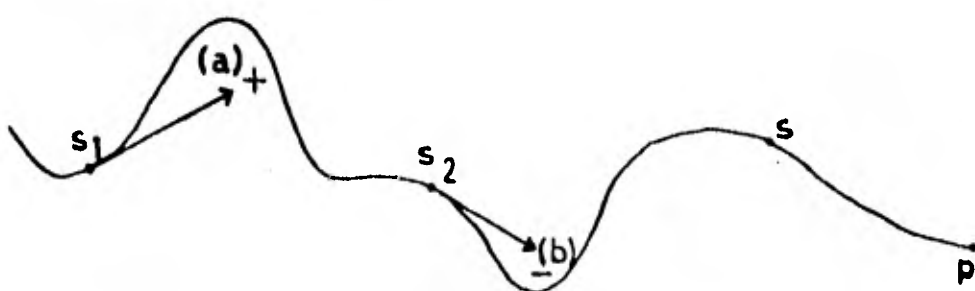


figura 3.

En el punto s_1 estación p_1 , la gravedad será menor que en el punto s estación p debido a que la cima (a) ejerce una atracción positiva cuya efecto es hacia arriba.

De la misma manera en el punto s_2 , es también menor que s debido a que el valle (b), ejerce una atracción negativa en la dirección de la flecha.

Por lo tanto para eliminar estos efectos, esta corrección debe de ser siempre sumada a Δg , para aumentar g al valor que tendría si la topografía fuera plana.

Esta corrección se calcula dividiendo el área que rodea el lugar en compartimientos, tomando la elevación media de cada compartimiento.

El efecto de la topografía de cada segmento sobre la gravedad se lee en unas tablas extendidas ya calculadas.

La corrección topográfica Δg se obtiene sumando las correcciones de los distintos compartimientos individuales.

I.5 CORRECCION POR EL EFECTO DE MAREAS TERRESTRES

La gravedad tiene variaciones debido a las atracciones del sol y de la luna.

Estas atracciones levantan o bajan las aguas de la tierra periódicamente (mareas), deformando también a la superficie sólida. La magnitud de la variación depende de la latitud, día del mes, época del año y del tiempo; existen dos métodos para obtener la corrección:

a).-consiste en elaborar registros diarios de la variación de la intensidad de la gravedad por la marea en una estación fija y corregir todas las lecturas de las estaciones móviles , de acuerdo con aquellos registros .

b).- utilizando el mismo instrumento de medida en el campo volviendo a la estación de base con la frecuencia suficiente, para que los efectos de las mareas terrestres queden incorporados a la curva de deriva del instrumento.

NOTA:

La principal imprecisión en las correcciones se debe a la elección de la densidad de las mareas.

CAPITULO : II

A N O M A L I A S

Una anomalía gravitatoria, es la diferencia entre el valor medido de la gravedad en algún punto, y el valor teórico de la gravedad en el mismo punto predicho por la fórmula internacional de la gravedad, después de haber aplicado unos factores de corrección.

El tipo de anomalía depende de las correcciones que se hayan hecho al valor observado.

Estas anomalías se utilizan para fines geofísicos distintos y según el fin, utilizaríremos uno u otro tipo de anomalía.

Los pasos en la determinación de una anomalía gravitatoria son los siguientes:

- a).- Se mide g en el lugar en cuestión (g_s)
- b).- Se calcula el valor teórico de g (g_0), dado por la fórmula internacional de la gravedad para un lugar en la misma latitud (y al nivel del mar).
- c).- Se calcula la diferencia de gravedad ($\Delta g = g_s - g_0$).
- d).- Se aplican las correcciones de aire libre, bouguer y topográfica a Δg , según el tipo de anomalía (no es necesaria la corrección de latitud debido a que g_0 se aplica a la misma latitud que g_s).

NOTA

Si se resta g_0 , esta implica dicha corrección.

II.I ANOMALIA DE AIRE LIBRE ($\Delta_f g$)

Esta anomalía es como sigue:

$$\Delta_f g = \Delta g + \text{corrección de aire libre}$$

$$\Delta_f g = \Delta g + \Delta_2 g = \Delta g + 3.086 h$$

donde h =altura del lugar en metros

Δg se mide en g.u.

II.2 ANOMALIA DE BOUGUER ($\Delta_B g$)

Esta anomalía es como sigue:

$$\Delta_B g = \Delta g \pm \text{corrección de aire libre} \pm \text{corrección de bouguer}$$

\pm corrección topográfica \pm corrección de latitud

$$\Delta_B g = \Delta g + \Delta_2 g + \Delta_3 g + \Delta_4 g + \Delta_1 g$$

$$\Delta_B g = \Delta g + 3.086h - 41.91 \times 10^5 \rho h + \Delta_4 g + \Delta_1 g$$

donde h = altura del lugar en metros

$$\rho = \text{densidad} \left[\frac{\text{Km}}{\text{m}^3} \right]$$

$\Delta_B g$ se mide en g.u.

NOTA

A mayor altura topográfica, más negativa resulta la anomalía de Bouguer.

II.3 ISOSTASIA

La interpretación de las anomalías gravitatorias se basa en la ecuación siguiente: $g = \frac{4\pi G \rho}{3}$

En donde si ρ baja, g será baja ; implicará deficiencia de masa
 si ρ alta, g será alta ; implicará exceso de masa

por lo tanto esto nos lleva a considerar lo siguiente:

Una anomalía negativa indica una región con deficiencia de masa
 y una anomalía positiva indica una región con exceso de masa.

Aplicando esto a la anomalía de Bouguer; se tiene figura 4.

LUGAR	ANOMALIA DE BOUGUER
área continental	negativa
área marina	positiva
nivel del mar	aproximadamente cero

LUGAR	ANOMALIA DE BOUGUER
área continental	negativa
área marina	positiva
nivel del mar	aproximadamente cero

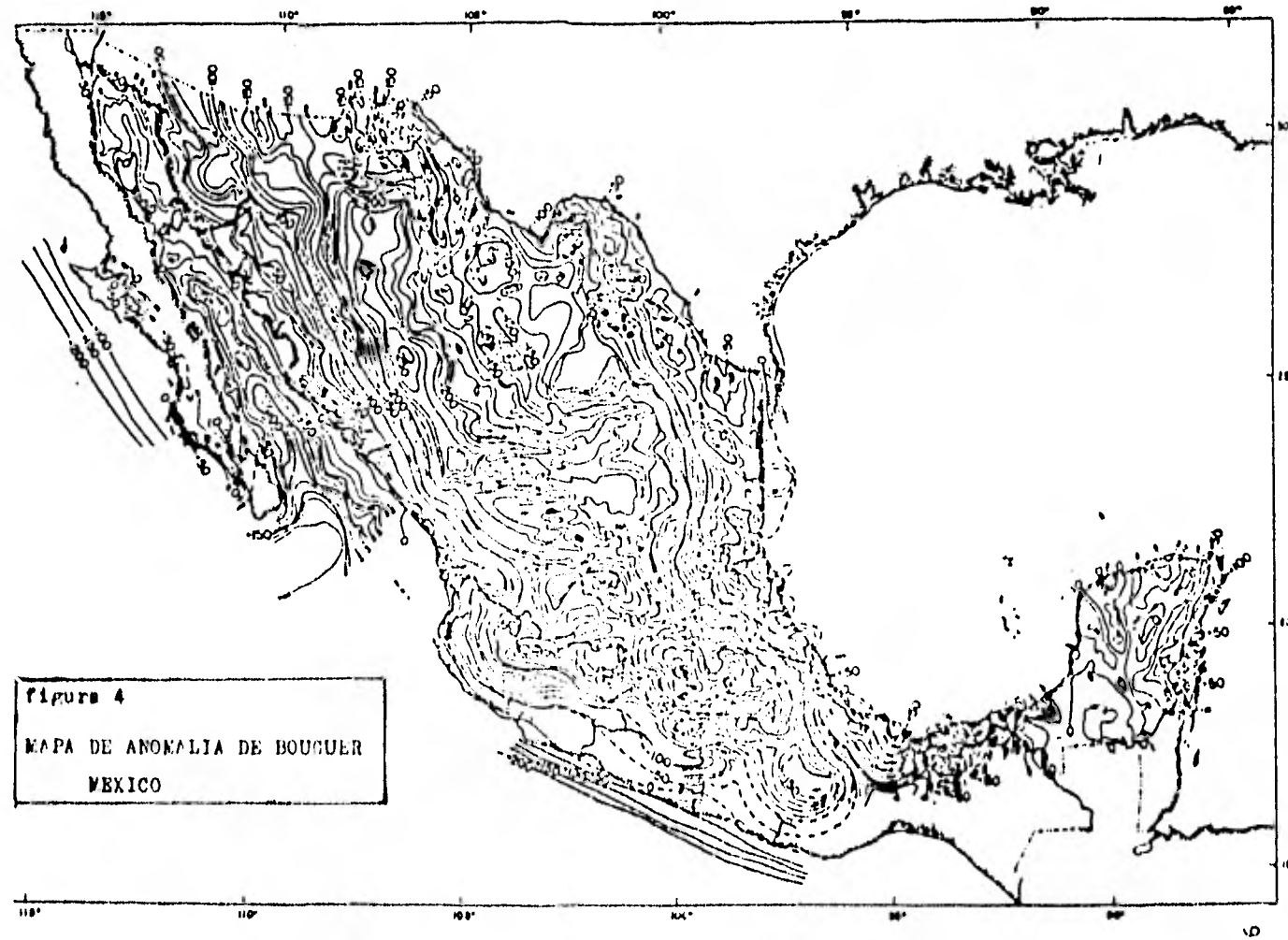


figura 4
MAPA DE ANOMALIA DE BOUGUER
MEXICO

Este es el principio de la isostasia, y en él que queda clara que los sistemas montañosos no ejercen la atracción que obviamente son capaces?.

La solución de esto, es que la masa continental debe ser compensada al menos por una deficiencia de masa igual bajo el nivel del mar, dando como resultado una atracción neta muy pequeña; en 1889 DUTTON dio el nombre de isostasia para describir este fenómeno de compensación.

II.4 NIVEL DE COMPENSACION

a).- HIPOTESIS DE PRATT

PRATT sugirió que el nivel de compensación está situado a una profundidad constante, alrededor de la tierra (figura 5) y que el material bajo el nivel de compensación, se ajusta al equilibrio isostático, por variaciones laterales de densidad, dependiendo de la elevación:

b).-HIPOTESIS DE AIRY

AIRY sugirió que el nivel de compensación está situado a una profundidad constante alrededor de la tierra (figura 6), y que el material que está por encima forma una corteza de baja densidad que yace sobre un sustrato de alta densidad.

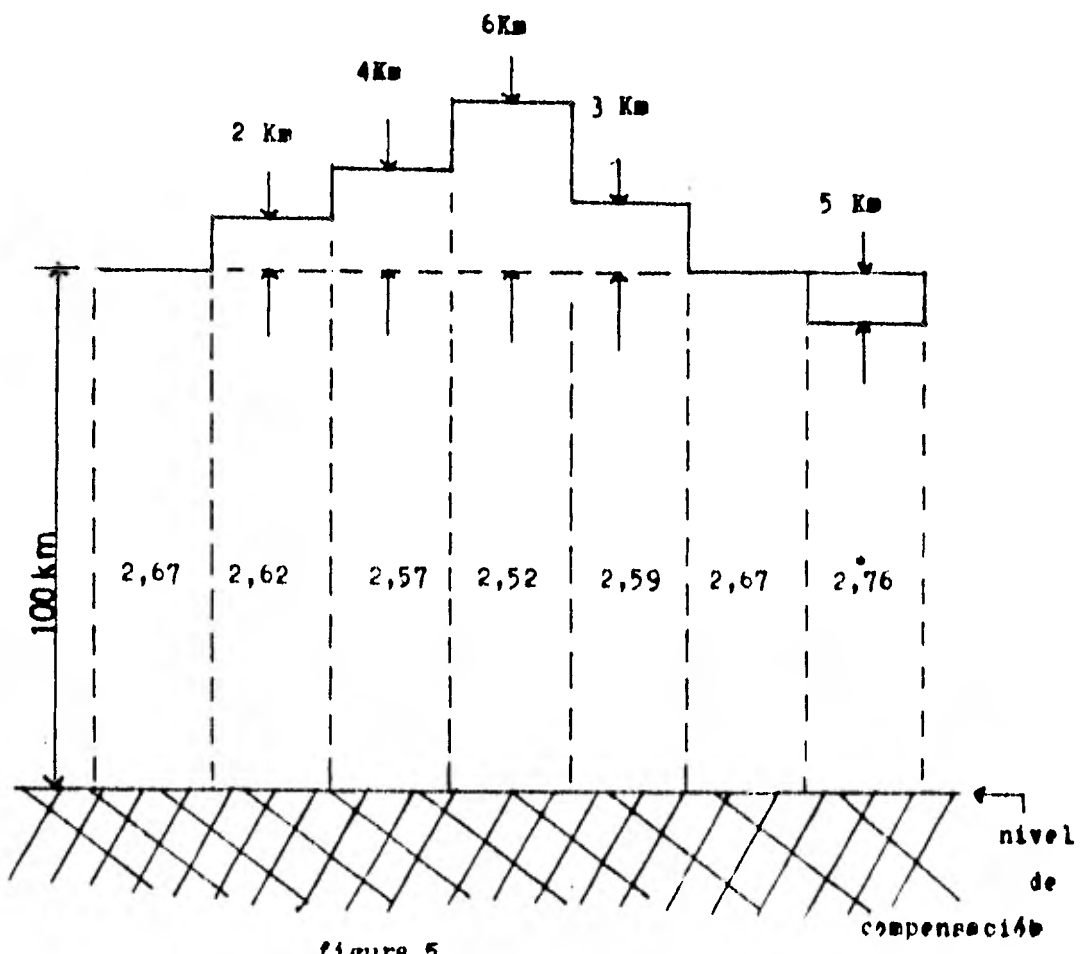


figura 5

Compensación isostática de acuerdo con la hipótesis de Pratt, la compensación de lugar o un ajuste lateral de la densidad.

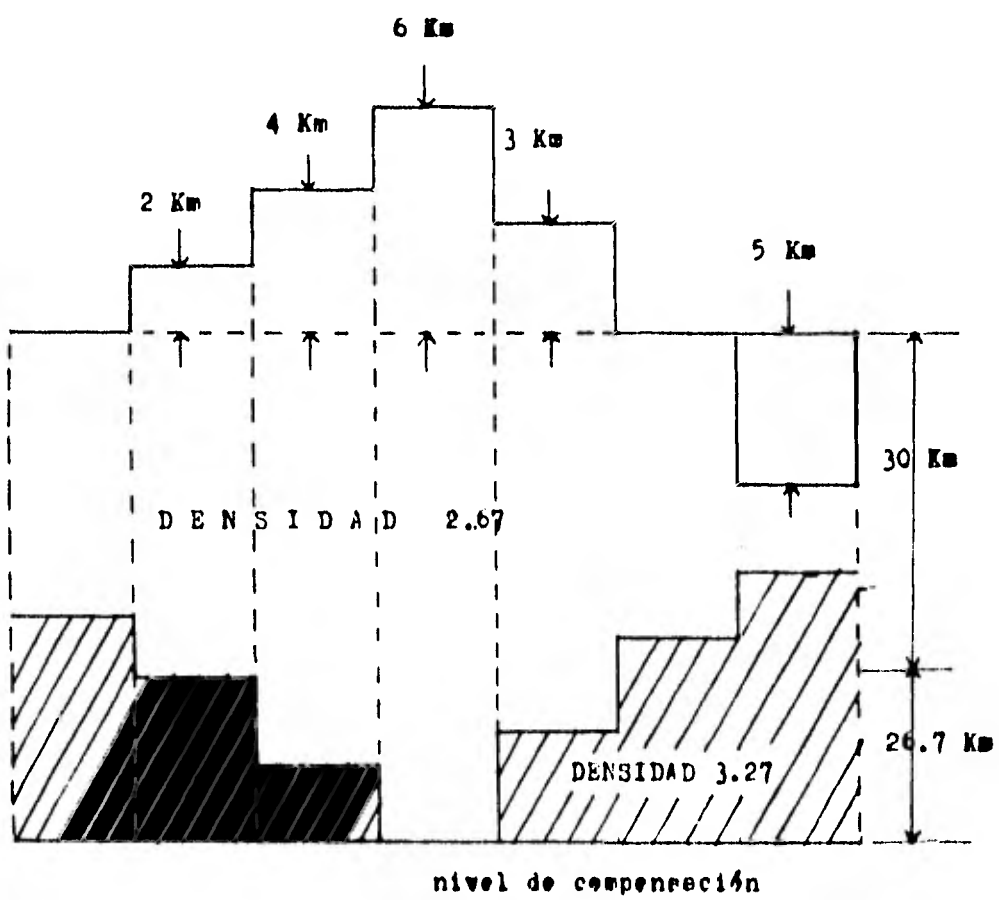


figura 6
Compensación isotáctica de acuerdo con la hipótesis de Airy, la compensación de lugar es un ajuste de la base de la corteza.

II.5 ANOMALIA ISOSTATICA

LA compensación isostática en cualquier lugar se determina cuantitativamente tomando como base los datos de la gravedad, haciendo una corrección adicional.

Esta corrección dependerá del tipo de compensación isostática supuesta (PRATT "o" AIRY).

Por lo tanto:

anomalía isostática=anomalía de bouguer -

anomalía de raíz predicha

Definiendo raíz como: parte inferior , base de una montaña

Haciendo un cuadro de la ecuación anterior tenemos :

ANOMALIA ISOSTATICA	SIGNIFICADO
positive	falta de compensación
negative	sobrecompensación
cero	equilibrio isostático perfecto.

CAPITULO III

ALGORITMOS UTILIZADOS EN EL PROCESADO
DE DATOS GRAVIMETRICOS

Después de calculada la anomalía de Bouguer para cada uno de los puntos de una superficie, estos se colocan en un mapa y se unen mediante curvas de igual valor (mapa de gravedad de Bouguer), este mapa de Bouguer, dará información cuando sea estudiado mediante técnicas adecuadas.

III.I REGIONAL Y RESIDUAL

El mapa de Bouguer contiene dos efectos, el regional (bajas frecuencias) y el residual (altas frecuencias).

Este residual corresponde a perturbaciones locales y son de mayor importancia. Para ser interpretadas deben ser sustraídas del efecto regional.

Esta teoría nos conduce a la ecuación:

$$B(x,y) = g(x,y) + R(x,y) \quad ----- (A)$$

donde

$B(x,y)$ = anomalía de bouguer en el punto (x,y)

$g(x,y)$ = regional en el punto (x,y)

$R(x,y)$ = residual en el punto (x,y)

De la ecuación (A) las incógnitas son $g(x,y)$ y $R(x,y)$, por lo tanto, la ecuación tiene un número infinito de soluciones, para reducir este número se necesita toda la información que se pueda obtener sobre una o ambas incógnitas, y ésta es:

INFORMACION

gravimétrica

eléctrica

seismológicas

magnetométrica

geológica

otras

III.2 ELIMINACION DEL EFECTO REGIONAL

Entre las numerosas m todes que se han ideado para la separaci n del regional y residual, se exponen las siguientes:

a).- M TODO GRAFICO

En este m todo, se obtiene una tendencia regional sobre la anomal a de Bouguer, el residual se obtiene restando a la anomal a la tendencia regional.

Para dibujar la tendencia regional, es utilizada toda informaci n geol gica acerca del ´rea.

TEORIA DEL M TODO

Cuando los contornos de una anomal a son bastante regulares, se pueden trazar la tendencia dibujando l neas que unan los contornos no afectados fuera del ´rea de anomal a (figura 7).

En los puntos en que los contornos ficticios cortan a los contornos de la gravedad observada, se señalan las diferencias que tendr n valores l xicos en cada intersecci n; el plano que resulta representa la gravedad residual.

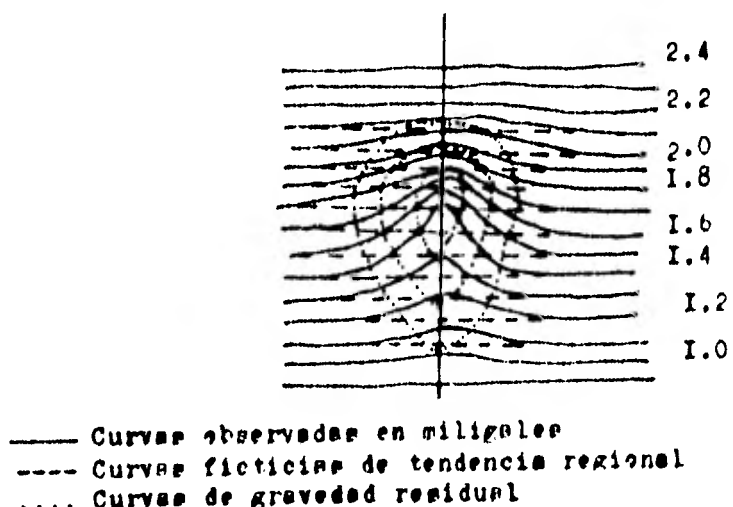


Figura 7

Este mismo procedimiento se puede aplicar por medio de una sección que atraviese la anomalía, la tendencia regional se puede representar por la línea recta que une los extremos del perfil a cada lado de la anomalía.

El perfil residual se obtiene restando de la gravedad observada el valor regional calculado (figura 8).

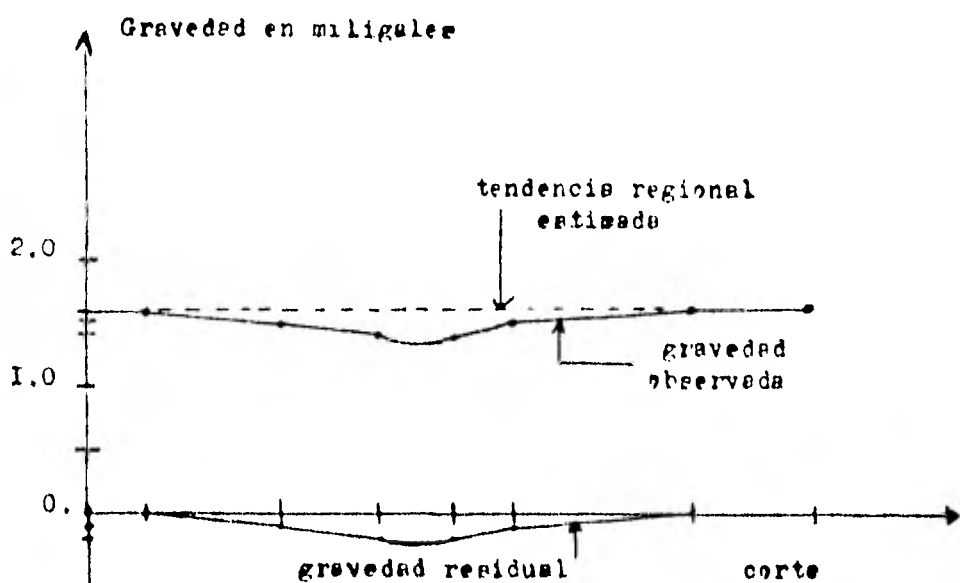


Figura 8

b). - MÉTODO DE R. RAYMOND GRIPPIN

La expresión matemática es la siguiente:

$$\Delta g = \rho(0) - \rho(r)$$

Dónde Δg =efecto residual

$\rho(0)$ =anomalía de Bouguer en el punto donde se desea hacer la eliminación de efecto regional.

$\bar{\rho}(r)$ =valor promedio de la cinta de anomalía de Bouguer

$$\bar{\rho}(r) = \frac{1}{2\pi} \int_0^{2\pi} \rho(r, \theta) d\theta$$

El valor promedio $\bar{g}(r)$ se obtiene alrededor de un círculo de radio r , teniendo $g(0)$ en el centro y obteniendo la suma de $g(r, \theta)d\theta$ para un número infinito de pequeños $d\theta$ (figura 9)

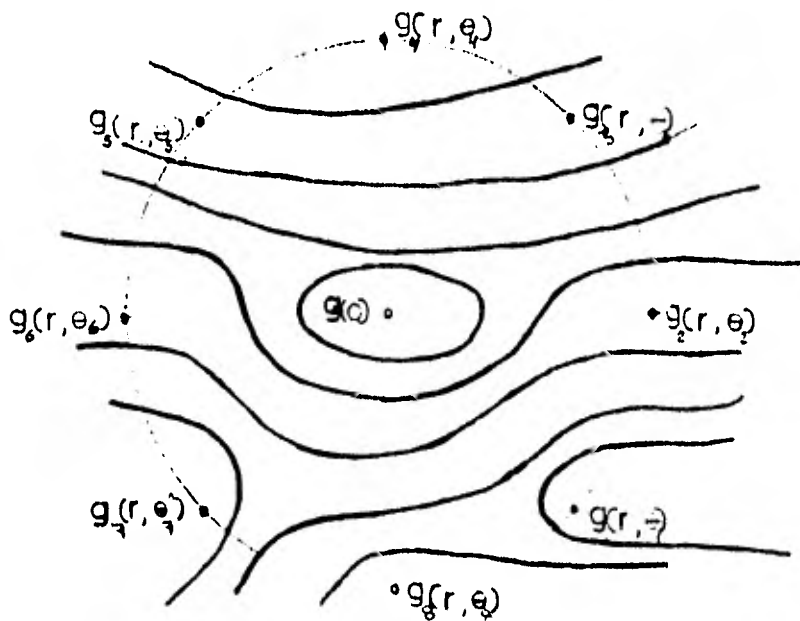


FIGURA 9

$\bar{g}(r)$ también se puede calcular de la siguiente manera:

$$\bar{g}(r) = \left[g_1(r) + g_2(r) + g_3(r) + \dots + g_n(r) \right] / n$$

c). - METODO PROMEDIO DE 9 PUNTOS

La expresión matemática es la siguiente:

$$A_r = A_0 - \left[A_0 + \frac{\sum A(r)}{9} + \frac{\sum A(r)\sqrt{2}}{9} \right]$$

donde

A_r = anomalía residual

A_0 = anomalía de Bouguer en el punto donde se desea hacer la eliminación de efecto regional.

$A(r)$ = valores de anomalía de Bouguer a una distancia r del valor A_0

$A(r\sqrt{2})$ =valores de anomalia de bouguer a una distancia
 $r\sqrt{2}$ del valor A_0

Teniendo como referencia la figura IO

$A(r\sqrt{2})$	$A(r)$	$A(r\sqrt{2})$	
	$A(r)$	A_0	$A(r)$
$A(r\sqrt{2})$	$A(r)$	$A(r\sqrt{2})$	

figura IO

Este método tambien se puede aplicar por medio de convolucion
utilizando la siguiente reticula como filtro:

$\frac{1}{9}$	$\frac{1}{9}$	$\frac{1}{9}$
$\frac{1}{9}$	$\frac{1}{9}$	$\frac{1}{9}$
$\frac{1}{9}$	$\frac{1}{9}$	$\frac{1}{9}$

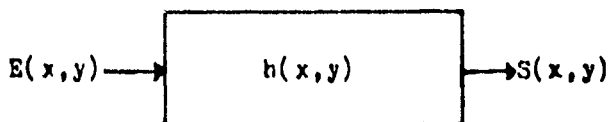
figura II

III.3

a).- FILTROS

Son sistemas en los que se tratan ciertas señales de entrada $E(x,y)$ y se obtienen señales de salida $S(x,y)$; este proceso depende de las características del sistema (respuesta al impulso $h(x,y)$).

Observando la figura I2 tenemos:



donde

figura I2

$E(x,y)$ =entrada(anomalía)

$S(x,y)$ =salida (anomalía filtrada)

$h(x,y)$ =función(filtro)

Si efectuamos la convolución de la entrada con la función h tendremos:

$$S(x,y) = E(x,y) * h(x,y) \quad ----- (1)$$

Esta operación se puede facilitar y analizar mejor utilizando el teorema de convolución en espacio por lo cual la ecuación quedará

$$S(W_x, W_y) = E(W_x, W_y) H(W_x, W_y)$$

donde $S(W_x, W_y)$, $E(W_x, W_y)$, y $H(W_x, W_y)$ son las transformadas de Fourier de $S(x,y)$, $E(x,y)$ y $h(x,y)$

W_x, W_y =números de onda en las direcciones x,y

b).- CONVOLUCION EN DOS DIMENSIONES

Tomando como referencia la ecuación (A), vemos que no es necesario calcular la transformada de Fourier de la entrada y del filtro.

O sea, que la convolución en dos dimensiones se lleva a cabo sin usar el dominio del número de onda, por lo tanto la ecuación (A) se pone en la forma siguiente:

$$S(x, y) = \int_{-\infty}^{\infty} \int_{-\infty}^{\infty} E(\alpha, \beta) H(x - \alpha, y - \beta) d\alpha d\beta \quad \dots \quad (B)$$

donde

$E(x, y)$ =entrada(anomalía)

$H(x, y)$ =función(filtro)

$S(x, y)$ =salida(anomalía filtrada)

Un filtro debe de ser de extensión finita para que se pueda usar. Cuando utilizamos computadoras digitales esto se cambia al caso de muestras discretas

$$S(x, y) = \sum_{n=-y}^{y} \sum_{k=-x}^{x} E(k \Delta x, n \Delta y) H(x - k \Delta x, y - n \Delta y) \Delta x \Delta y$$

$$n = \frac{y}{\Delta y} \quad k = \frac{x}{\Delta x}$$

c).- TRANSFORMADA DE FOURIER EN DOS DIMENSIONES

Las transformadas de Fourier de $E(x,y)$, $S(x,y)$ y $h(x,y)$ son:
Para:

la entrada:

$$E(W_x, W_y) = \int_{-\infty}^{\infty} \int_{-\infty}^{\infty} h(x, y) e^{j(W_x x + W_y y)} dx dy$$

la salida:

$$S(W_x, W_y) = \int_{-\infty}^{\infty} \int_{-\infty}^{\infty} s(x, y) e^{j(W_x x + W_y y)} dx dy$$

filtro:

$$H(W_x, W_y) = \int_{-\infty}^{\infty} \int_{-\infty}^{\infty} h(x, y) e^{j(W_x x + W_y y)} dx dy$$

III.4

e).- CALCULO DE LA SEGUNDA DERIVADA DE LA COMPONENTE VERTICAL
DE LA GRAVEDAD

Si tenemos la siguiente relación:

$$g(x, y, z) \longleftrightarrow G(W_x, W_y, Z)$$

donde $g(x, y, z)$ = atracción gravitatoria

$G(W_x, W_y, Z)$ = transformada de la atracción

De la teoría de Fourier tendremos:

$$g(x, y, z) = \frac{1}{4\pi^2} \int_{-\infty}^{\infty} \int_{-\infty}^{\infty} G(W_x, W_y, Z) e^{j(W_x x + W_y y)} dW_x dW_y \quad \text{---(A)}$$

De (A):

obteniendo las segundas derivadas parciales en la dirección x e y tendremos ?

$$\frac{\partial^2 g}{\partial y^2} = - \frac{1}{4\pi^2} \int_{-\infty}^{\infty} \int_{-\infty}^{\infty} w_y^2 \alpha(w_x, w_y, z) e^{i \frac{(w_x + w_y)}{2} y} \dots \dots \text{(c)}$$

Si se considera la ecuación de Laplace

$$\frac{\partial^2 q}{\partial z^2} = - \left[\frac{\partial^2 q}{\partial x^2} + \frac{\partial^2 q}{\partial y^2} \right] \quad \dots \dots \dots \text{(D)}$$

Y sustituimos (B) y (C) en (D) obtenemos:

$$\frac{\partial^2}{\partial z^2} \Big|_{z=0} = \frac{1}{4\pi^2} (w_x^2 + w_y^2) \int_{-\infty}^{\infty} \int_{-\infty}^{\infty} G(w_x, w_y, 0) e^{i(w_x x + w_y y)} d w_x d w_y$$

$$\frac{\partial^2 g}{\partial z^2} = (w_x^2 + w_y^2) G(w_x, w_y, 0) = H(w_x, w_y) G(w_x, w_y, 0)$$

gande

$$g(w_x, w_y, 0) \longleftrightarrow g(x, y, 0)$$

$g(x,y,0) = \text{entrade}(\text{anomalia})$

$$B(W_X, W_Y) = \text{filter}$$

$$\frac{29}{372} = \text{solido}$$

La segunda derivada de una función permite determinar los máximos y mínimos de la función y de la divergencia del gradiente del campo gravitacional, es decir la forma en que varía la gravedad en la vertical.

Dentro de la segunda derivada tenemos varios métodos, los cuales postulan una función $g(x,y,z)$ que satisface la ecuación de Laplace.

$$\nabla \cdot (\nabla g) = \nabla^2 g = 0$$

b).-CALCULO DE LA SEGUNDA DERIVADA POR MEDIO DEL METODO

DEL COEFICIENTE NUMERICO

Este método utiliza una plantilla que se superpone a una cuadrícula de valores transferidos de un mapa de gravedad.

La plantilla está perforada por un orificio en el polo en que ha de ser calculada la derivada, y lleva otra serie de orificios espaciados en círculos en torno de este punto (la distancia de los radios dependerá del método empleado).

Los valores leídos a través de los orificios son promediados para cada círculo y la derivada se calcula en términos de las medias por la fórmula:

$$D = C \frac{(W_0 H_0 + W_1 H_1 + W_2 H_2 + \dots)}{S}$$

donde

H_0 =valor de la gravedad en el punto central

H_1, H_2, \dots =los medios de los valores de la gravedad en torno de los círculos.

W_0, W_1, W_2, \dots =factores ponderados para los respectivos valores de gravedad, la suma debe de ser cero.

S =distancia correspondiente a la unidad de espaciamiento de la cuadrícula.

C =constante numérica.(esta constante se puede cambiar por K donde $K=CW_0$).

EL efecto de emplear diferentes espaciamientos de cuadrícula y

Factores ponderados, es comparable al empleo de diferentes filtros eléctricos.

Tomando como referencia la tabla I, tendremos

TABLA I

S (espaciamiento)	E F E C T O
pequeño	acentuará detalles que pudieran ser demasiado pequeños para que tuvieran importancia para el problema por resolver.
grande	harán destacar rangos más marcados en los mapas finales, pero podrían introducir una contribución mayor de la deseada de las características regionales.

A continuación se presentan algunas variantes de este método

c).-MÉTODO DE ROLAND G. HENDERSON

Su expresión matemática es la siguiente:

$$\frac{\partial^2 g}{\partial z^2} = \frac{1}{3S^2} (8\Delta T_0 - 4\overline{\Delta T(S)} - 4\overline{\Delta T(S\sqrt{2})})$$

donde

S =espaciamiento en el terreno expresado en cm.

ΔT_0 =anomalía de Bouguer en el punto donde se desea calcular

la segunda derivada

$\overline{\Delta T(S)}$ =valor promedio de la anomalía a una distancia S de ΔT_0

$\overline{\Delta T(S\sqrt{2})}$ =valor promedio de la anomalía a una distancia $S\sqrt{2}$ de ΔT_0

La reticula usada en el método de Henderson es la siguiente:

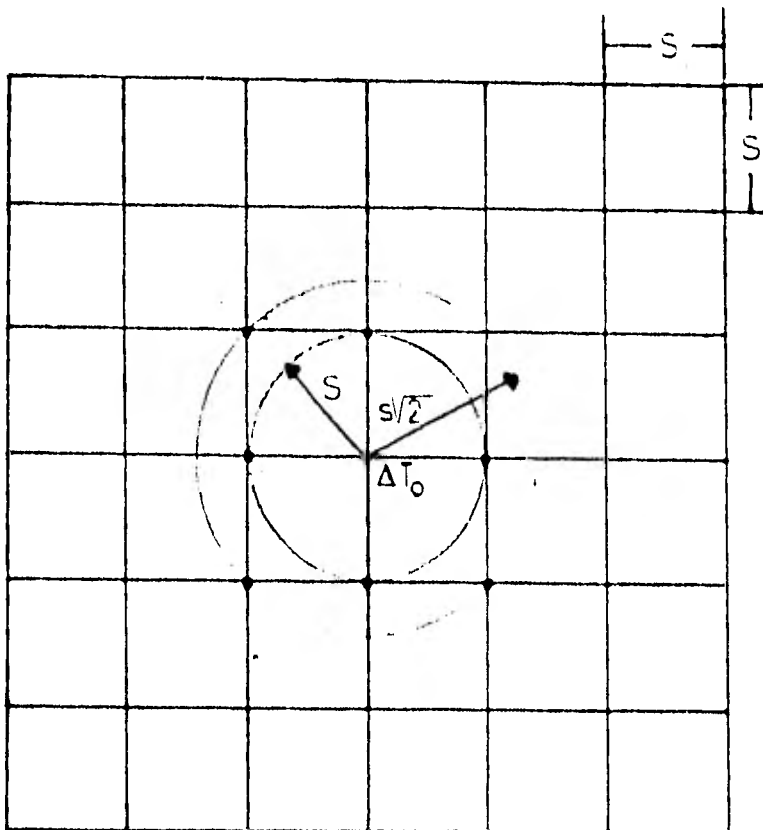


figure I3

d).- MÉTODO DE THOMAS A. ELKINS

Su expresión matemática es la siguiente:

$$\frac{\partial^2}{\partial z^2} \frac{1}{625} [44 \Delta T + 16 \Delta T(S) - 12 \Delta T(S\sqrt{2}) - 48 \Delta T(S\sqrt{5})]$$

donde

$\Delta T(S\sqrt{5})$ = valor promedio de la anomalía a una distancia $S\sqrt{5}$
de ΔT .

La retícula usada en el método de Elkins es la siguiente; figura I4.

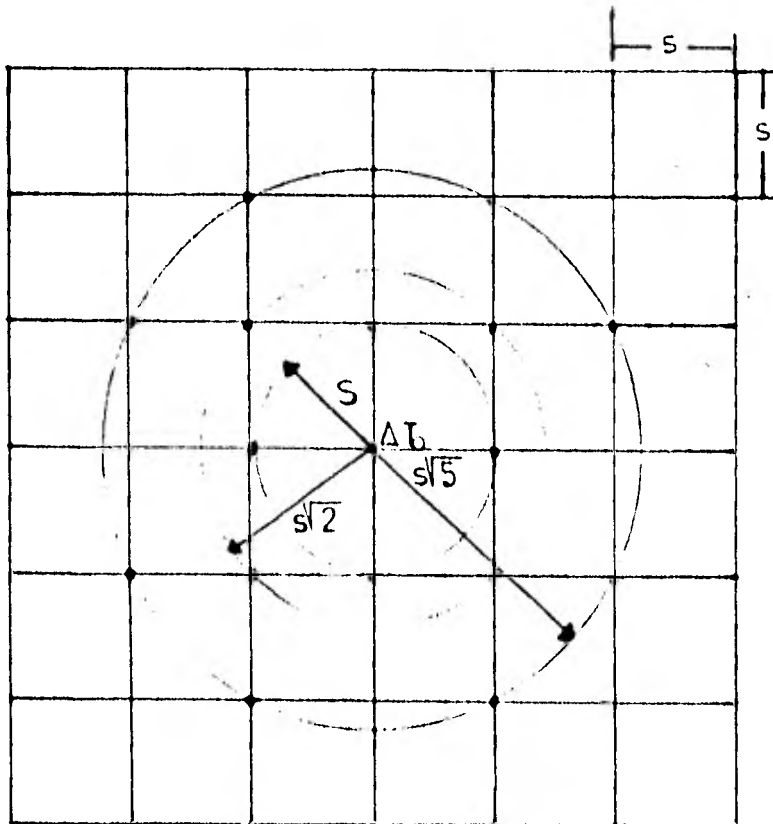


figure I4

e).- MÉTODO DE OTTO ROSENBACH

Su expresión matemática es la siguiente:

$$\frac{\partial^2 \bar{z}}{\partial z^2} = \frac{1}{24s^2} [3\bar{T} - 15\bar{T}(s) + 5\bar{T}(s\sqrt{2}) + \bar{T}(s\sqrt{5})]$$

La reticula usada en el método de Rosenbach es la siguiente.

figure I5.

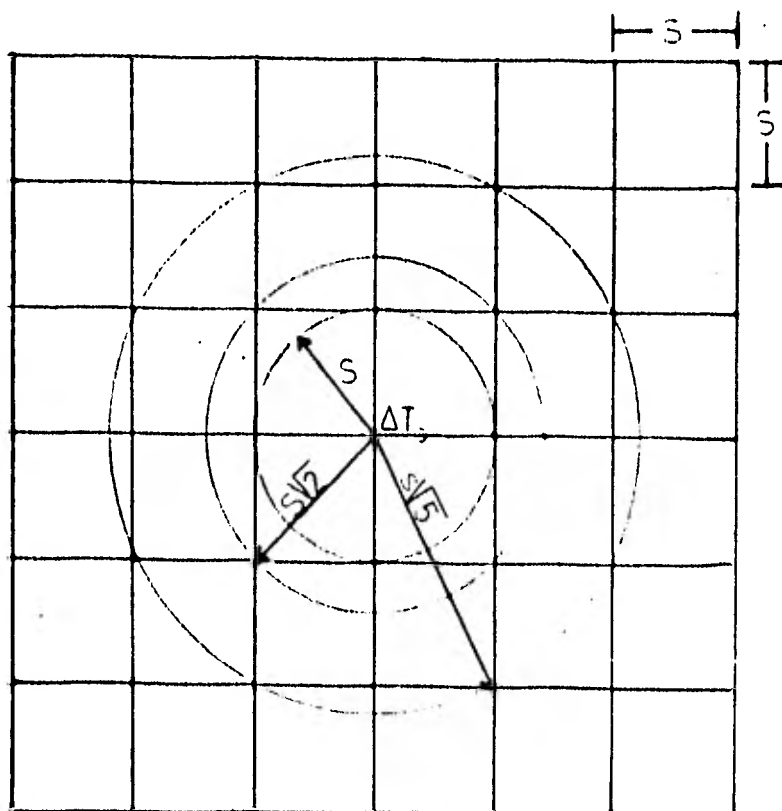


figure I5

NOTA :

La segunda derivada , tambien se puede obtener convolucionando la anomalia con una matriz (filtro), la cual contiene factores (estos factores varian dependiendo del tipo de frecuencia que se quiere eliminar).

A continuación se presenta una tabla con las fórmulas más utilizadas para el cálculo de la segunda derivada.

O R I G E N	F O R M U L A
Henderson y Zietz(1)	$\frac{\partial^2(\Delta T)}{\partial Z^2} = 6.185\Delta T_0 - 8.374\Delta T_1 + 2.189\Delta T_2$
Henderson y Zietz(2)	$\frac{\partial^2(\Delta T)}{\partial Z^2} = 2(3\Delta T_0 - 4\Delta T_1 + \Delta T_2)$
Henderson y Zietz(3)	$\frac{\partial^2(\Delta T)}{\partial Z^2} = 11\Delta T_0 - 31\Delta T_1 + 11\Delta T_2 - 4\Delta T_3$
donde $\bar{\Delta T}_0, \bar{\Delta T}_1, \bar{\Delta T}_2$ y $\bar{\Delta T}_3$ son valores promedio a las distancias $0, r, \sqrt{2}S$ y $2S$ respectivamente.	
Elkins (4)	$\frac{\partial^2 G}{\partial Z^2} = \frac{1}{64K^4r^4} [64H(0) - 16H'(r) - 4H''(r\sqrt{2}) - 3H''(r\sqrt{3})] \\ + \frac{1}{64K^4r^4} [64H(0) - 8H'(r) - 16H''(r\sqrt{2}) - 40H''(r\sqrt{3})]$
Elkins (5)	$\frac{\partial^2 G}{\partial Z^2} = \frac{1}{16K^4r^4} [16H(0) + 8H'(r) - 3H''(r\sqrt{2})] \\ + \frac{1}{16K^4r^4} [16H(0) + 8H'(r) - 14H''(r\sqrt{3})]$
Elkins (6)	$\frac{\partial^2 G}{\partial Z^2} = \frac{1}{64K^4r^4} [44H(0) + 4H'(r) - 3H''(r\sqrt{2}) - 6H''(r\sqrt{3})] \\ + \frac{1}{64K^4r^4} [44H(0) + 16H'(r) - 18H''(r\sqrt{2}) - 48H''(r\sqrt{3})]$
Peters (7)	$\frac{\partial^2 H}{\partial Z^2} = 2.136H(0) + 0.156H'(r) - 0.455H''(r\sqrt{2}) - 1.359H''(r\sqrt{3}) \\ + 0.393H''(r\sqrt{2.3})$
Rosenbach(8)	$-\left(\frac{\partial^2 f}{\partial r^2}\right)_r - \frac{1}{16r^4} [96f_0 - 18\sum f(r) - 8\sum f(r\sqrt{2}) + \sum f(r\sqrt{3})] \\ - \frac{1}{64r^4} [96f_0 - 22f(r) - 32f(r\sqrt{2}) + 24f(r\sqrt{3})]$

tabla 2

TABLA QUE PRESENTA FORMULAS EQUIVALENTES CON FACTORES DE PESO PARA LAS FORMULAS ANTERIORES

fórmula Nº.	factor K	r=s	factores de peso			
			r=s $\sqrt{2}$	r=2s	r=s $\sqrt{5}$	r=s $\sqrt{9,23}$
1	6.185	-1.354	+.354			
2	6.000	-1.333	+.333			
3	7.00	-1.523	+.571	-0.48		
4	1.067	-.125	-.250		-.625	
5	0.571	+.500	0		-1.500	
6	0.710	+.364	-.273		-1.091	
7	1.156	+.221	-.385		-1.175	+.339
8	3.000	-.750	-.333		+.083	

table 3

III.5 CONTINUACION ANALITICA DE CAMPO

Este método convierte la atracción gravitatoria (medida en el campo), en lo que sería si los cuerpos estuvieran más alejados o más cercanos:

Así tomando como referencia la figura I6, tenemos:

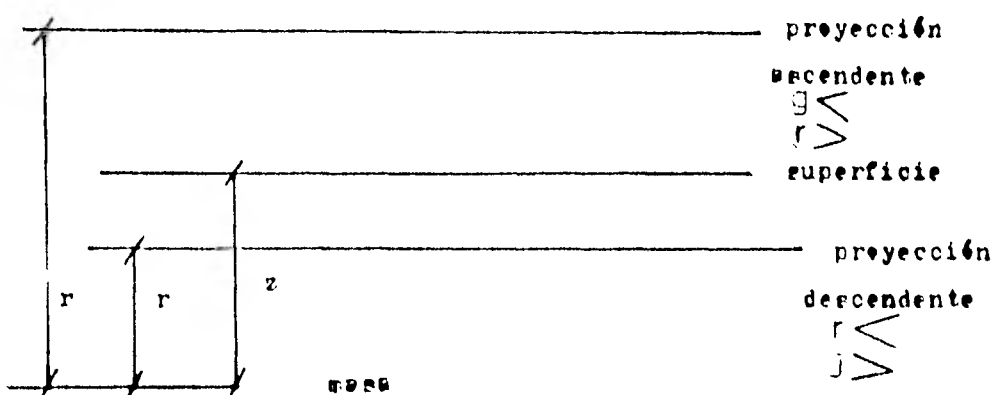


figura I6

Partiendo de que la ecuación de Laplace

$$\Delta g(x, y, z) = 0 \quad \dots \dots (1)$$

se cumple excepto donde está el cuerpo tenemos:

$$\frac{\partial^2 g}{\partial z^2} = - \left(\frac{\partial^2 g}{\partial x^2} + \frac{\partial^2 g}{\partial y^2} \right) \quad \dots \dots (2)$$

utilizando la transformada de Fourier y sustituyendo en la ecuación (2), obtenemos:

$$\begin{aligned} \frac{\partial^2}{\partial z^2} \int_{-\infty}^{\infty} \int_{-\infty}^{\infty} e^{iW_x x + iW_y y} g(x, y) dx dy &= - \left[\int_{-\infty}^{\infty} \int_{-\infty}^{\infty} \frac{\partial^2 g}{\partial x^2} e^{iW_x x + iW_y y} dx dy + \int_{-\infty}^{\infty} \int_{-\infty}^{\infty} \frac{\partial^2 g}{\partial y^2} e^{iW_x x + iW_y y} dx dy \right] \\ \frac{d^2}{dz^2} \int_{-\infty}^{\infty} \int_{-\infty}^{\infty} g(x, y) e^{iW_x x + iW_y y} dx dy &= - [(iW_x)^2 G(W_x, W_y, Z) + (iW_y)^2 G(W_x, W_y, Z)] \quad \dots \dots (3) \end{aligned}$$

Pero si se tiene en cuenta la ecuación

$$G(W_x, W_y, Z) = \int_{-\infty}^{\infty} \int_{-\infty}^{\infty} g(x, y, z) e^{j(W_x x + W_y y)} dz dy$$

y se sustituye en la ecuación (3), tendremos:

$$\frac{d^2}{dz^2} G(W_x, W_y, Z) = (W_x^2 + W_y^2) G(W_x, W_y, Z)$$

$$\frac{d^2}{dz^2} G(W_x, W_y, Z) - (W_x^2 + W_y^2) G(W_x, W_y, Z) = 0 \quad \dots \dots \dots \quad (4)$$

Esta ecuación diferencial tiene como solución

$$G(W_x, W_y, Z) = A(W_x, W_y) e^{\sqrt{W_x^2 + W_y^2} Z} + B(W_x, W_y) e^{-\sqrt{W_x^2 + W_y^2} Z}$$

Cuando

$$\lim_{Z \rightarrow \infty} G(W_x, W_y, Z) = 0 \Rightarrow B(W_x, W_y) = 0$$

por lo tanto

$$G(W_x, W_y, Z) = A(W_x, W_y) e^{\sqrt{W_x^2 + W_y^2} Z} \quad \text{para } Z :$$

$$G(W_x, W_y, 0) = A(W_x, W_y) \quad \text{de donde}$$

$$G(W_x, W_y, Z) = G(W_x, W_y, 0) e^{\sqrt{W_x^2 + W_y^2} Z} \quad \text{dónde}$$

$G(W_x, W_y, Z) = \text{salida} \Leftrightarrow g(x, y, z)$

$G(W_x, W_y, 0) = \text{entrada} \Leftrightarrow g(x, y, 0) \quad \text{análoga}$

$e^{\sqrt{W_x^2 + W_y^2} Z} = \text{filtro}$

La matriz (filtro) constará de coeficientes, los cuales varían según si la continuación es hacia arriba o hacia abajo.

III.6 DETERMINACION DEL REGIONAL POR AJUSTE SUPERFICIAL

Una aproximación bastante diferente en una separación anómala es la aplicación de un ajuste superficial.

Tales métodos matemáticos pueden ser usados bajo la hipótesis, que una superficie matemática tiende a describir la gravedad regional, en este método, de mínimos cuadrados se adecua una operación equivalente la cual determina una superficie de campo potencial, la cual es ajustada al mapa de gravedad observada.

La aproximación de la superficie dependerá del grado u orden del cálculo.

La idea general de la técnica de ajuste superficial está ilustrada esquemáticamente por la figura I7, la ilustración es solamente para una línea de perfil.

Puesto que la operación es tratada en dos dimensiones para adecuar una superficie más bien que una línea.

La gravedad observada es representada por la curva G, una de primer grado sería una línea recta, línea I.

Una de segundo grado tiene una inversión y dos líneas cruzadas como indica la línea dos.

Una de tercer grado tiene dos inversiones y tres líneas cruzadas como está mostrado por la línea tres, y una curva de cuarto grado, tendría tres inversiones y cuatro líneas cruzadas como está mostrado por la línea cuatro.

En cada uno de estos casos la curva calculada es ajustada para que la suma de los cuadrados de la diferencia entre esta y la curva observada sea mínimo.

La diferencia entre la calculada y la observada es el residual. Un alto orden enfatiza pequeños detalles del mapa original; es posible tambien hacer un mapa con la diferencia entre un orden alto y uno bajo, usando diferentes combinaciones, una gran variedad de mapas pueden ser hechos dependiendo del uso deseado. El procedimiento matemático de ajuste superficial se convierte en una operación rutinaria, solamente con la aplicación de una computadora es posible hacer las operaciones, incluyendo el contorno, de mapas bastante rápido.



figura 17

Las curvas esquematicas ilustran la tecnica de ajuste superficial de minimos cuadrados.

La curva G representa un perfil de gravedad observado, las curvas I, 2, 3, 4 representan ajustes a sucesivos ordenes.

El residual para un orden dado es la diferencia del observado y el correspondiente ajuste superficial.

III.7 EFEKTOS GRAVITATORIOS DE FORMAS SIMPLES

Es de utilidad calcular el efecto de gravedad, debido a las principales formas geométricas.

a).- Esferas De la figura I8, obtenemos lo siguiente:

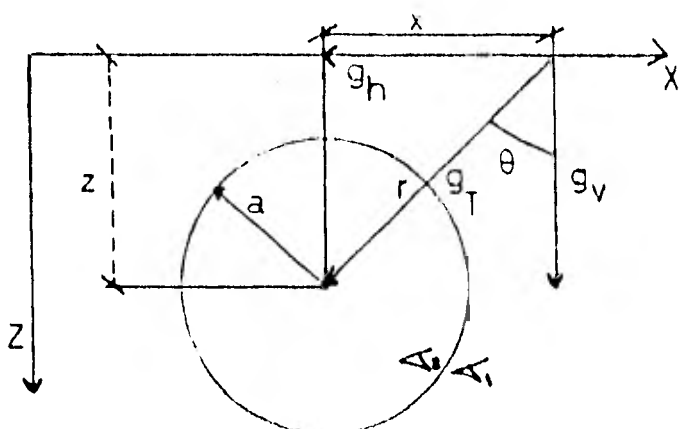


figura I8

$$\gamma_1 - \gamma_2 = \gamma = \text{contraste de densidad}$$

$$g_T = \gamma \frac{m}{r^2}$$

$$g_V = g_T \cos \theta$$

donde $V = \text{volúmen}$

$$V = \frac{m}{\gamma} = \frac{m}{\frac{4}{3} \pi r^3} = \frac{3m}{4} \pi r^3$$

restando $\frac{3}{4} \pi r^3$ de la anterior en g_V tenemos:

$$g_V = \gamma \frac{4}{3} \pi r^3 \cos \theta$$

$$\text{pero } \cos \theta = \frac{z}{r} \quad \text{por lo tanto:}$$

restando

$$g_V = \gamma \frac{4}{3} \frac{\pi r^3}{r^2} \frac{z}{r} = \gamma \frac{4}{3} \frac{\pi r^2}{r} z$$

$$g_V = \gamma \frac{4}{3} \frac{\pi r^2}{(x^2 + z^2)^{3/2}} z$$

b).- Atracción de una lámina

De la figura I9 obtenemos lo siguiente:

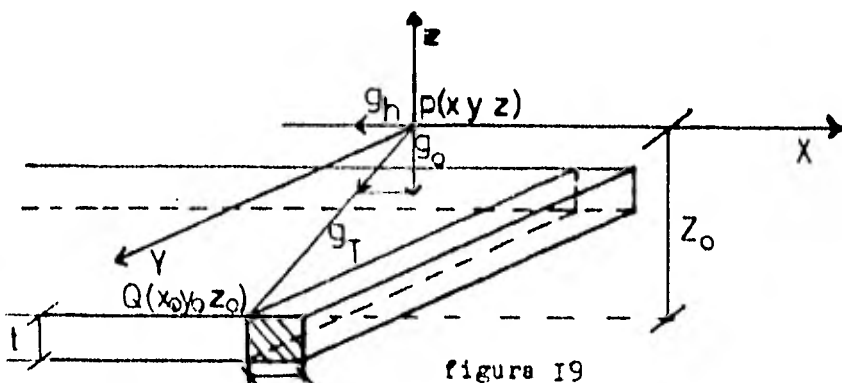


figura I9

$$g_x = \gamma \frac{2m}{r} \cos \theta$$

$$\tau = \frac{m}{v} = \frac{\text{masa}}{\text{volumen}}$$

$$v = dx\tau$$

$$\tau = \frac{m}{dx\tau}$$

$$r = \sqrt{(x-x_0)^2 + (z-z_0)^2} \quad \text{por lo cual:}$$

sustituyendo, tendremos:

$$dg(x, z) = \frac{2\pi\tau r dx}{\sqrt{(x-x_0)^2 + (z-z_0)^2}} \cdot \frac{z - z_0}{\sqrt{(x-x_0)^2 + (z-z_0)^2}} \quad \text{ahora}$$

integramos para todas las barras que queremos:

$$g(x, z) = 2\pi\tau r(z - z_0) \int_{-\infty}^0 \frac{dx}{(x-x_0)^2 + (z-z_0)^2}$$

$$g(x, z) = 2\pi\tau r(z - z_0) \left[\frac{1}{(z-z_0)} \tan^{-1} \frac{x-x_0}{z-z_0} \right]_{-\infty}^0$$

$$g(x, z) = 2\pi\tau r \left[\tan^{-1} \frac{x-x_0}{z-z_0} - \frac{\pi}{2} \right]$$

para $x=0 \quad z_0=0 \quad z=0$ en la superficie

$$g_x(x, 0) = -2\pi\tau r \left[\frac{\pi}{2} - \tan^{-1} \frac{x}{z_0} \right]$$

$$g_z(x, 0) = -2\pi\tau r \left[\frac{\pi}{2} - \tan^{-1} \frac{x}{h} \right]$$

c).- Cilindro enterrado horizontalmente

Tomando como referencia la figura 20 obtenemos lo siguiente:

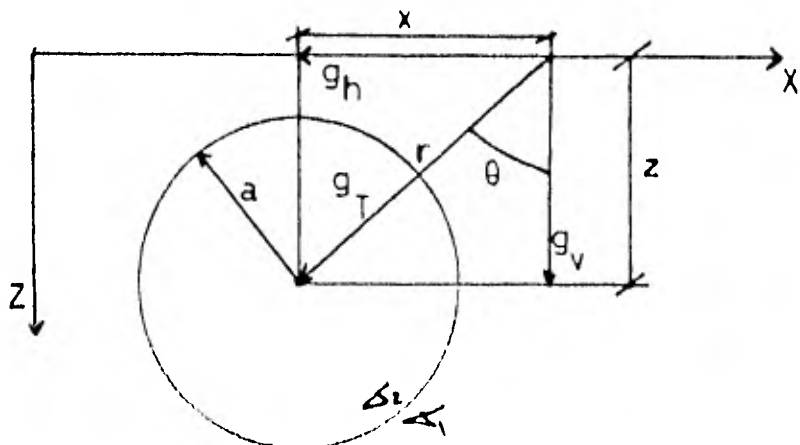


figura 20

$$g_v = g_r \cos \theta$$

donde

$$g_r = R \frac{m}{r^2}$$

$$\cos \theta = \frac{z}{r} \quad r = \frac{m}{\omega}$$

Reemplazando, tenemos:

$$g_v = \frac{2 \pi R^2 \times T^2}{r^2} = \frac{1 \pi R^2 \times T^2}{(x^2 + z^2)}$$

M O T A:

Las variables de los tres cuerpos deben estar representadas en
Unidades c.g.s.

III.8 CALCULO DE LA PROFUNDIDAD

En gravimetría hay algunas fórmulas elaboradas para calcular la profundidad, dependiendo del tipo de cuerpo que tenemos como referencia.

a).- PARA ESPERAS:

De la figura 21 tenemos:

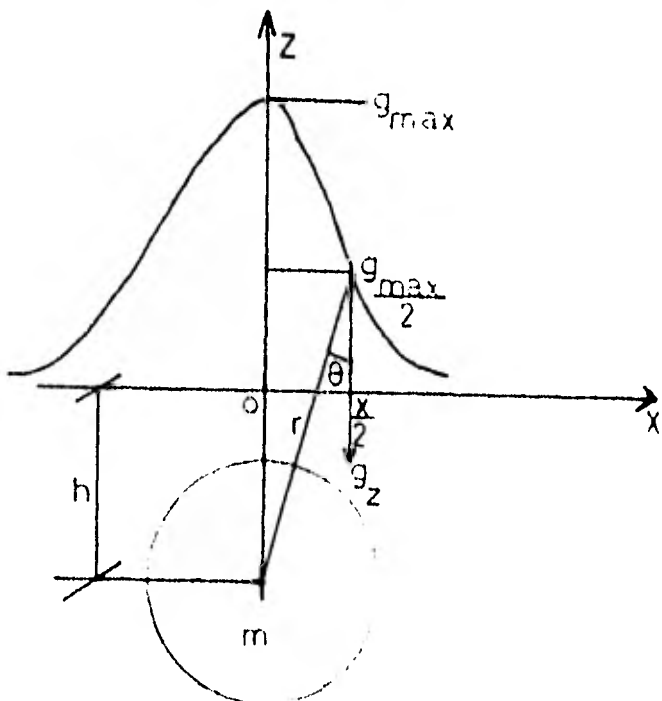


figura 21

$$r = \sqrt{(x-x_0)^2 + (z-z_0)^2}$$

en la superficie

$$x_0 = 0 \quad z_0 = 0 \quad z = h$$

per lo tanto

$$r = \sqrt{x^2 + h^2}$$

$$g_s(x-h) = g_m \cos \theta \quad \text{---(1)}$$

$$g_s(x-h) = g_m \frac{h}{r} = g_m \frac{h}{\sqrt{x^2 + h^2}} \quad \text{---(2)}$$

$$Q_{\max} \Big|_{x=0} = \gamma \frac{mb}{h^3} = \gamma \frac{m}{h^2} \quad -(3)$$

$$\frac{Q_{\max}}{2} = \frac{1}{2} \gamma \frac{m}{h^2} \quad -(4)$$

$$S_z(x, h) = \gamma \frac{m h}{[\frac{x}{2} + h^2]^{3/2}} \quad -(5)$$

$$(4) = (5)$$

$$x_{\pm} = \pm 0.75 h$$

por lo tanto tenemos lo siguiente:

$$h = 1.333 \frac{x}{2}$$

ii) .- PARA CILINDROS

$$S_z(x, h) = 2 \gamma \frac{m}{\pi} \frac{h}{r} = \gamma \frac{m^2 h}{\pi r^2}$$

$$S_z(x, h) = \gamma \frac{m^2 h}{[x^2 + h^2]}$$

$$Q_{\max} \Big|_{x=0} = 2 \gamma \frac{m}{h} \quad \Rightarrow \quad Q_{\max} \Big|_2 = \gamma \frac{m}{h}$$

$$S_z \Big|_{x=\frac{h}{2}} (x, h) = \gamma \frac{m^2 h}{[\frac{h^2}{4} + h^2]}$$

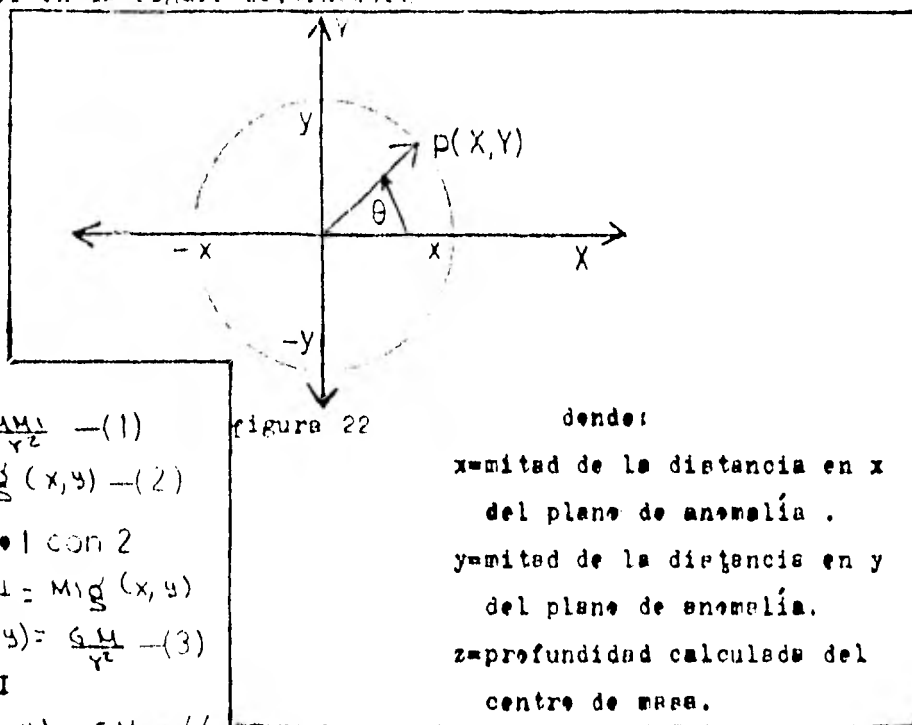
igualando tenemos que:

$$h = x$$

III.9 EXCESO O DEFICIT DE MASA

En una anomalía de Bouguer es importante calcular el exceso o déficit de masa del cuerpo que la produce, por lo tanto daremos la teoría básica.

Basandonos en la figura 22, tenemos:



ahora integrando en todo el plano tenemos:

$$\iiint_{-\infty}^{+\infty} g(x, y) dx dy = \int_0^{2\pi} GM d\theta \quad (5)$$

$$\iiint_{-\infty}^{+\infty} g(x, y) dx dy = 2\pi GM \quad (6)$$

por lo tanto; efecto de Bouguer = $2\pi GM$

efecto de Bouguer = regional + residual

$$2\pi GM = I + R(x, y) \quad (7)$$

donde

$$I = \iint_{x^2+y^2} g(x,y) dx dy \quad (8)$$

$R(x,y)$ término de residuo

si el centro de masa esta en $(\bar{x}, \bar{y}, \bar{z})$

podemos escribir $R(x,y)$ como:

$$R(x,y) = 2\pi GM - GM\bar{z} \iint_{-x-y}^{x+y} [(x-\bar{x})^2 + (y-\bar{y})^2 + (z-\bar{z})^2]^{-\frac{3}{2}} dx dy \quad (9)$$

integrandos tenemos:

$$R(x,y) = 2\pi GM - 4GM \tan^{-1} \left(\frac{xy}{\sqrt{x^2+y^2}} \right) \quad (10)$$

$$r = \sqrt{x^2+y^2}$$

sustituyendo en (10)

$$R(x,y) = 2\pi GM - 4GM \tan^{-1} \left(\frac{xy}{\sqrt{x^2+y^2}} \right) \quad (11)$$

ahora sustituyendo (11) en (7) tenemos:

$$2\pi GM = I + 2\pi GM - 4GM \tan^{-1} \left(\frac{xy}{\sqrt{x^2+y^2}} \right) \quad (12)$$

$$4GM \tan^{-1} \left(\frac{xy}{\sqrt{x^2+y^2}} \right) = I \quad (13)$$

despejando M tendremos:

$$M = \frac{I}{4G \tan^{-1} \left(\frac{xy}{\sqrt{x^2+y^2}} \right)}$$

con lo cual, para calcular M necesitamos conocer \bar{z} (profundidad).

III.10 ESTRATO EQUIVALENTE (fuente equivalente)

En gravimetría es necesario determinar una fuente $\rho(x, y, z)$, que nos produzca el campo observado $\Delta g(x, y, 0)$, (figura 23).

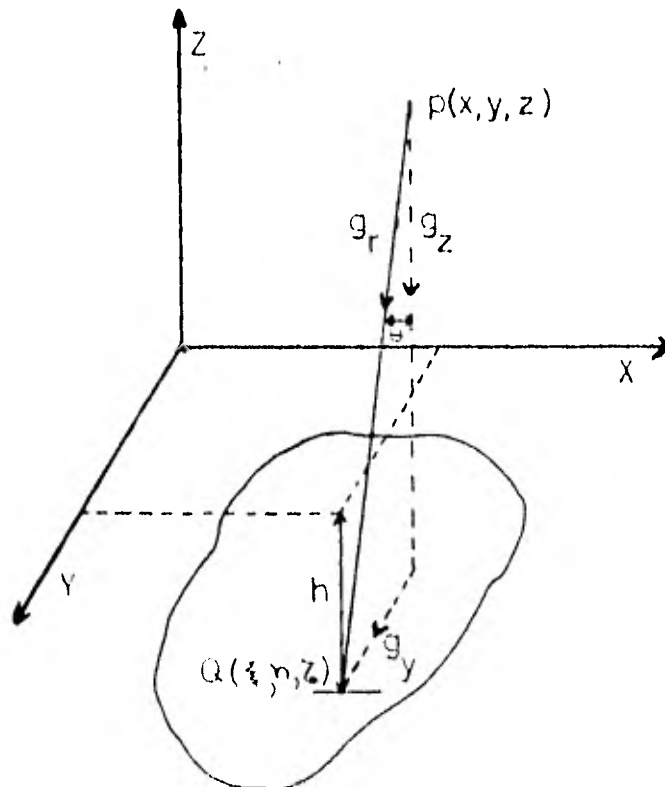


figura 23

Si suponemos que la fuente es un estrato delgado a una profundidad h sobre la superficie y con densidad superficial variable (∇) la forma de la función es :

$$\nabla(x, y, z) = \nabla(x, y) \delta(z+h) - - - - - (1)$$

$$\text{densidad} = \nabla(x, y, z) \quad \rho = \nabla \frac{M}{V} - - - - - (2)$$

$$\nabla(x, y, z) = \frac{M}{V}$$

$$M = V \nabla(x, y, z)$$

sustituyendo 1 en anterior en (2) tenemos:

$$g_i(x, y, z) = \delta \int_{\nu} \frac{\tau(x, y, z)}{r} \cos \theta$$

pero $\cos \theta = \frac{z-h}{r}$

$$g_i(x, y, z) = \delta \int_{\nu} \tau(x, y, z) \frac{(z-h)}{r}$$

$$g_i(x, y, z) = \delta \int_{\nu} \tau(x, y, z) \frac{(z-h)}{r^3} \quad \dots \dots (3)$$

sustituyendo 1 en 3

$$g_i(x, y, z) = \delta \iiint_{-\infty}^{\infty} s(x, y) \delta(z+h)(z-h) d_1 d_n d_s \quad \dots \dots (4)$$

pero $\int_{-\infty}^{\infty} (z-h) \delta(z+h) dz = (z+h) \Big|_{z=h} = (z+h) \quad \dots \dots (5)$

sustituyendo 5 en 4

$$g_i(x, y, z) = \delta \iiint_{-\infty}^{\infty} s(x, y) (z+h) ds dn \quad \dots \dots$$

en la superficie $z=0$

$$g_i(x, y, 0) = \delta \iiint_{-\infty}^{\infty} \frac{s(x, y) h d_1 d_n}{[(x-h)^2 + (y-n)^2 + h^2]^{3/2}} \quad \dots \dots (5)$$

la convolución de esta ecuación

$$s(x, y) \text{ con } \frac{h}{(x+y+h^2)^{3/2}} \text{ nos da:}$$

$$g_i(x, y, 0) = \delta \left[s(x, y) * \frac{h}{(x+y+h^2)^{3/2}} \right] \quad \dots \dots (7)$$

pero de las propiedades de la convolución

$$F[f_1(x) * f_2(x)] = F_1(w) F_2(w)$$

$$G(w_x, w_y, 0) = \delta \left[s(w_x, w_y) F \left[\frac{h}{(w_x^2 + w_y^2 + h^2)^{3/2}} \right] \right]$$

pero

$$F \left[\frac{h}{(w_x^2 + w_y^2 + h^2)^{3/2}} \right] = \iint_{-\infty}^{\infty} \frac{h}{(w_x^2 + w_y^2 + k^2)^{3/2}} e^{-j(k w_x + n w_y)} dx dy = 2 \pi h \int_{-\infty}^{\infty} \frac{dk}{(h^2 + k^2)^{3/2}}$$

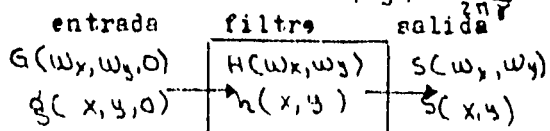
$$= 2 \pi h e^{-jk} \quad \text{dónde } k = (w_x^2 + w_y^2)^{1/2}$$

ahora sustituyendo g en S tenemos:

$$G(w_x, w_y, \sigma) = j S(w_x, w_y) 2\pi e^{-jk} \quad (1)$$

despejando S(w_x, w_y)

$$S(w_x, w_y) = \frac{1}{2\pi j} e^{jk(w_x^2 + w_y^2)/4} G(w_x, w_y, \sigma)$$



$$H(w_x, w_y) = \frac{j}{2\pi\gamma} e^{j(w_x^2 + w_y^2)/4}$$

III.II ATRACCION GRAVITACIONAL DE ESTRUCTURAS DE DOS DIMENSIONES

a).- EL PRINCIPIO DEL METODO

ATRACCION DE LAMINA PLANA

Para entender el principio del método, escogemos un sistema de coordenadas con el plano XZ, como el plano de integración y con el eje Y, horizontal y paralelo a la recta o eje de la configuración de masa.

El eje X será horizontal y el eje Z vertical y positivo hacia abajo, el origen será tomado como el punto en el cual el efecto gravitatorio del cuerpo será calculado.

Esta atracción será detectada por un gravímetro, como un incremento, Δg a la gravedad total g , se considera la componente z de la atracción, tomando como referencia la figura 24

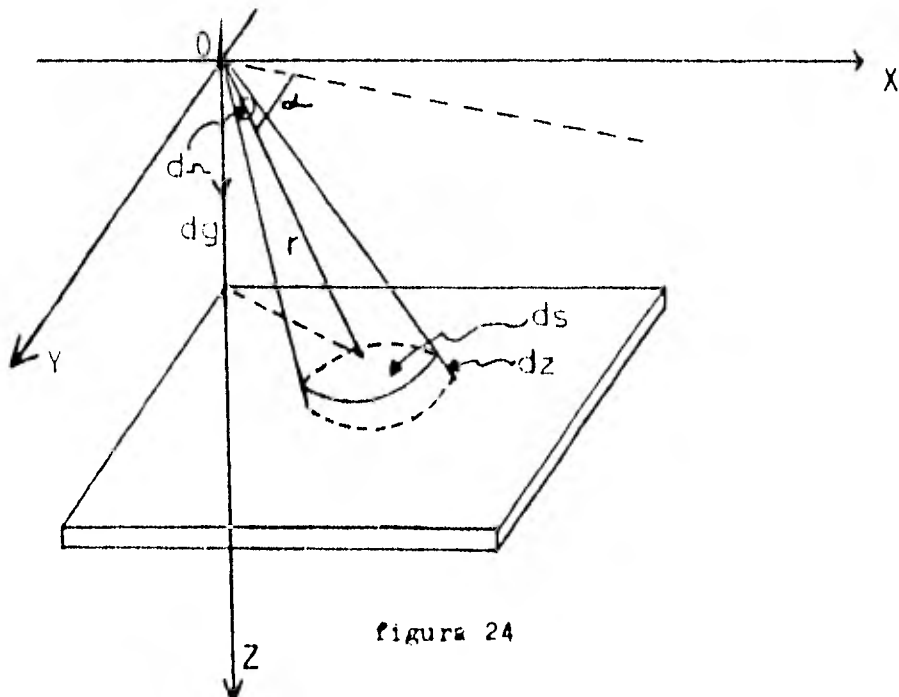


figura 24

Primero consideraremos una lámina plana horizontal infinita limitada por el plano z y $z+dz$.

ds será un elemento de área de este plano en el espacio de tres dimensiones. Y ρ es la densidad del volumen de este elemento, la componente vertical en el origen de la atracción debida a este elemento será:

$$dg = \frac{Kdm}{r^2} \operatorname{sen} \delta = \frac{K\rho dz ds}{r^2} \operatorname{sen} \delta \quad \dots \dots \dots (I)$$

donde K es la constante de gravedad

r =es la distancia polar del elemento desde el origen

δ =el ángulo de depresión de r desde la horizontal de la estación.

$$\text{pero } d\Delta = \frac{ds \operatorname{sen} \delta}{r^2} \text{ es el ángulo sólido,} \dots \dots \dots (L)$$

subtendido en el origen por el área de
sustituyendo en la ecuación (I)

$$dg = K\rho dz d\Delta \quad \dots \dots \dots (3)$$

si nosotras ahora consideraremos una área finita a de forma arbitraria, la atracción en el origen debida debida a la masa cerrada será:

$$g = Kd\Delta \int_0^a \rho dz \quad \dots \dots \dots (4)$$

y si ρ es constante sobre a , este se simplifica a:

$$g = K\rho a d\Delta \quad \dots \dots \dots (5)$$

Para un ángulo sólido Δ , la atracción de la materia cerrada entre dos planos horizontales z_1 y z_2 , será obtenida por integración de la ecuación 5 con respecto a z .

$$g = K \Delta \int_{z_1}^{z_2} \rho dz \quad \dots \dots \dots (6)$$

y de nuevo si ρ es constante esto se convierte

$$g = K\rho \Delta (z_2 - z_1) \quad \dots \dots \dots (7)$$

La cual es la contribución de gravedad en el origen de la masa contenida en el tronco de un cono inclinado con vértice en el origen.

b).- ATRACCION DE PRISMA $d\theta dz$

Consideraremos la atracción en el origen ,el cual resultara si nosotros dejamos el elemento de área superficial de convertida en una linea estrecha de longitud infinita paralela al eje Y. Esta sera definida por el área sobre el planos $z=\text{constante}$ entre dos planos inclinados ,los cuales intersectan sobre el eje Y, hechas con angulos respecto al eje X, θ y $\theta+d\theta$.

Tomando como referencia la figura 25.

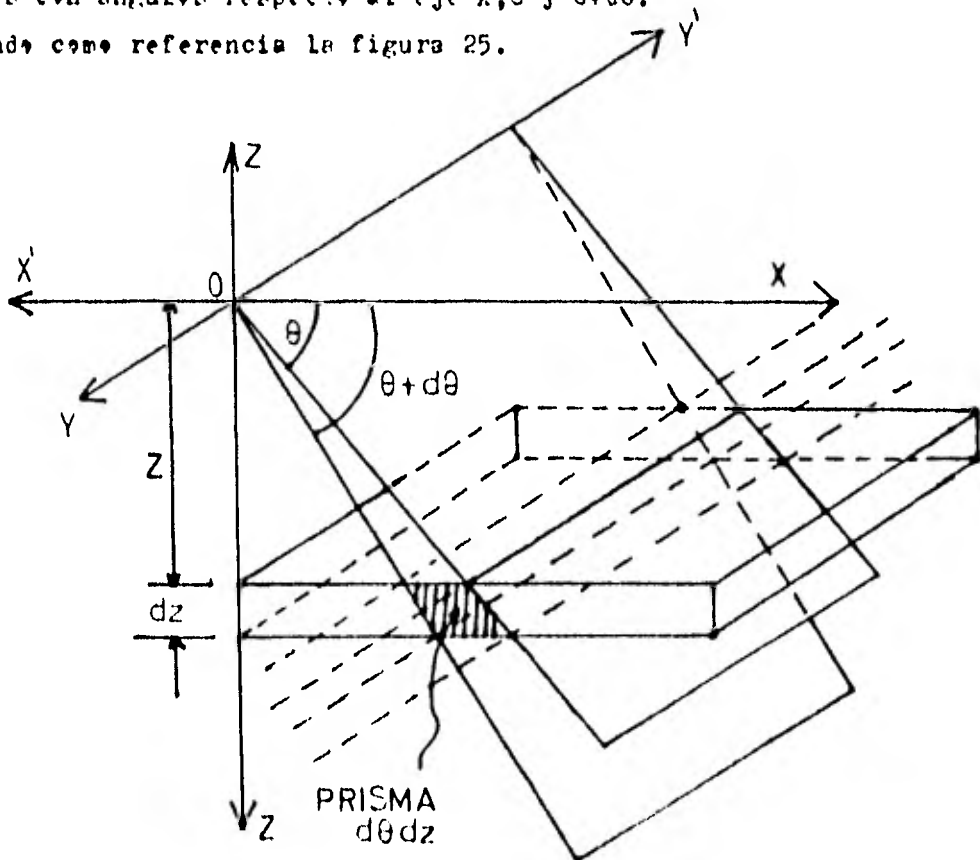


figura 25

El angulo sólido $d\Omega$ entre dos planos interceptados en un angulo $d\theta$ entender el mismo radio.

El angulo sólido total , es el radio del área superficial de una esfera a el cuadrado de su radio, es decir 4π , y el plane angular total es 2π , esto es:

$$\frac{d\Omega}{4\pi} = \frac{d\theta}{2\pi}$$

$$d\Omega = 2d\theta \quad \dots\dots(8)$$

introduciendo esto a la ecuación (3), tenemos:

$$dg = 2K\rho d\theta dz \quad \dots\dots(9)$$

la cual nos trae la consideraremos como la ecuación diferencial fundamental de la atracción de una masa de dos dimensiones.

La intersección de dos planos θ y $\theta+d\theta$ con los planos z y $z+dz$, define un prisma elemental & sencillo de longitud infinita y en términos de las variables θ y z , de sección de área $d\theta dz$, a este nos trae le llamaremos el prisma & sencillo $d\theta dz$.

Para un área finita en el pleno de integración.

$$g = 2K \int_{\theta_1}^{\theta_2} \int_{z_1}^{z_2} \rho d\theta dz \quad \dots\dots(10)$$

Y cuando ρ es constante en el área .

$$g = 2K\rho (\theta_2 - \theta_1)(z_2 - z_1) \quad \dots\dots(11)$$

independientemente de la magnitud absolute de θ & z .

c).- INTEGRACION DE AREA POR MEDIO DE PRISMAS $\Delta\theta\Delta z$

Las ecuaciones 9 y II son una de las bases simples para la computación de los efectos gravimétricos de masas de dos dimensiones, las coordenadas θ y Z son tomadas como las variables de integración y el plano de integración, es dividido por líneas radiales desde el origen $\theta = \text{constante}$, con espaciamiento constante $\Delta\theta$ y por líneas horizontales $Z = \text{constante}$, con espaciamiento constante Δz , dentro de un mosaico de polígonos o prismas $\Delta\theta\Delta z$.

Si los prismas son escogidos bastante pequeños que ρ puede ser considerada constante para cada uno.

Tomando como referencia la figura 26.

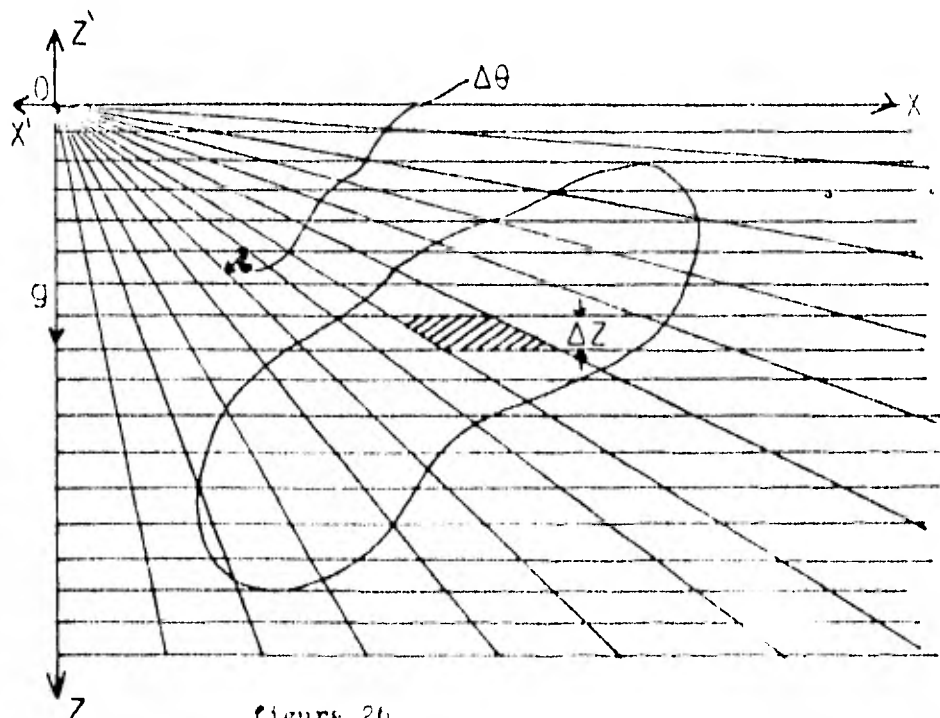


figure 26

La contribución gravimétrica de un único prisma será :

$$g = 2K\rho\Delta\theta\Delta z \quad \dots\dots\dots(I2)$$

y la integración sobre algunas áreas será aproximada por:

$$g = 2K \sum_{i=1}^{i=n} \rho_i \Delta\theta \Delta z \quad \dots\dots\dots(I3)$$

y si ρ es constante sobre el área de integración :

$$g = 2K\rho \sum \Delta\theta \Delta z = 2K\rho n \Delta\theta \Delta z \quad \dots\dots\dots(I4)$$

donde n es el número de prismas que contiene el área.

III.I2 METODO ANALITICO (talwani)

Usando una forma poligonal de n lados que se aproxime a una sección vertical, de un cuerpo de dos dimensiones, uno puede calcular el efecto gravitatorio a mano o por computadora digital.

Tomando en cuenta la figura 27.

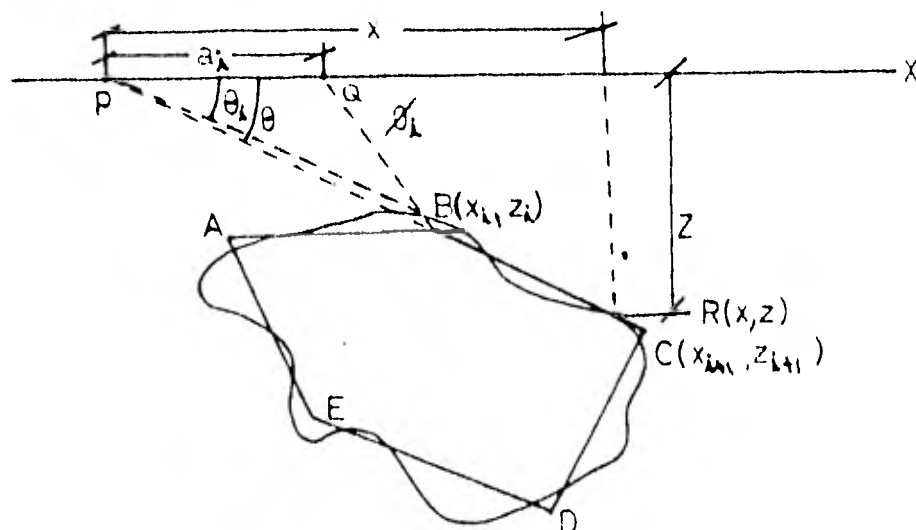


figura 27

Puede ser mostrado que el efecto gravitatorio de esta sección es igual a la integral de líneas alrededor del perímetro, entre relación será:

$$g = 2\gamma \int_0^{\pi} z d\theta$$

de la geometría de la figura 27, tenemos:

$$z = (a_i \tan \theta \tan \phi_i) / (\tan \phi_i - \tan \theta)$$

La integral de líneas para el lado BC ES:

$$\int_{x_i}^{x_{i+1}} z d\theta = \int_0^{\pi} \frac{a_i \tan \theta \tan \phi_i}{\tan \phi_i - \tan \theta} d\theta = Z_i$$

entonces

$$g = 2\gamma \sum_{i=1}^n Z_i$$

Y en el caso más general Z está dado por:

$$Z_i = a_i \sin \phi_i \cos \phi_i \left[(\theta_i - \theta_{i+1}) + \tan \phi_i \log \left(\frac{\cos \theta_i (\tan \theta_i - \tan \phi_i)}{\cos \theta_{i+1} (\tan \theta_{i+1} - \tan \phi_i)} \right) \right]$$

donde :

$$\theta_i = \tan^{-1} \left(\frac{z_i}{x_i} \right)$$

$$\phi_i = \tan^{-1} \left(\frac{z_{i+1} - z_i}{x_{i+1} - x_i} \right)$$

$$a_i = x_{i+1} - z_{i+1} \cot \phi_i$$

$$= x_{i+1} + z_{i+1} \left(\frac{x_{i+1} - x_i}{z_i - z_{i+1}} \right)$$

III.I3 COMPARACION DE PERFILES

En este método se compara el perfil gravimétrico observado en el campo, con perfiles elaborados con formas geométricas que se superponen por otras métodos, son las más parecidas.

En este método se puede variar sistemáticamente la profundidad, densidad, forma del cuerpo, hasta que los perfiles gravimétricos - observado y calculado se ajusten.

En algunas ocasiones se combinan formas para una mayor aproximación.

III.I4 ATRACCION GRAVITACIONAL DE CUERPOS DE TRES DIMENSIONES DE FORMAS ARBITRARIAS

En el presente método el cuerpo es representado por centros, cada centro es reemplazado por una lámina poligonal horizontal de n lados.

Los polígonos pueden ser aproximados a los centros con líneas tan cerradas como deseemos.

La anomalía gravimétrica causada por cada lámina puede ser detectada & determinada analíticamente en algún punto exterior.

En la figura 28 p (origen del sistema), es el punto en el cual la anomalía gravimétrica causada por el cuerpo M será evaluada. UN centro sobre la superficie del cuerpo a la profundidad z, abajo de p, es reemplazada por la lámina poligonal ABCDEFGH de espesor infinitesimal dZ; la atracción gravimétrica causada - por ABCDEFGH en p es entonces:

$$\Delta g = V \cdot dZ$$

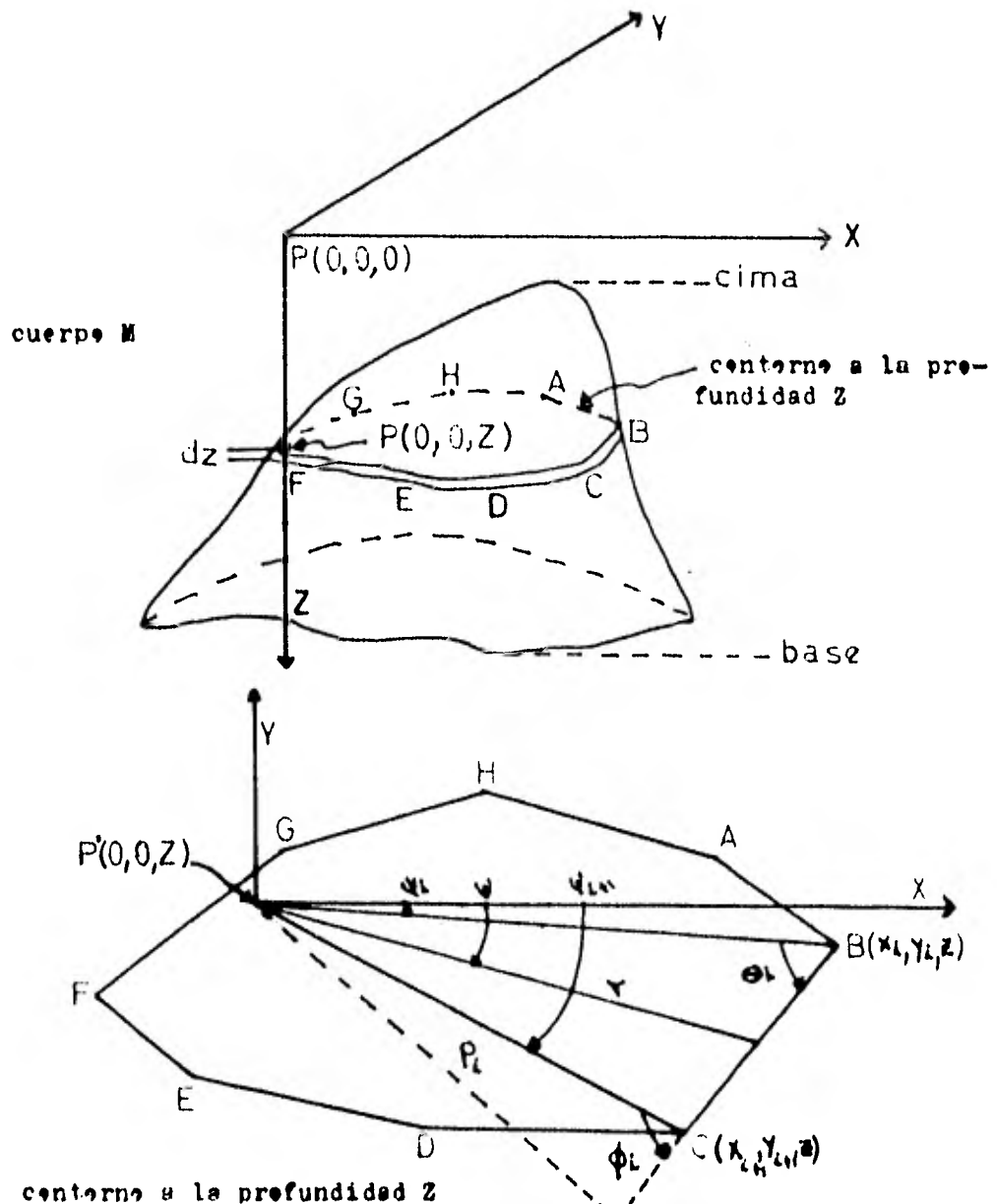


fig 28 elementos geométricos que comprenden la computación en la anomalía gravimétrica causada por un cuerpo de tres dimensiones.

dónde

v = anomalía causada por ABCDEFGH por unidad de espesor.

Si v la expresamos por una integral de superficie.

$$v = K \rho \left[\oint d\psi - \oint z / (r^2 + z^2)^{1/2} d\psi \right]$$

dónde

K = constante universal

ρ = densidad de la lámina

z, ψ, r = son las coordenadas cilíndricas usadas para definir el límite de ABCDEFGH.

De la figura I tenemos que:

$$r = \frac{\rho_i}{\sin(\phi_i - \psi_{i+1} + \psi)}$$

Haciendo esta sustitución y notando que $\rho_i, \phi_i, \psi_{i+1}$ son todas constantes y ψ es la única variable.

la integral puede fácilmente resolverse para el segmento BC

$$\text{arc sen} \left[\frac{z \cos \phi_i}{(\rho_i^2 + z^2)^{1/2}} \right] - \text{arc sen} \left[\frac{z \cos \phi_i}{(\rho_i^2 + z^2)^{1/2}} \right]$$

Entonces la contribución total en U de BC es:

$$K \rho \left[\psi_{i+1} - \psi_i - \text{arc sen} \left(\frac{z \cos \phi_i}{(\rho_i^2 + z^2)^{1/2}} \right) + \text{arc sen} \left(\frac{z \cos \phi_i}{(\rho_i^2 + z^2)^{1/2}} \right) \right] \quad \dots (3)$$

Esta expresión puede identificarse como la anomalía causada por la lámina triangular $\triangle ABC$ por unidad de espesor.

La anomalía causada por el polígono ABCDEFGH por unidad de espesor se obtiene entonces aplicando y sumando la expresión (3) sobre los n lados del polígono.

$$v = K \rho \left\{ \sum_{i=1}^n \left\{ \psi_{i+1} - \psi_i - \text{arc sen} \left(\frac{z \cos \phi_i}{(\rho_i^2 + z^2)^{1/2}} \right) + \text{arc sen} \left(\frac{z \cos \phi_i}{(\rho_i^2 + z^2)^{1/2}} \right) \right\} \right\} \quad \dots (4)$$

expresando $\rho_i, \psi_i, \psi_{i+1}, \cos \theta_i$ y $\cos \phi_i$

en términos de x_i, y_i y x_{i+1}, y_{i+1}, z

las coordenadas de los dos vértices sucesivos del polígono

$$V = K \rho \sum_{i=1}^n [W \operatorname{arc} \cos \left\{ \left(x_i / y_i \right) \left(x_{i+1} / y_{i+1} \right) + \left(y_i / y_i \right) \left(y_{i+1} / y_{i+1} \right) \right\} \\ - \operatorname{arc} \sin \left(\frac{z \rho_i s}{(\rho_i^2 + z^2) y_i} \right) + \operatorname{arc} \sin \left(\frac{z \rho_{i+1} s}{(\rho_{i+1}^2 + z^2) y_{i+1}} \right)] \dots (C)$$

La computadora digital obtiene los valores de V para cada contorno de C .

la ecuación

$$\Delta G_{\text{sextal}} = \begin{cases} V dz & z \text{ (cima del cuerpo)} \\ & z \text{ (base del cuerpo)} \end{cases}$$

nos da la anomalía gravimétrica causada por el cuerpo entero.

La posibilidad que la densidad varíe con la profundidad puede ser solucionado asignando una densidad para cada contorno.

CAPITULO :IV

PAQUETE DE PROGRAMAS PARA PROSPECCION
GRAVIMETRICA

En este capítulo se presentan los programas que son utilizados en las respectivas métodos ,se presenta al principio un diagrama de flujo que nos indica las variables que necesitaremos y lo que obtendremos al final.

Despues de los programas base se presentan listadas de las subroutines utilizadas dentro de los programas fuente.

PREPARACION DE DATOS

La preparación de datos para computadoras ,se hace en igual forma al que se usa para calcular con una máquina de escritorio, es decir, es necesario disponer de valores correspondientes a puntos igualmente espaciados formando renglones y columnas, lo que constituye un arreglo semejante al de una matriz o un determinante. En la práctica, lo común es que sobre la hoja que se desea calcular, se trace una cuadrícula ,cuyos lados serán iguales al espacioamiento que previamente se ha escogido en función del tamaño de las anomalías que se consideran de importancia económica,aunque también debe atenderse la calidad del trabajo & lo que es lo mismo la densidad de estaciones ,ya que si esta baja ,es posible que las anomalías estén deformes & no deban existir,todo esto por falta de control en las líneas de igual anomalía .

Las lecturas de los valores ,se hacen en los puntos que definen los cruces de las líneas verticales y horizontales de la cuadrícula y si se desea procesar el total de la hoja atípicas & un área en particular,será necesario adicionar valores fuera de las líneas marginales de la hoja,& del área, dependiendo el número de columnas y renglones adicionales,del tamaño de la figura que se emplee y llenar con ceros aquellas áreas que carezcan de información , a fin de que el arreglo quede completo.

c nombre del programa: correcciones
c tesis profesional presentada por
c Jiménez Méndez Juan
c EL PERFIL GRAVIMETRICO TIENE LOS SIGUIENTES DATOS
c X()=DISTANCIA QUE HAY ENTRE LA ESTACION UNO
c Y LAS DEMAS ESTACIONES (EN KM.)
c H()=ALTURA DE LAS ESTACIONES MEDIDAS A PARTIR
c DEL NIVEL DEL MAR (M.)
c DELTG()=DIFERENCIA DE GRAVEDAD EN EL PUNTO DE OBSERVACION(MGALS)
c DELTX()=DISTANCIA QUE HAY DE LA ESTACION BASE(5)
c A CADA UNA DE LAS ESTACIONES
c DELTH()=ALTURA QUE HAY DE LA ESTACION BASE A CADA
c UNA DE LAS ESTACIONES
c LA ESTACION QUE SE TOMARA COMO BASE SERA LA CINCO
c DLTG()=CORRECCION POR LATITUD
c DHG()=CORRECCION POR AIRE LIBRE
c CTRR()=CORRECCION POR TERRENO
c ANLL()=ANOMALIA DE LATITUD
c ANLA()=ANOMALIA DE AIRE LIBRE
c ANLT()=ANOMALIA POR TERRENO
c ANB()=ANOMALIA DE BOUGUER SIN CORRECCION POR TERRENO
c DHB()=CORRECCION DE BOUGUER
c DIMENSION DHB(10), ANB(10), ANLT(10)
c DIMENSION CTRR(10)
c DIMENSION ANLT(10)
c DIMENSION X(10), H(10), DELTG(10), DELTX(10), DELTH(10)
c DIMENSION DLTG(10), DHG(10), ANLL(10), ANLA(10)
c LECTURA DE DATOS
c READ(5,31)(X(I), I=1,10)
31 FORMAT(10F4.2)
c READ(5,33)(H(J), J=1,10)
33 FORMAT(10F5,I)
c READ(5,35)(DELTG(K), K=1,10)
35 FORMAT(10F6.2)
c READ(5,37)(DELTX(L), L=1,10)
37 FORMAT(10F5.2)
c READ(5,39)(DELTH(M), M=1,10)
39 FORMAT(10F5.1)
c WRITE(6,40)
40 FORMAT(2X,"DISTANCIA ENTRE LA ESTACION UNO Y LAS DEMAS")
c DO 41 I=1,10
c WRITE(6,42)X(I)
42 FORMAT(2X,F4.7,/)
41 CONTINUE
c WRITE(6,43)
43 FORMAT(2X,"ALTURA DE LAS ESTACIONES")

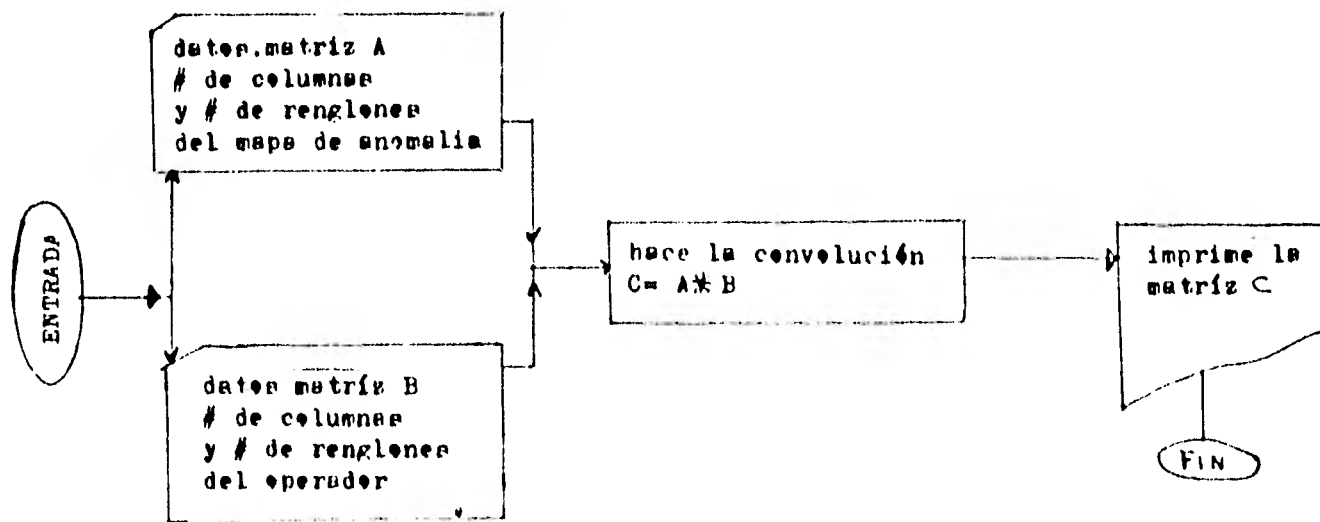
```
DO 44 J=I,IO
  WRITE(6,45)H(J)
45 FORMAT(2X,F5.I,/)
44 CONTINUE
  WRITE(6,46)
46 FORMAT(2X,"DIFERENCIA DE GRAVEDAD EN CADA ESTACION")
  DO 47 K=I,IO
    WRITE(6,48)DELTG(K)
48 FORMAT(2X,F6.2,/)
47 CONTINUE
  WRITE(6,49)
49 FORMAT(2X,"DISTANCIA DE LA ESTACION BASE A LAS ESTACIONES")
  DO 50 L=I,IO
    WRITE(6,51) DELTX(L)
51 FORMAT(2X,F4.2,/)
50 CONTINUE
  WRITE(6,52)
52 FORMAT(2X,"ALTURA DE LA ESTACION BASE A LAS ESTACIONES")
  DO 53 M=I,IO
    WRITE(6,54)DELTW(M)
54 FORMAT(2X,F5.I,/)
53 CONTINUE
  EL PERFILE PASA DE NORTE A SUR LATITUD 40 GRADOS 30" NORTE
  CALCULO DE LA CORRECCION POR LATITUD
  WRITE(6,55)
55 FORMAT(2X,"CORRECCION POR LATITUD")
  DO 56 I=I,IO
    DLTG(I)=0.8192*0.98768*DELTX(I)
    WRITE(6,57) DLTG(I)
57 FORMAT(2X,F7.3,/)
56 CONTINUE
  CALCULO DE LA CORRECCION POR AIRE LIBRE
  WRITE(6,58)
58 FORMAT(2X,"CORRECCION POR AIRE LIBRE")
  DO 59 J=I,IO
    DHG(J)=0.3086*DELTH(J)
    WRITE(6,60) DHG(J)
60 FORMAT(2X,F7.3,/)
59 CONTINUE
  LECTURA DE LA CORRECCION POR TERRENO
  READ(5,82)(CTRR(N),N=I,IO)
82 FORMAT(10F4.2)
  WRITE(6,83)
83 FORMAT(2X,"CORRECCION POR TERRENO")
  DO 84 N=I,IO
    WRITE(6,84) CTRR(N)
84 FORMAT(2X,F4.2)
86 CONTINUE
  CALCULO DE LA CORRECCION EN BOUGUER
```

```

      WRITE(6,90)
90 FORMAT(2X,"CORRECCION DE BOUGUER")
      DO 91 K=1,IO
      DHB(K)=0.04193*2.4*DELTH(K)
      WRITE(6,92) DHB(K)
92 FORMAT(2X,F6.3,//)
91 CONTINUE
      WRITE(6,62)
62 FORMAT(2X,"GRAFICA DEL PERFILE TOPOGRAFICO")
      CALL GRAFI(H,IO,2,2)
      WRITE(6,63)
63 FORMAT(2X,"GRAFICA DE LA DIFERENCIA DE GRAVEDAD EN CADA ESTACION")
      CALL GRAFI (DELTG,IO,2,2)
c      CALCULO DE LA ANOMALIA DE LATITUD
      WRITE(6,80)
80 FORMAT(2X,"ANOMALIA DE LATITUD")
      DO 65 K=1,IO
      ANLL(K)=DLTG(K)+DLTG(K)
      WRITE(6,66)ANLL(K)
66 FORMAT(2X,F8.2,//)
65 CONTINUE
      WRITE(6,67)
67 FORMAT(2X,"GRAFICA DE LA ANOMALIA DE LATITUD")
      CALL GRAFI (ANLL,IO,2,2)
c      CALCULO DE LA ANOMALIA DE AIRE LIBRE
      WRITE(6,81)
81 FORMAT(2X,"ANOMALIA DE AIRE LIBRE")
      DO 69 L=1,IO
      ANLA(L)=DELTG(L)+DHG(L)
      WRITE(6,70)ANLA(L)
70 FORMAT(2X,F8.2,//)
69 CONTINUE
      WRITE(6,72)
72 FORMAT(2X,"GRAFICA DE LA ANOMALIA DE AIRE LIBRE")
      CALL GRAFI(ANLA,IO,2,2)
c      CALCULO DE LA ANOMALIA POR TERRENO
      WRITE(6,85)
85 FORMAT(2X,"ANOMALIA POR TERRENO")
      DO 87 I=1,IO
      ANLT(I)=BELTG(I)+CTRR(I)
      WRITE(6,88) ANLT(I)
88 FORMAT(2X,F8.3,//)
87 CONTINUE
      WRITE(6,89)
89 FORMAT(2X,"GRAFICA DE LA ANOMALIA POR TERRENO")
      CALL GRAFI(ANLT,IO,2,2)
c      CALCULO DE LA ANOMALIA DE BOUGUER
c      SIN LA CORRECCION POR TERRENO
      WRITE(6,93)

```

DIAGRAMA DE FLUJO PROGRAMA CONVOLUCION 2

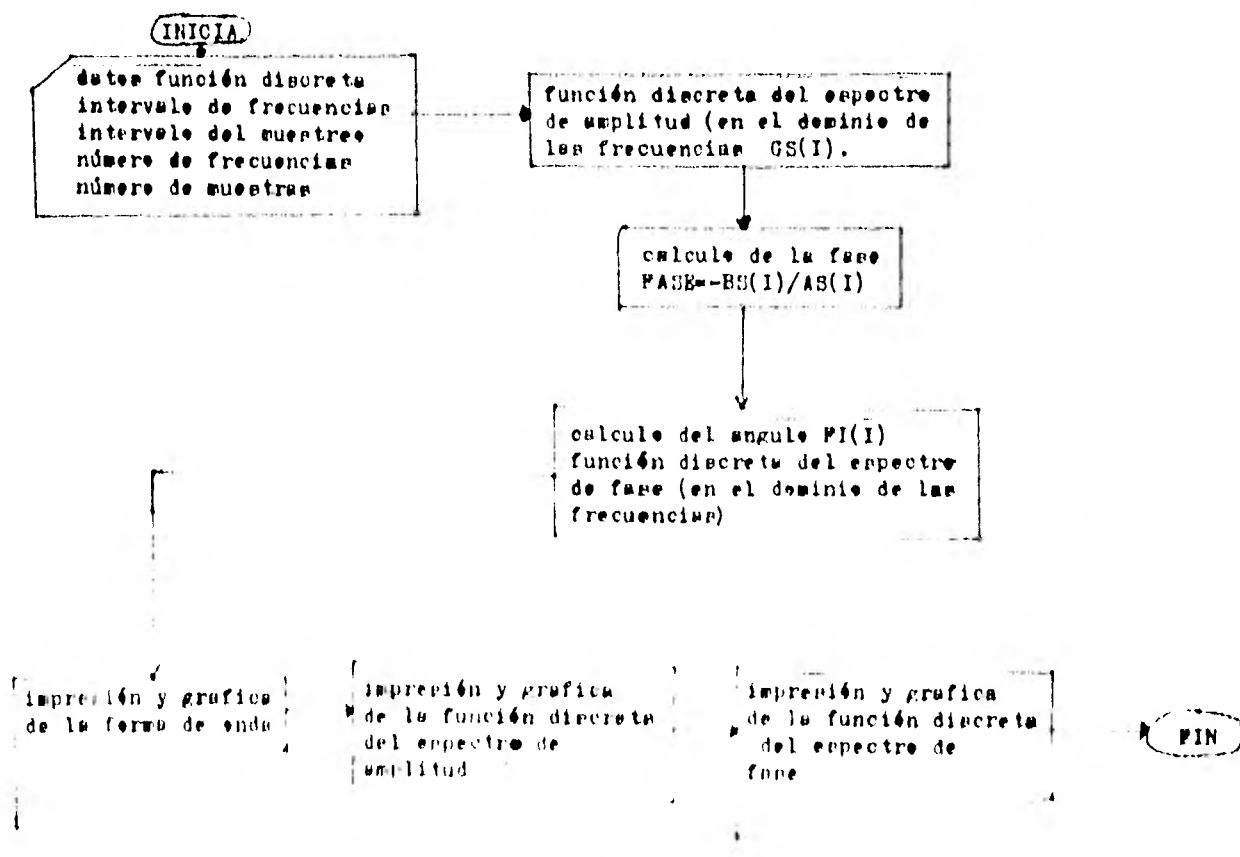


nombre del programa: conv2
tesis profesional presentada por
Jiménez Méndez Juan

b2

C* SUBRUTINAS DESEARROLLO
C* PRINTN
C* PROGRAMA PARA CALCULAR LA CONVOLUCION EN DOS DIMENSIONES.
C* DESCRIPCION DE VARIABLES
C*
C* NKA=NUMERO DE REGLONES DE LA RETEJULA A CONVOLUCIONAR
C* NCA=NUMERO DE COLUMNAS DE LA RETEJULA A CONVOLUCIONAR
C* NRB=NUMERO DE REGLONES DEL OPERADOR
C* NRC=NUMERO DE COLUMNAS DEL OPERADOR
C*
C*
C* DIMENSION A(100,100),B(100,100),C(100,100)
WRITE(6,7)
7 FORMAT(2X,"NAME IRA NKA NRB NRC")
READ(5,1)NRA,NCA,NRB,NRC
1 FORMAT(4I2)
WRITE(6,8)
8 FORMAT(2X,"NAME A(I,J)")
DO 2 I=1,NRA
READ(5,2)(A(I,J),J=1,NCA)
2 FORMAT(3E4.0)
2 CONTINUE
WRITE(6,9)
9 FORMAT(2X,"NAME B(I,J)")
DO 4 I=1,NRB
READ(5,10)(B(I,J),J=1,NCA)
10 FORMAT(3E8.6)
4 CONTINUE
NHC=NRA+NRB-1
NUC=NCA+NCA-1
DO 12 J=1,NRC
DO 13 I=1,NCC
C(I,J)=0.0
12 CONTINUE
C* HACE LA CONVOLUCION
DO 13 I=1,NRC
DO 14 K=1,NNC
13=14K-1
DO 15 J=1,NCA
DO 16 I=1,NCB
15=14J-1
C(I,J)=C(I,J)+C(I,J)*B(I,J)
16 CONTINUE
17 PRINTN(CC+1,I+1,J+1,100)
17 END
18 DO 19 I=1,NRC
19 DO 20 K=1,NNC
19=14I-1
DO 21 J=1,NCA
DO 22 I=1,NCB
21=14J-1
C(I,J)=C(I,J)+C(I,J)*B(I,J)
22 CONTINUE
23 PRINTN(CC+1,I+1,J+1,100)
23 END
24 DO 25 I=1,NRC
25 DO 26 K=1,NNC
25=14I-1
DO 27 J=1,NCA
DO 28 I=1,NCB
27=14J-1
C(I,J)=C(I,J)+C(I,J)*B(I,J)
28 CONTINUE
29 PRINTN(CC+1,I+1,J+1,100)

DIAGRAMA DE FLUJO PROGRAMA FOURIER
TRANSFORMADA DE FOURIER EN UNA DIMENSION



nombre del programa:fourier
 tesis profesional presentada por
 Jiménez Méndez Juan

 C* CALCULO Y GRAFICAS DE LOS ESPECTROS DE AMPLITUD
 C* Y FASE DE UNA FUNCION O SENAL (U ONDA) DISCRETA
 C* G(I)
 C* AS(J) Y BS(J) PARTE REAL E IMAGINARIA DE LA TRANSFORMADA
 C* DE LA FUNCION G(I)
 C*
 C* G(I)=FUNCION O SENAL (U ONDA) DISCRETA , EN EL DOMINIO
 C* DEL TIEMPO O EN EL DOMINIO DEL ESPACIO
 C* GS(J)=FUNCION DISCRETA DEL ESPECTRO DE AMPLITUD(EN EL
 C* DOMINIO DE LAS FRECUENCIAS)
 C* FI(J)=FUNCION DISCRETA DEL ESPECTRO DE FASE (EN EL
 C* DOMINIO DE LAS FRECUENCIAS)
 C* NN(I)=NUMERO DE ORDEN DE LA MUESTRA
 C* MM(J)=NUMERO DE ORDEN DE LA FRECUENCIA
 C*
 C* -----
 C* DATOS
 C* N=NUMERO DE MUESTRAS
 C* M=NUMERO DE FRECUENCIAS
 E,
 C* AT=INTERVALO DEL MUESTREO
 C* AF=INTERVALO DE FRECUENCIAS
 C* G(I)=FUNCION DISCRETA
 C*
 C* -----
 C* DIMENSION T(300),G(300),AS(300),BS(300)
 C* DIMENSION GS(300),MM(300),NN(300),FI(300)
 C* DIMENSION H(300),F(300)
 C*
 C* LECTURA DE DATOS
 WRITE(6,31)
 31 FORMAT(2X,'DAME N M AT AF')
 READ(5,30) N,M,AT,AF
 30 FORMAT(2I3,2F5.3)
 WRITE(6,32)
 32 FORMAT(2X,'DAME G(I)')
 READ(5,40)(G(I),I=1,N)
 40 FORMAT(10F5.0)
 DO 20 J=1,M
 SUM1=0.0
 E,
 SUM2=0.0
 MM(J)=J-1
 EME=MM(J)
 F(J)=AF*MM(J)
 DO 10 I=1,N
 NN(I)=I-1
 ENE=NN(I)
 T(I)=AT*NN(I)
 X=6.2832*EME*AF*ENE*AT
 SUM1=SUM1+F(I)*COS(X)
 SUM2=SUM2+F(I)*SIN(X)
 10 CONTINUE
 AS(J)=SUM1

```

BS(J)=SUM2
GS(J)=SQRT(AS(J)**2+DS(J)**2)
IF(AS(J),EQ.0) GO TO 6
C*
C* CALCULO DE LA FASE
FASE=-BS(J)/AS(J)
C*
.
C* CALCULO DEL ANGULO
C*
GO TO 13
6 IF(BS(J)) 7,8,9
13 FI(J)=ATAN(FASE)
GO TO 20
7 FI(J)=4.7123889
GO TO 20
8 FI(J)=0.
GO TO 20
9 FI(J)=1.5707963
20 CONTINUE
WRITE(6,70)
70 FORMAT(1H1,///,10X,"FUNCION DISCRETA DE LA FORMA DE ONDA",///)
WRITE(6,50)(T(I),G(I),NN(I),I=1,N)
50 FORMAT(10X,"G('',F5.3,'')='',F10.4,5X,"N= ',I3)
WRITE(6,90)
90 FORMAT(1H1,///,10X,"GRAFICA DE LA FORMA DE ONDA",///)
C*
C* LLAMAMOS A LA SUBRUTINA GRAFI
CALL GRAFI(G,N,2)
WRITE(6,00)
80 FORMAT(1H1,///,10X,"FUNCION DISCRETA DEL ESPECTRO,
*DE AMPLITUD",///)
WRITE(6,60)(F(J),GS(J),MM(J),J=1,M)
60 FORMAT(      ,/,10X,"GS('',F6.2,'')='',F10.4,5X,"N= ',I3)
WRITE(6,100)
100 FORMAT(1H1,///,10X,"GRAFICA DEL ESPECTRO DE ,
* AMPLITUD",///)
CALL GRAFI(GS,M,2)
WRITE(6,120)
120 FORMAT(1H1,///,10X,"FUNCION DISCRETA DEL ,
* ESPECTRO DE FASE",///)
WRITE(6,130)(MM(J),FI(J),J=1,M)
130 FORMAT(10X,"FI('',I3,'')='',F10.4)
WRITE(6,110)
110 FORMAT(1H1,///,10X,"GRAFICA DEL ESPECTRO DE FASE",///)
CALL GRAFI(FI,M,2)
CALL EXIT
END

SUBROUTINE GRAFI(X,N,ITIPO)
C* SUBRUTINA PARA GRAFICAR POR IMPRESORA ARREGLOS
C* UNIDIMENSIONALES
C* X=ARREGLO QUE SERA GRAFICADO
C* N=NUMERO DE ELEMENTOS DEL ARREGLO

```

```

C*      SI ITIPO=1;LOS DATOS PARA GRAFICAR TIENEN EL RANGO(-1,1)
C*      SI ITIPO=2;LOS DATOS TIENEN CUALQUIER RANGO
C*-----
DIMENSION X(1),ISAL(61),XX(13)
DATA II,IAST,IBLNO/'I','*',' '
IF(ITIPO-1)11,10,11
10 XMIN=-1.0
XMAX=1.0
GO TO 13
11 XMIN=X(1)
XMAX=XMIN
DO 12 I=1,N
IF(X(I)-XMIN) 101,101,102
101 XMIN=X(I)
102 IF(X(I)-XMAX) 12,12,103

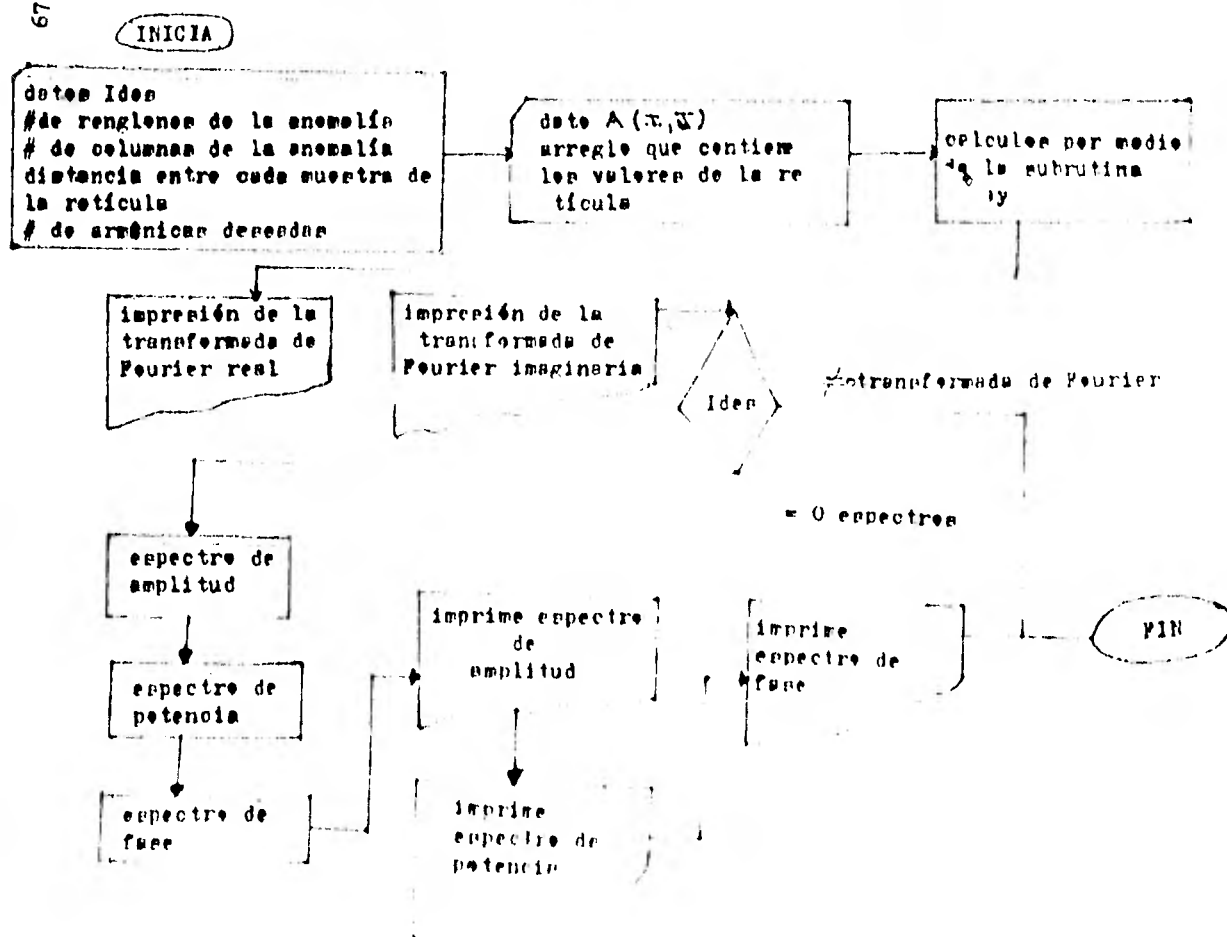
103 XMAX=X(I)
12 CONTINUE
IF(ITIPO-3) 13,104,13
104 XMIN=2.3059* ALOG(XMIN)
XMAX=2.3059* ALOG(XMAX)
13 DX=XMAX-XMIN
XXX=XMIN
DO 14 I=1,13
XX(I)=XXX
IF(ITIPO-3).106,105,106
105 XX(I)=10.0***XXX
106 XXX=XXX+DX/12.0
14 CONTINUE
WRITE(6,16) (XX(I),I=2,12,2)
16 FORMAT(36X,6F10.4)
WRITE(6,17) (XX(I),I=1,13,2)
17 FORMAT(31X,7F10.4)
WRITE(6,18)
18 FORMAT(38X,'+',I2 ('-----+'))
DO 22 I=1,N

DO 19 J=1,61
ISAL(J)=IBLNO
19 CONTINUE
DO 20 J=1,61,10
ISAL(J)=II
20 CONTINUE
XXX=X(1)
IF(ITIPO 3) 111,110,111
110 XXX=2.3059* ALOG(XX..)
111 IX=IFIX((XXX-XMIN)*60.0/DX)+1.0
ISAL(IX)=IAST
WRITE(6,21) X(I),ISAL
21 FORMAT(26X,F10.4,61A1)
22 CONTINUE
WRITE(6,18)
WRITE(6,17) (XX(I),I=1,13,2)
WRITE(6,16) (XX(I),I=2,12,2)
RETURN
END

```

DIAGRAMA DE FLUJO PROGRAMA DOBLE/FOURIER

67



nombre del programa:doble/fourier
 tesis profesional presentada por
 Jiménez Méndez Juan
 C* SUBRUTINAS NECESARIAS
 C* PRINTM
 C* ARRAY
 C* PROGRAMA PARA CALCULAR LA DOBLE TRANSFORMADA
 C* DE FOURIER
 C* FORMA DE USAR EL PROGRAMA
 C* DESCRIPCION DE LAS VARIABLES
 C* NR=NUMERO DE REngLONES DE LA RETICULA DE ANOMALIA
 C* NC=NUMERO DE COLUMNAS DE LA RETICULA DE ANOMALIA
 C* INT=DISTANCIA ENTRE CADA MUESTRA DE LA RETICULA
 C* NHAR=NUMERO DE ARMONICAS DESEADAS
 C* SI IDES=0 , QUEREMOS LOS ESPECTROS
 C* SI IDES ES DIFERENTE DE 0 , CALCULA
 C* UNICAMENTE LA TRANSFORMADA DE FOURIER
 E.
 C* DE LA RETICULA
 C* A(I,J)=ES EL ARREGLO QUE CONTIENE
 C* LOS VALORES DE LA RETICULA
 C*
 C*
 DIMENSION TFR(100,100),A(100,100),DX(100,100)
 DIMENSION DY(100,100),TFI(100,100),EP(100,100)
 DIMENSION EA(100,100),EF(100,100)
 WRITE(6,20)
 20 FORMAT(2X,'DAME NR NC INT NHAR IDES')
 READ(5,1) NR,NC,INT,NHAR,IDES
 1 FORMAT(5I5)
 WRITE(6,21)
 21 FORMAT(2X,'DAME A(I,J)')
 DO 2 I=1,NR
 READ(5,3)(A(I,J),J=1,NC)
 3 FORMAT(3FB,6)
 2 CONTINUE
 CALL ARRAY(DX,DY,NR,NC,INT,100,100)
 DO 4 I=1,NHAR
 E.
 DO 4 J=1,NR
 DO 4 K=1,NC
 TFR(J,K)=TFR(J,K)+A(J,K)*COS(FLOAT(I)*DX(J,K))
 **COS(FLOAT(I)*DY(J,K))
 TFI(J,K)=TFI(J,K)+A(J,K)*SIN(FLOAT(I)*DX(J,K))
 **SIN(FLOAT(I)*DY(J,K))
 4 CONTINUE
 DO 5 I=1,NR
 DO 5 J=1,NC
 TFI(I,J)=-TFI(I,J)
 5 CONTINUE
 WRITE(6,11)
 11 FORMAT(2X,'TRANSFORMADA DE FOURIER REAL',///)
 CALL PRINTM(TFR,NR,NC,100,100)

```

      WRITE(6,12)
12 FORMAT(2X,'TRANSFORMADA DE FOURIER IMAGINARIA',//)
      CALL PRINTM(TFI,NR,NC,100,100)
      IF(IDES)9,10,9
10 DO 6 I=1,NR
      DO 6 J=1,NC
E.
      EA(I,J)=SQRT(TFR(I,J)**2.+TFI(I,J)**2.)
      EP(I,J)=EA(I,J)**2.
      IF(TFR(I,J)>0)7,8,7
7  EF(I,J)=ATAN(-TFI(I,J)/TFR(I,J));GO TO 6
8  EF(I,J)=1.57079634
6  CONTINUE
      WRITE(6,13)
13 FORMAT(2X,'ESPECTRO DE AMPLITUD',//)
      CALL PRINTM(EA,NR,NC,100,100)
      WRITE(6,14)
14 FORMAT(2X,'ESPECTRO DE POTENCIA',//)
      CALL PRINTM(EP,NR,NC,100,100)
      WRITE(6,15)
15 FORMAT(2X,'ESPECTRO DE FASE',//)
      CALL PRINTM(EF,NR,NC,100,100)
9  CALL EXIT
END
      SUBROUTINE ARRAY(DX,DY,NY,NX,II,L1,M1)
      DIMENSION DX(L1,M1),DY(L1,M1)
      FF=FLOAT(II)
C.
      DO 1 I=1,NY
      DO 1 J=1,NX
      DX(I,J)=(J-1.)*FF;DY(I,J)=(I-1.)*FF
1  CONTINUE
      RETURN
END
C*
C*
C*
C*
C*
C*
      SUBROUTINE PRINTM(A,N,IM,N1,M1)
      DIMENSION A(N1,M1)
2  WRITE(6,2000)(I,I=1,IM)
      DO 101 J=1,N
      WRITE(6,2001)(J,(A(J,K),K=1,IM))
101 CONTINUE
2000 FORMAT(1H0,2X,5(9X,12))
2001 FORMAT(1H0,I2,5(2X,F9.3))
E.
      RETURN
END

```



```

    ROOT(I)=SQRT((XIZQ1(I))**2+T)
    AP(I)=((CON*PROF)/((ROOT(I))**3))*(100.0)
    IF (IUGMO-2)7,8,6
7 AP(I)=AP(I)*(10000.0)
    GO TO 6
8 AP(I)=AP(I)*(1000.0)
6 CONTINUE .
    WRITE(6,44)
44 FORMAT(//,5X,"VALORES DE LA ATRACCION EN EL PERFILE",//,
*10X,"DEBIDA A UNA ESFERA ENTERRADA",//)
    DO 17 I=1,NPUNT
    WRITE(6,18)I,AP(I)
18 FORMAT(///,20X,"AP(",I2,")= ",1PE16.6)
17 CONTINUE
    WRITE(6,9)
9 FORMAT(///,2X,"GRAFICA DEL PERFILE DEBIDA A UNA ESFERA",//)
    CALL PLOT(AP,NPUNT,2)
    GO TO 100
4 WRITE(6,38)
38 FORMAT("DAME NPY NPY YPART XPART DELTX DELTY PROF")
    READ(5,10) NPY,NPY,YPART,XPART,DELTX,DELTY,PROF
10 FORMAT(2I2,F4.2)
    WRITE(6,20) NPY,NPY,YPART,XPART,DELTX,DELTY,PROF
20 FORMAT(20X,"NPY=",I2,2X,"NPY=",I2,2X,"YPART=",F4.1,
* "XPART=",F10.2,CX,"DELTX=",F4.1,"DELTY=",F4.1,"PROF=",F6.1)
    DO 21 J=1,NPY
    DO 21 J=1,NPY
    DX(I,J)=XPART+(J-1,0)*DELTX
    DY(I,J)=YPART+(I-1,0)*DELTY
21 CONTINUE
    T=PROF*I4
    DO 12 I=1,NPY
    DO 11 J=1,NPY
    AR(I,J)=((CON*PROF)/(SQRT(DX(I,J)**2+DY(I,J)**2+T)**3))*(
*100.0)
    GO TO (17,14,11),IUGMO
13 AR(I,J)=AR(I,J)*(10000.0)
    GO TO 11
14 AR(I,J)=AR(I,J)*(1000.0)
11 CONTINUE
12 CONTINUE
    WRITE(6,16)
16 FORMAT(///,2X,"VALORES DE LA ATRACCION DEBIDA A UNA ESFERA",//,
*15X,"ENTERRADA",//)
    CALL PRINTM(AR,NPY,NPY,100,100)
100 CONTINUE
    CALL EXIT
    END
    SUBROUTINE PLOT(Y,N,ITipo)
* SUBRUTINA PARA DIBUJAR LOS VALORES DE LA ATRACCION EN UNA DIMENSIONAL
* XES EL ARREGLO QUE TIENEN LA GRAFICA
* SI ITIPO=1 LOS DATOS TIENEN EN RANGO DE 1,1,1
* SI ITIPO=2 LOS DATOS TIENEN EN RANGO DE 1,1,1
* SI ITIPO=3 SE DIBUJA EN LOGARITMICO EL RANGO
* DIBUJANDO X(I),I=0,I(N),XX(I)
* DATA 11,100,10000,1000,100,10,11
* ITIPO=1,0,11,10,11
10 XMIN=1.0
    XMAX=1.0
    GO TO 12

```

```

C* DETERMINAR EL MAXIMO Y EL MINIMO DE UN ARREGLO CUALQUIERA
11 XMIN=X(1)
  XMAX=XMIN
  DO 12 I=1,N
    IF(X(I)-XMIN)101,101,102
101 XMIN=X(I)
102 IF(X(I)-XMAX)12,12,103
103 XMAX=X(I)
12 CONTINUE
  IF(ITIPO-3)13,104,102
104 XMIN=2.3059*ALOG(XMIN)
  XMAX=2.3059*ALOG(XMAX)
13 DX=XMAX-XMIN
  XXX=XMIN
  DO 14 I=1,10
    XX(I)=XXX
    IF(ITIPO-5)105,105,106
105 XX(I)=10.0#-XXX
106 XXX=XXX+DX/12.0
14 CONTINUE
  WRITE(6,16) (XX(I),I=0,12-0)
16 FORMAT(36X,AF10.4)
  WRITE(6,17) (Y(I),I=1,17-2)
17 FORMAT(21X,7F10.4)
  WRITE(6,18)*
18 FORMAT(36X," ",12("-----"))
  DO 19 I=1,N
  DO 19 J=1,61
    ISAL(IJ)=IBLINE
19 CONTINUE
  XXX=X(1)
  IF(ITIPO-2)111,110,111
110 XXX=2.3059*ALOG(XXX)
111 IX=IFIX((XXX-XMIN)*50.0/DX)+1.0
  ISAL(IX)=1AFT
  WRITE(6,112) (IJ,ISAL)
112 FORMAT(10X,1F5.0,10,7X,1A51)
22 CONTINUE
  WRITE(6,190)
  RETURN
END
SUBROUTINE RECHIDMA(N,IMIN,IMAX)
  DIMENSION X(N),Y(N)
2  WRITE(6,200) (I,I=1,N)
  DO 101 I=1,N
    WRITE(6,210) (X(I),Y(I),I=1,N)
101 CONTINUE
2000 FORMAT(10D-7,10D-7,10D-7)
2001 FORMATT(10D-7,10D-7,10D-7)
  RETURN
END

```

```

FILE 6(KIND=REMOTE,MAXRECSIZE=22)
C*
C*
C*      nombre del programa:escipla
C*      tesis profesional presentada por
C*      Jiménez Méndez Juan
C*      SUDRUTINAS NECESARIAS
C*      PRINTM PLOT
C*
-----+
C*      PROGRAMA PARA CONSTRUIR UN PERFIL DE ANOMALIA O UNA
C*      RETICULA IGUALMENTE ESPACIADA
C*      DEBIDO AL EFECTO GRAVITATORIO DE:
C*      UNA ESFERA ENTERRADA
C*      UN CILINDRO ENTERRADO HORIZONTALMENTE
C*      UNA PLACA O FALLA VERTICAL
C*
-----+
C*      DESCRIPCION DE LAS VARIABLES
C*      ITIPO1=NOS IMPLICA SI CALCULAREMOS
C*      UN PERFIL O UNA ANOMALIA
E.
C*      SI ITIPO1=1 CALCULAREMOS UN PERFIL
C*      SI ITIPO1=2 CALCULAREMOS UN MAPA
C*      IUGMG=NOS IMPLICA EL TIPO DE UNIDADES
C*      SI IUGMG=1 EL RESULTADO ESTARA DADO EN U.G.
C*      SI IUGMG=2 EL RESULTADO ESTARA DADO EN MILIGALS
C*      SI IUGMG=3 EL RESULTADO ESTARA DADO EN GALS
C*      ICUER=NOS IMPLICA EL CALCULO DEBIDO A UN CIERTO CUERPO
C*      SI ICUER=1 CALCULAMOS EL EFECTO DEBIDO A UNA ESFERA
C*      SI ICUER=2 CALCULAMOS EL EFECTO DEBIDO A UN CILINDRO HORIZ.
C*      SI ICUER=3 CALCULAMOS EL EFECTO DEBIDO A UNA PLACA
C*      RADIO=RADIO DEL CUERPO CONSIDERADO (METROS)
C*      DENS= DENSIDAD DEL CUERPO (GRS/CM**3)
C*      PROF=PROFUNDIDAD DE LA SUPERFICIE AL CENTRO DEL CUERPO
C*      ESP=ESPESOR DE LA PLACA (METROS)
C*
-----+
C*      CASO PERFIL
C*
C*      XIZO=ABSCISA DONDE SE DESEA INICIAR LA CONSTRUCCION DEL PERFIL
C*      DELTX=ESPACIAMIENTO ENTRE LAS MUESTRAS DEL PERFIL(METROS)
C*      NPUNT=NUMERO DE PUNTOS DESEADOS EN EL PERFIL
E.
C*
-----+
C*      CASO RETICULA O MAPA
C*
-----+
C*      SE CONSTRUYE UNA MATRIZ (NPX),(NPY)
C*      XPART ASI COMO YPART SON LOS PUNTOS DE PARTIDA EN LA
C*      CONSTRUCCION DE LA RETICULA
C*      DELTX ASI COMO DELTY INTERVALOS PARA LAS MUESTRAS EN X E Y
C*      RESPECTIVAMENTE
C*      NPX=NUMERO DE COLUMNAS DE LA RETICULA
C*      NPY=NUMERO DE REngLONES DE LA RETICULA
C*
-----+
C*      CALCULOS
DIMENSION K00(100)
DIMENSION AY(100),AY(100,100),Z1701(100)
DIMENSION BX(100,100),DY(100,100)
DIMENSION WC(100),DHE(100,100)

```

```

      WRITE(6,9)
9 FORMAT(2X,'DAME ICUER ITIPO1 IUGMG')
READ(5,10)ICUER,ITIPO1,IUGMG
10 FORMAT(3I1)   .

      WRITE(6,11)ICUER,ITIPO1,IUGMG
11 FORMAT(1H1,5X,'ICUER= ',I1,5X,'ITIPO1= ',I1,5X,'IUGMG= ',I1,/)
IF(ICUER-2)12,13,14
12 WRITE(6,15)
15 FORMAT(10X,'CASO ESFERA')
      WRITE(6,16)
16 FORMAT(5X,'DAME RADIO Densi')
READ(5,17)RADIO,Densi
17 FORMAT(2F6.2)
      WRITE(6,18)RADIO,Densi
18 FORMAT(//,20X,'RADIO= ',F10.2,5X,'DENSIDAD= ',F4.1)
ANASA=4.160897*Densi*(Radio**3)
GAMMA=0.6667*(1./10000000.0)
CON=ANASA*GAMMA
IF(ITIPO1-2)19,20,20
19 WRITE(6,21)
21 FORMAT(5X,'CALCULO DEL PERFIL CASO ESFERA',/)
      WRITE(6,22)
22 FORMAT(5X,'DAME XIZ0 PROF DELTX NPUNT')
READ(5,23)XIZ0,PROF,DELTx,NPUNT

23 FORMAT(3F6.2,I2)
T-PROF**2
XIZ01(1)=XIZ0
DO 24 I=2,NPUNT,1
XIZ01(I)=XIZ01(I-1)+DELTx
24 CONTINUE
      WRITE(6,25)
25 FORMAT(//,*DISTANCIA HORIZONTAL XIZ01(I)*)
DO 26 I=1,NPUNT
      WRITE(6,27)XIZ01(I)
27 FORMAT(7,F15.6)
26 CONTINUE
DO 28 I=1,NPUNT
ROOT(I)=SQR((XIZ01(I))**2+T)
AP(I)=((CON*PROF)/((ROOT(I)**3))+100.0
IF(IUGMG-2)34,35,28
34 AP(I)=AP(I)*(1000.0)
DO 30 10 28
35 AP(I)=AP(I)*(1000.0)
28 CONTINUE

      WRITE(6,29)
29 FORMAT(7,5X,'VALORES DE LA ATRACCION EN EL PERFIL',/)
*10X,'DEBIDO A UNA ESFERA ENTERGADA',/
DO 30 I 1,NPUNT
      WRITE(6,31)I,AP(I)
31 FORMAT(7,20X,'AP( ',I2,' ) = ',F16.6)
30 CONTINUE
      WRITE(6,32)
32 FORMAT(7,5X,'GRAFICA DEL PERFIL DEBITO A LA ATRACCION',/)
*10X,'DE UNA ESFERA',/
      ESSL PLOT(X,NPUNT,2)

```

```

      GO TO 100
20 WRITE(6,33)
33 FORMAT(//,5X,'CALCULO DE LA ANOMALIA CASO ESFERA',//)
      WRITE(6,60)
60 FORMAT(4X,'DAME NPX,NPY,YPART,XPART,DELTX,DELY,PROF')
      READ(5,61)NPX,NPY,YPART,XPART,DELTX,DELY,PROF
61 FORMAT(2I2,5F6.2)
      WRITE(6,62)NPX,NPY,YPART,XPART,DELTX,DELY,PROF
62 FORMAT(20X,'NPX= ',I2,5X,'NPY= ',I2,5X,'YPART= ',F10.2
      *,/,5X,'X PART= ',F10.2,5X,'DELTX= ',F10.3,/,/
      *5X,'DELY= ',F10.3,5X,'PROF= ',F10.2,/)
      DO 63 I=1,NPY
      DO 63 J=1,NPX
      DX(I,J)=XPART+(J-1,0)*DELTX
      DY(I,J)=YPART+(I-1,0)*DELY
63 CONTINUE
      T=PROF**2
      DO 64 I=1,NPX
      DO 65 J=1,NPY
      AR(I,J)=((CON*PROF)/(SQRT(DX(I,J)**2+DY(I,J)**2*T)))**3)*100,0
      GO TO (66,67,65),IUGMG
66 AR(I,J)=AR(I,J)*10000.0
      GO TO 65
67 AR(I,J)=AR(I,J)*1000.0
65 CONTINUE
64 CONTINUE
      WRITE(6,68)
68 FORMAT(//,5X,'VALORES DE LA ATRACCION DERIDA A UNA ESFERA',
      *//,15X,'ENTERRADA',//)

      CALL PRINTH(AR,NPY,NPX,100,100)
      GO TO 100
C*
      13 WRITE(6,39)
39 FORMAT(//,10X,'CASO CILINDRO HORIZONTAL',//)
      WRITE(6,40)
40 FORMAT(5X,'DAME RADIO Densi')
      READ(5,41)RADIO,Densi
41 FORMAT(2F6.2)
      WRITE(6,42)RADIO,Densi
42 FORMAT(//,20X,'RADIO= ',F10.2,5X,'DENSIDAD= ',F10.2,/)
      ANASA=2.*3.1416978*Densi*(RADIO**2)
      GAMMA=0.6667*(1./10000000.0)
      CON=ANASA*GAMMA
      IF(ITIP01-2)43,44,44
43 WRITE(6,45)
45 FORMAT(5X,'CALCULO DEL PERFILE DERIBDO A LA ATRACCION',//)
      *15X,'DE UN CILINDRO HORIZONTAL',/)
      WRITE(6,46)
46 FORMAT(5X,'DAME XIZ0 PROF DELTX NPOINT')
      READ(5,47)XIZ0,PROF,DELTX,NPOINT
47 FORMAT(3E6.2,I2)
      T=PROF**2
      XIZ0(I1)=XIZ0
      DO 48 I=2,NPOINT,I

```

```

      XIZQ1(I)=XIZQ1(I-1)+DELTX
48 CONTINUE
      WRITE(6,49)
49 FORMAT(//,10X,"DISTANCIA HORIZONTAL XIZQ1(I) ")
      DO 50 I=1,NPUNT
      WRITE(6,51)XIZQ1(I)
51 FORMAT(/,F10.3)
50 CONTINUE
      DO 52 I=1,NPUNT
      ROOT(I)=((XIZQ1(I))**2+T)
      AP(I)=((CON*PROF)/(ROOT(I)))*100.0
      IF(IUGMO-2)53,54,52
53 AP(I)=AP(I)*10000.0
      GO TO 52
54 AP(I)=AP(I)*1000.0

52 CONTINUE
      WRITE(6,55)
55 FORMAT(//,5X,"VALORES DE LA ATRACCION EN EL PERFIL",/
      *15X,"DEBIDO A UN CILINDRO HORIZONTAL ENTERRADO",//)
      DO 56 I=1,NPUNT
      WRITE(6,57)I,AP(I)
57 FORMAT(/,20X,"AP(*,12,*)= ",1PE16.6)
56 CONTINUE
      WRITE(6,58)
58 FORMAT(//,5X,"GRAFICA DEL PERFIL DEBIDO A LA ATRACCION",/
      *//,10X,"PRODUCIDO POR UN CILINDRO HORIZ. ENTERRADO",//)
      CALL PLOT(AP,NPUNT,2)
      GO TO 100
44 WRITE(6,59)
59 FORMAT(//,5X,"CALCULO DE LA RETICULA CASO CILINDRO HORIZ")
      WRITE(6,70)
70 FORMAT(4X,"DAME NPX,NPY,YPART,XPART,DELTX,DELY,PROF")
      READ(5,71)NPX,NPY,YPART,XPART,DELTX,DELY,PROF
71 FORMAT(2I2,5F6.2)
      WRITE(6,72)NPX,NPY,YPART,XPART,DELTX,DELY,PROF

72 FORMAT(20X,"NPX= ",I2,5X,"NPY= ",I2,5X,"YPART= ",F10.2,/
      *20X,"XPART= ",F10.2,5X,"DELTX= ",F10.2,5X,"DELY= ",F10.2
      *//,20X,"PROF= ",F10.2,//)
      DO 73 I=1,NPY
      DO 73 J=1,NPX
      IX(I,J)=XPART(I,J),0,DELTX
      DY(I,J)=YPART(I,J),0,DELY
73 CONTINUE
      T=PROF**2
      DO 74 I=1,NPX
      DO 75 J=1,NPY
      ARCT(J)=(CON*PROF)/(IX(I,J)**2+DY(I,J)**2+T))*100.0

      GO TO(76,77,78),IUGMO
76 ARCT(J)=ARCT(J)*10000.0
      GO TO 78
77 ARCT(J)=ARCT(J)*1000.0
78 CONTINUE
79 CONTINUE
    WRITE(6,70)

```

```

70 FORMAT(//,5X,'VALORES DE LA ATRACCION DEBIDA ',/)
  *10X,'A UN CILINDRO HORIZONTAL')
    CALL PRINTN(AR,BPY,BPZ,100,I00)
    GO TO 100
C*
14 WRITE(6,80)
80 FORMAT(//,10X,'CASO FALLA O PLACA')
    WRITE(6,81)
81 FORMAT(5X,'DAME ESP Densi')
    READ(5,82)ESP,Densi
82 FORMAT(2F6.2)
    WRITE(6,83)ESP,Densi
83 FORMAT(//,20X,'ESPEDOR= ',F10.2,/,20X,'DENSIDAD= ',F10.2)
    ANASA=2.*Densi*ESP
    GAMMA=0.6667*(1./10000000.0)
    CON=ANASA*GAMMA
    PIEN2=3.1417/2.0
    IF(ITIPO1-2)84,85,85
84 WRITE(6,86)
86 FORMAT(5X,'CALCULO DEL PERFIL DE LOS VALORES ',/
  *10X,'DE LA ATRACCION DE UNA FALLA')
    WRITE(6,87)
87 FORMAT(5X,'DAME XIZQ PROF DELTX NPUNT')
    READ(5,88)XIZQ,PROF,DELTx,NPUNT
88 FORMAT(3F6.2,I2)
    XIZQ1(1)=XIZQ
    DO 89 I=2,NPUNT
    XIZQ1(I)=XIZQ1(I-1)+DELTx
89 CONTINUE
    WRITE(6,90)
90 FORMAT(//,10X,'DISTANCIA HORIZONTAL XIZQ1(I)')
    DO 91 I=1,NPUNT
    WRITE(6,92) XIZQ1(I)
92 FORMAT(/,10X,F10.3)
91 CONTINUE
    DO 93 I=1,NPUNT
    W(I)=ATAN(XIZQ1(I)/PROF)
93 CONTINUE
    DO 94 I=1,NPUNT
    AP(I)=(CON*(PIEN2*W(I)))*100.0
      IF(IUGM0-2)95,96,94
95 AP(I)=AP(I)*10000.0
    GO TO 94
96 AP(I)=AP(I)*1000.0
94 CONTINUE
    WRITE(6,97)
97 FORMAT(//,5X,'VALORES DE LA ATRACCION EN EL PERFIL')
  *10X,'DEBIDO A UNA FALLA')
    DO 98 I=1,NPUNT
    WRITE(6,99)I,AP(I)
99 FORMAT(//,20X,'AP= ',12.11,'*10^',1)
98 CONTINUE
    WRITE(6,101)
101 FORMAT(5X,'GRÁFICA DEL CÁLCULO DE LOS VALORES DE LA ATRACCION')
  *10X,'DE UNA FALLA')

```

```

CALL PLOT(AP,NPUNT,2)
GO TO 100
105 WRITE(6,102)
102 FORMAT(//,5X,*CALCULO DE LA RETICULA CASO FALLA*)
      WRITE(6,103)

103 FORMAT(5X,*DAME NPX,NPY,YPART,XPART,DELTX,DELY,PROF*)
      READ(5,104)NPX,NPY,YPART,XPART,DELTX,DELY,PROF
104 FORMAT(2I2,5F6.2)
      WRITE(6,105)NPX,NPY,YPART,XPART,DELTX,DELY,PROF
105 FORMAT(20X,*NPX= *,I2,5X,*NPY= *,I2,5X,*YPART= *,F10.2,/,
*20X,*XPART= *,F10.2,5X,*DELTX= *,F10.2,5X,*DELY= *,F10.2,
*//,20X,*PROF= *,F10.2,/)
      DO 106 I=1,NPY
      DO 106 J=1,NPX
      DX(I,J)=XPART+(J-1.0)*DELTX
      DY(I,J)=YPART+(I-1.0)*DELY
106 CONTINUE
      DO 107 I=1,NPX
      DO 108 J=1,NPY
      ONE(I,J)=ATAN(SQRT(DX(I,J)**2+DY(I,J)**2))/PROF
      AR(I,J)=CON*(PIEN2-ONE(I,J))/100.0
      GO TO(109,110,108),IUNG6
109 AR(I,J)=AR(I,J)*10000.0
      GO TO 100
110 AR(I,J)=AR(I,J)*1000.0

108 CONTINUE
107 CONTINUE
      WRITE(6,111)
111 FORMAT(//,5X,*VALORES DE LA ATRACCION DEDIDA A UNA FALLA*)
      CALL PRINH(AR,NPY,NPX,100,100)
100 CONTINUE
      CALL EXIT
      END
      SUBROUTINE PLOT(X,N,ITIPO)
C#
C*   SUBRUTINA PARA GRAFICAR POR IMPRESORA ARREGLOS UNIDIMENSIONALES
C*   N-ES EL ARREGLO QUE SEERA GRAFICADO
C*   SI ITIPO=1, LOS DATOS TENDRAN UN RANGO DE (-1,1)
C*   SI ITIPO=2, LOS DATOS TENDRAN UN RANGO
C*   SI ITIPO=3, SE DRAFICA EL LOGO DEL ARREGLO
C*   REPETICION X(1)+T*W(G1),X(1)+T*W(G2)
C*   DATA T,I,T,I,NUNCA*T**1**1**1
C*   ITIPO=1,0,1,1,10,11
C*   MIN=-1,0
C*   MAX=1,0
C*
C*   GO TO 13
C*   DETERMINAR EL MAXIMO Y EL MINIMO DE UN ARREGLO CUALQUIERA
C*   DATA T,I
C*   MAX=100

```

```

      DO 12 I=1,N
      IF(X(I)-XMIN)101,101,102
101 XMIN=X(I)
102 IF(X(I)-XMAX)12,12,103
103 XMAX=X(I)
104 CONTINUE
      IF(ITUPO-3)13,104,13
104 XMIN=2.3059*ALOG(XMIN)
      XMAX=2.3059*ALOG(XMAX)
105 DX=XMAX-XMIN
      XXX=XMIN
      DO 14 I=1,13
      XX(I)=XXX
      IF(ITUPO-3)106,105,106
105 XX(I)=10.0*XXX

106 XXX=XXX+DX/12.0
107 CONTINUE
      WRITE(6,16) (XX(I),I=2,12,2)
108 FORMAT(36X,6F10.4)
      WRITE(6,17) (X(I),I=1,13,2)
109 FORMAT(31X,7F10.4)
      WRITE(6,18)
110 FORMAT(36X,*1*,12C'-- -- *')
      DO 22 I=1,N
      DO 19 J=1,61
      ISAL(J)=IBLNC
111 CONTINUE
      XXX=X(I)
      IF(ITUPO-3)111,110,111
110 XXX=2.3059*ALOG(XXX)
111 IX=1FIX((XXX-XMIN)*60.0/DX)+1,0
      ISAL(IX)=IAST
      WRITE(6,21) X(I),ISAL
21 FORMAT(10X,1PE20.10,7X,61A1)
22 CONTINUE

      WRITE(6,10)
      RETURN
      END
      SUBROUTINE PRTHINCA(LIM,IM)
      DIMENSION ACN1,B1
      2 WRITE(6,2000) LIM,IM,1,100
      DO 101 J=1,100
      WRITE(6,2001) LIM,ACN1,J,B1,IM
101 CONTINUE
      200 FORMAT(1H0,2X,10(9X,I2))
      2001 FORMAT(1H0,1D,10(2X,F2.0))
      RETURN
      END

```

```

FILE 5=DATOS9,UNIT=DISK,RECORD=14,BLOCKING=30
FILE 6(KIND=REMOTE,MAXRECSIZE=22)
C*
C*
C*      nombre del programa: filtro
C*      tesis profesional presentada por
C*      Jiménez Méndez Juan
DIMENSION OP9(100,100),CO9V(100,100)
DIMENSION OP2D(100,100),CO2DV(100,100),F5(100,100)
DIMENSION CF5V(100,100),OCCPA(100,100),COCCV(100,100)
DIMENSION V(100,100)
C* V=ANOMALIA DE BOUGUER
C* F5=FILTRO DE 25 PUNTOS
C* OP2D=OPERADOR DE SEGUNDA DERIVADA
C* OCCPA=OPERADOR DE CONTINUACION DE CAMPO HACIA ARRIBA
C* CONV2=SUBLUTINA CONVOLUCION EN DOS DIMENSIONES
C* OP9=OPERADOR (FILTRO) DE 9 PUNTOS
C* LECTURA DE LA MATRIZ DE LA ANOMALIA
      WRITE(6,94)
94 FORMAT(2X,'MATRIZ DE LA ANOMALIA DE BOUGUER')
      WRITE(6,23)
23 FORMAT(2X,'DAME V(I,J) UNA')
      DO 40 I=1,16
      READ(5,41)(V(I,J),J=1,8)
41 FORMAT(8F4.1)
40 CONTINUE
      WRITE(6,42)
42 FORMAT(2X,'DAME V(I,J) DOS')
      DO 43 I=1,16
      READ(5,44)(V(I,J),J=9,16)
44 FORMAT(8F4.1)
43 CONTINUE
      WRITE(6,45)
45 FC MAT(2X,'MATRIZ DE LA ANOMALIA DE BOUGUER')
      DO 46 I=1,16
      WRITE(6,47)(V(I,J),J=1,8)
47 FC MAT(////,6X,8F0.3)
46 CONTINUE
      WRITE(6,48)
48 FC MAT(2X,////)
      DO 49 I=1,16
      WRITE(6,50)(V(I,J),J=9,16)
50 FC MAT(////,6X,8F0.3)
49 CONTINUE
C*
C*
C*
C*
C*
      WRITE(6,29)
29 FC MAT(2X,'LECTURA DEL OPERADOR SEG. DER.')

```

```

C* LECTURA DE LOS VALORES DEL OPERADOR DE SEGUNDA DERIVADA
OP2D(1,1)=0.354
OP2D(1,2)=-1.354
OP2D(1,3)=0.354
OP2D(2,1)=-1.354
OP2D(2,2)=4.0
OP2D(2,3)=-1.354
OP2D(3,1)=0.354
OP2D(3,2)=-1.354
OP2D(3,3)=0.354
WRITE(6,999)
999 FORMAT(//,2X,"MATRIZ CON LOS VALORES DEL OPERADOR DE SEGUNDA
*DERIVADA")
WRITE(6,777)((OP2D(M,I),I=1,3),M=1,3)
777 FORMAT(//,2X,3F10.2)
C* CONVOLUCION DE LA ANOMALIA CON EL OPERADOR DE SEGUNDA
C* DERIVADA
CALL CONV2(V,16,16,OP2D,3,3,C02DV,18,18)
WRITE(6,95)
95 FORMAT("MATRIZ DE LA CONVOLUCION DE LOS VALORES DE
*LA ANOMALIA CON EL OPERADOR DE SEGUNDA DERIVADA")
WRITE(6,51)((C02DV(M,N),N=1,9),M=1,18)
51 FORMAT(////,2X,9F8.3)
WRITE(6,52)
52 FORMAT(2X,////)
WRITE(6,53)((C02DV(M,N),N=10,18),M=1,18)
53 FORMAT(////,2X,9F8.3)
C*
C* LECTURA DEL FILTRO DE 25 PUNTOS
WRITE(6,14)
14 FORMAT(2X,"MATRIZ CON LOS VALORES DEL FILTRO DE 25 PUNTOS")
DO 1333 K=1,5
DO 1333 L=1,5
1333 F5(K,L)=0.04
WRITE(6,8013)((F5(K,L),L=1,5),K=1,5)
8013 FORMAT(//,30X,5F12.3)
C*
C* CONVOLUCION DE LA ANOMALIA CON EL FILTRO DE 25 PUNTOS
CALL CONV2(V,16,16,F5,5,5,CF5V,20,20)
WRITE(6,8113)
8113 FORMAT(15X,"ESTA ES LA MATRIZ DE LA CONVOLUCION DE LOS
*VALORES DE LA ANOMALIA CON EL FILTRO DE 25 PUNTOS")
WRITE(6,54)((CF5V(M,I),I=1,10),M=1,20)
54 FORMAT(////,2X,10F8.3)
WRITE(6,55)
55 FORMAT(2X,////)
WRITE(6,55)((CF5V(M,I),I=11,20),M=1,20)
55 FORMAT(////,2X,10F8.3)
C*

```

```
C* LECTURA DE LA MATRIZ DE CONTINUACION DE CAMPO
OCCPA(1,1)=0.02208
OCCPA(1,2)=-0.74169
OCCPA(1,3)=0.02208
OCCPA(2,1)=-0.74169
OCCPA(2,2)=3.65472
OCCPA(2,3)=-0.74169
OCCPA(3,1)=0.02208
OCCPA(3,2)=-0.74169
OCCPA(3,3)=0.02208
WRITE(6,8513)

8513 FORMAT(//,2X,"MATRIZ CON LOS VALORES DEL OPERADOR
*DE CONTINUACION DE CAMPO POTENCIAL HACIA ARRIBA")
      WRITE(6,8613)((OCCPA(M,L),L=1,3),M=1,3)
8613 FORMAT(//,15X,3F10.5)

C*
C* CONVOLUCION DE LA ANOMALIA CON EL OPERADOR DE CONTINUACION
C* ANALITICA DE CAMPO HACIA ARRIBA
      CALL CONV2(V,16,16,OCCPA,3,3,COCCV,18,18)
      WRITE(6,8713)

8713 FORMAT(///,2X,"CONVOLUCION DE LA ANOMALIA CON EL
*OPERADOR DE CONTINUACION DE CAMPO POTENCIAL")
      WRITE(6,60)((COCCV(K,L),L=1,9),K=1,18)
60 FORMAT(////,2X,9F8.3)
      WRITE(6,61)

61 FORMAT(2X,////)
      WRITE(6,62)((COCCV(K,L),L=10,18),K=1,13)
62 FORMAT(////,2X,9F8.3)

C* LECTURA DE LA MATRIZ DE 9 PUNTOS
OP9(1,1)=1./9.
OP9(1,2)=1./9.
OP9(1,3)=1./9.
OP9(2,1)=1./9.
OP9(2,2)=1./9.
OP9(2,3)=1./9.
OP9(3,1)=1./9.
OP9(3,2)=1./9.
OP9(3,3)=1./9.
WRITE(6,63)

63 FORMAT(//,2X,"MATRIZ CON LOS VALORES DEL FILTRO DE 9 PUNTOS")
      WRITE(6,64)((OP9(I,J),J=1,3),I=1,3)
64 FORMAT(//,10X,3F15.9)

C* CONVOLUCION DE LA ANOMALIA CON EL FILTRO DE 9 PUNTOS
      CALL CONV2(V,16,16,OP9,3,3,C09V,18,18)
      WRITE(6,65)

65 FORMAT(///,2X,"CONVOLUCION DE LA ANOMALIA")
      WRITE(6,66)((C09V(I,J),J=1,9),I=1,18)
```

```
66 FORMAT(////,2X,9F8.3)
      WRITE(6,67)
67 FORMAT(2X,///)
      WRITE(6,68)((C09V(I,J),J=10,18),I=1,18)
68 FORMAT(////,2X,9F8.3)
      CALL EXIT
END
SUBROUTINE CONV2(A,NRA,NCA,B,NRB,NCB,C,NRC,NCC)
DIMENSION A(100,100),B(100,100),C(100,100)
NRC=NRA+NRB-1
NCC=NCA+NCB-1
DO 1 IR=1,NRC
DO 1 JC=1,NCC
C(IR,JC)=0.0
1 CONTINUE
C*   HACE LA CONVOLUCION
      DO 2 I=1,NRA
      DO 2 K=1,NRB
      IR=I+K-1
      DO 2 J=1,NCA
      DO 2 L=1,NCB
      JC=L+J-1
      C(IR,JC)=C(IR,JC)+A(I,J)*B(K,L)
2 CONTINUE
      RETURN
END
```

nombre del programaderiveda
tesis profesional presentada por
Jiménez Méndez Juan

```

C* CALCULO DE LA SEGUNDA DERIVADA DE LA COMPONENTE VERTICAL
C* DE LA GRAVEDAD METODO DE HENDERSON
C* DIMENSION B(100,100),SDER(100,100),PNTS9(100,100)
C* DATOS
C* B(I,J)=ANOMALIA DE BOUGUER
C* M=NUMERO DE REGLONES
C* N=NUMERO DE COLUMNAS
C* R=ESPAZAMIENTO DE LA CUADRICULA
C* LECTURA DE DATOS
      WRITE(6,19)
19 FORMAT(2X,"DAME DATOS N M R")
16 READ(5,1) N,M,R
1   FORMAT(2I3,F12.2)
IF(N)2,2,3
2 CALL EXIT
3 WRITE(6,1B)
18 FORMAT(2X,"DAME B(I,J)")
READ(5,4)((B(I,J),J=1,B),I=1,16)
4 FORMAT(8F4.1)
      WRITE(6,28)
28 FORMAT(2X,"DAME 2 B(I,J)")
READ(5,30)((B(I,J),J=9,16),I=1,16)
30 FORMAT(8F4.1)
      WRITE(6,13)
13 FORMAT(2X,"MATRIZ DE LA ANOMALIA DE BOUGUER")
DO 22 I=1,16
      WRITE(6,25)(B(I,J),J=1,B)
25 FORMAT(////,6X,8F8.3)
22 CONTINUE
      WRITE(6,31)
31 FORMAT(2X,////)
DO 26 I=1,16
      WRITE(6,27)(B(I,J),J=9,16)
27 FORMAT(////,6X,8F8.3)
26 CONTINUE
C*      WRITE(6,71)
71 FORMAT(///,2X,"PROGRAMA METODO DE HENDERSON")
      N4=16
      M4=16
C*      CALCULOS
      N3=16
      M3=16
      N2=N
      M2=M
      N=N-2
      M=M-2
      DO 6 I=3,M
      DO 6 J=3,M
      B1=(B(I+1,J)+B(I-1,J)+B(I,J+1)+B(I,J-1))/4.
      7 A1=B(I,J)-B1
      B2=(B(I-1,J-1)+B(I+1,J-1)+B(I+1,J+1)
      *+B(I-1,J+1))/4.
      10 A2=B(I,J)-B2
      12 SDER(I,J)=(1./(3.*R**2.))*(8.*B(I,J)-4.*B1-4.*B2)
      6 CONTINUE
      WRITE(6,15)
15 FORMAT(2X,"MATRIZ DE SEG. DERIVADA DE HENDERSON",////)
      WRITE(6,40)((SDER(I,J),J=3,B),I=3,14)
40 FORMAT(////,6X,6F8.3)
      WRITE(6,41)
41 FORMAT(2X,////)
      WRITE(6,42)((SDER(I,J),J=9,14),I=3,14)
42 FORMAT(////,6X,6F8.3)
C*      WRITE(6,24)
24 FORMAT(2X,"TERMINACION DE PROGRAMA HENDERSON")
C*      PROGRAMA DE ELKINS
C*
C*

```

```

      WRITE(6,59)
  59 FORMAT(////,2X,"PRINCIPIO DEL PROGRAMA DE ELKINS",////)

C*
C*
C*
C*      CALCULO DE LA SEGUNDA DERIVADA DE LA COMPONENTE VERTICAL
C*      DE LA GRAVEDAD
C*      METODO DE ELKINS
C*
C*      CALCULOS
N=N2-2
M=M2-2
DO 8 I=3,M
DO 8 J=3,M
B1=(B(I,J-1)+B(I,J+1)+B(I-1,J)+B(I+1,J))/4.
A1=B(I,J)-B1
B2=(B(I-1,J-1)+B(I-1,J+1)+B(I+1,J+1)+B(I+1,J-1))/4.
A2=B(I,J)-B2
B3=(B(I-2,J-2)+B(I-2,J-1)+B(I-2,J+1)+B(I-1,J+2)+  

*B(I+1,J+2)+B(I+2,J+1)+B(I+2,J-1)+B(I+1,J-2))/8.
A3=B(I,J)-B3
SDER(I,J)=(1./(62.*R**2))*(44.*B(I,J)+16.*B1-12.*B2-48.*B3)
8 CONTINUE
WRITE(6,57)
 57 FORMAT(2X,"MATRIZ DE SEG. DERIVADA DE ELKINS",////)
WRITE(6,43)((SDER(I,J),J=3,8),I=3,14)
 43 FORMAT(////,6X,6F8.3)
WRITE(6,44)
 44 FORMAT(2X,////)
WRITE(6,45)((SDER(I,J),J=9,14),I=3,14)
 45 FORMAT(////,6X,6F8.3)
WRITE(6,58)
 58 FORMAT(2X,"TERMINACION DEL PROGRAMA ELKINS")

C*
C*
C*      WRITE(6,64)
 64 FORMAT(2X,"PRINCIPIO DEL PROGRAMA DE LOS NUEVE PUNTOS")
WRITE(6,65)
 65 FORMAT(2X,////)
C*      CALCULO DEL RESIDUAL POR MEDIO DEL
C*      METODO DE LOS NUEVE PUNTOS
C*
C*      CALCULOS
C*
N=N3-1
M=M3-1
DO 60 I=2,M
DO 60 J=2,N
PNTS9(I,J)=B(I,J)-(B(I,J)+B(I-1,J-1)+B(I-1,J)+B(I-1,J+1)+  

*B(I,J+1)+B(I+1,J+1)+B(I+1,J)+B(I+1,J-1)+B(I,J-1))/9.
60 CONTINUE
WRITE(6,46)
 46 FORMAT(2X,"MATRIZ DEL METODO DE 9 PUNTOS",//)
WRITE(6,47)((PNTS9(I,J),J=2,8),I=2,15)
 47 FORMAT(////,6X,7F8.3)
WRITE(6,48)
 48 FORMAT(2X,////)
WRITE(6,49)((PNTS9(I,J),J=9,15),I=2,15)
 49 FORMAT(////,6X,7F8.3)
WRITE(6,63)
 63 FORMAT(2X,"TERMINACION DEL PROGRAMA DE LOS NUEVE PUNTOS")
WRITE(6,80)

```

```
80 FORMAT(2X," PROGRAMA METODO DE OTTO ROSENBACH ")
C*   CALCULO DE LA SEGUNDA DERIVADA DE LA COMPONENTE
C*   VERTICAL DE LA GRAVEDAD
C*   METODO DE OTTO ROSENBACH
C*   CALCULOS
      N=N4-2
      M=M4-2
      DO 81 I=3,M
      DO 81 J=3,M
      B1=(B(I,J-1)+B(I,J+1)+B(I-1,J)+B(I+1,J))/1.0
      B2=(B(I-1,J-1)+B(I-1,J+1)+B(I+1,J+1)+B(I+1,J-1))/1.0
      B3=(B(I-1,J-2)+B(I-2,J-1)+B(I-2,J+1)+B(I-1,J+2)+
           *B(I+1,J+2)+B(I+2,J+1)+B(I+2,J-1)+B(I+1,J-2))/1.0
      SDER(I,J)=(1./(24.*R**2))*(96.*B(I,J)-
           *18.*B1-8.*B2+B3)
81 CONTINUE
      WRITE(6,82)
82 FORMAT(2X," SEQ. DERIVADA METODO OTTO ROSENBACH")
      WRITE(6,83)((SDER(I,J),J=3,8),I=3,14)
83 FORMAT(//,,6X,6F8.3)
      WRITE(6,84)
84 FORMAT(2X,///)
      WRITE(6,85)((SDER(I,J),J=9,14),I=3,14)
85 FORMAT(//,,6X,6F8.3)
      WRITE(6,86)
86 FORMAT(2X," TERMINACION DEL PROGRAMA")
      GO TO 16
      CALL EXIT
      END
```

nombre del programa: talbi
 tesis profesional presentada por
 Jiménez Méndez Juan

```

C* PROGRAMA PARA CALCULAR EL EFECTO GRAVITATORIO DE UN CUERPO
C* AL CUAL SE LE APROXIMA SU SECCION TRANSVERSAL POR UN POLIGONO
C* EL CUERPO ES INFINTO EN LA DIRECCION PERPENDICULAR A SU
C* SECCION.
C* PARA LA CONSTRUCCION DEL PERFIL SE TOMA COMO ORIGEN DE
C* COORDENADAS EL PUNTO DONDE SE DESEA INICIAR LA CONSTRUCCION
C* DEL PERFIL.
C* LOS RESULTADOS SE OBTIENEN EN U.G.
C*
C* DESCRIPCION DE VARIABLES
C* MUES-NUMERO DE MUESTRAS EN EL PERFIL
C* DENSID-ENCIDAD DEL CUERPO CONSIDERADO(GRS/CM**3)
C* LADOS-NUMERO DE VERTICES DEL POLIGONO
C* DELTA=ESTACAMIENTO ENTRE LAS MUESTRAS DEL PERFIL(KM)
C* X(I),Z(I)-VERTICES DEL POLIGONO(KM)
C* CALCULOS
      DIMENSION X(500),Z(500),H(500),V(500),COMPU(500)
      DIMENSION COMPU(500),A(500),F1E(500),F2E(500),N1E(500)
      DIMENSION W(500),R(500),U(500)
      WRITE(6,60)
  60 FORMAT(2X,"DAME MUES DELTA")
      READ(5,5000)MUES,DELTA
  5000 FORMAT(I3,F5.2)
      WRITE(6,61)
  61 FORMAT(2X,"DAME LADOS DENSID")
      READ(5,300)LADOS,DENS1
  300 FORMAT(I3,F5.2)
      WRITE(6,62)
  62 FORMAT(2X,"DAME X(I)")
      READ(5,104)(X(I),I=1,LADOS)
      WRITE(6,63)
  63 FORMAT(2X,"DAME Z(I)")
      READ(5,100)(Z(I),I=1,LADOS)
  100 FORMAT(10F6.0)
  104 FORMAT(10F4.0)
      WRITE(6,64)
  64 FORMAT(2X,"MUES",5X,"DELTA")
      WRITE(6,65)MUES,DELTA
  65 FORMAT(2X,2X,I3,5X,I12,6)
      WRITE(6,66)
  66 FORMAT(2X,2X,"LADOS",2X,"DENS1")
      WRITE(6,67)LADOS,DENS1
  67 FORMAT(2X,2X,I3,5X,I5,3)
      WRITE(6,68)
  68 FORMAT(2X,5X,"BISFERIA (R0Z)">I1)>I1
      WRITE(6,69)(X(I),I=1,LADOS)
  69 FORMAT(2X,2X,10F6.2)
      WRITE(6,70)
  70 FORMAT(2X,5X,"PROfundidad Z">I1)>I1
      WRITE(6,107)(Z(I),I=1,LADOS)
  107 FORMAT(2X,10F4.0)
C*

```

C* CALCULOS

C*
C*

```

JJ=LABOS41
X(JJ)=X(1)
Z(JJ)=Z(1)
PI=3.141592623589
GAMMA=0.6667E-07
CONST=2.*GAMMA/LNST
ITER=1
2000 DO 101 I=1,LABOS
    IF(Z(I),EQ,0.0,AND,X(I),EQ,0.,0.)GO TO 2001
    IF(Z(I+1),EQ,0.0,AND,X(I+1),EQ,0.,0.)GO TO 2001
    IF(Z(I),EQ,0.0,OR,Z(I+1),EQ,0.,0.)GO TO 4030
    IF(X(I))26,29,28
28 IF(X(I+1))30,31,30
30 IF(Z(I)-Z(I+1))32,33,32
32 IF(X(I)-X(I+1))34,35,34
34 IF(X(I),EQ,Z(I))GO TO 2001
    IF(X(I+1),EQ,Z(I+1))GO TO 2001
    GO TO 2002
4030 IF(Z(I),EQ,0.0,AND,Z(I+1),EQ,0.,0.)GO TO 2001
    IF(Z(I),EQ,0.0,AND,Z(I+1),NE,0.,0.)GO TO 2002
    IF(Z(I),NE,0.0,AND,Z(I+1),EQ,0.,0.)GO TO 2002
    2001 IF(X(I),EQ,X(I+1))GO TO 35
    GO TO 2002
    2002 IF(X(I),EQ,X(I+1))GO TO 35
    GO TO 2002
C*
C*      CASE (A) X(I)=0.,0.
        W(I)=Z(I+1)-Z(I)
22 IF(Z(I),EQ,Z(I+1))GO TO 33
    IF(X(I),EQ,0.0,AND,W(I),EQ,0.,0.)GO TO 2001
    A(I)=X(I+1)*Z(I+1)/(X(I+1)-(Z(I)-Z(I+1)))
    IF(X(I+1),EQ,0.,0.)GO TO 31
    F(T)=ATAN2((W(I)),(A(I)))
    IF(TET1(I),EQ,TI)GO TO 2001
    TET1(I)=ATAN2(Z(I+1),X(I+1))
    V(I)=-(A(I))*SIN(TE(I))/COS(TE(I))-TET1(I)
    #PI/2.0*ATAN2(W(I),A(I))/COS(TE(I))-B1*D0*COS(TE(I))
    *(TET1(I))-#PI*ATAN2(Z(I+1),X(I+1))-#PI*ATAN2(W(I),
    #W(I)),X(I+1)))/#PI*CONST
    H(I)=#A(D)*SIN(TE(I))/COS(TE(I))
    #ATAN2(W(I),A(I)))
    #X(I+1)*#B(D)*COS(TE(I))/#ATAN2(W(I))
    #Z(I+1)*#X(I+1)*#B(D)*ATAN2(W(I))
    #W(I)*#X(I+1))/#PI*CONST
    GO TO 101
C*      CASE (B) X(I+1)=0.,0.
31 IF(Z(I),EQ,Z(I+1))GO TO 33
    IF(X(I),EQ,0.0,AND,X(I+1),EQ,0.,0.)GO TO 2001
    B(I)=Z(I)-Z(I+1)
    A(I)=Z(I+1)*C(X(I))/Z(I+1)
    F(T)=ATAN2(C(X(I)),X(I))
    IF(T,ATAN2(Z(I),X(I)))

```

$V(I) = (A(I)*\sin(TET(I)))*\cos(TET(I)) + B(I)*\sin(TET(I))$
 $+ C(I)*\tan(\atan2((B(I)), X(I)))*\text{ALOG}(\cos(TET(I)))/C(I)$
 $+ D(I)*\tan(\atan2((B(I)), X(I))))$ CONST
 C*
 $H(I) = - (A(I)*\sin(TET(I)))*\cos(TET(I))$
 $*(\tan(\atan2((B(I)), X(I)))*(\text{TET}(I) - P(I)))$
 $+ E(I)*\text{ALOG}(\cos(TET(I)))*(\tan(\atan2(Z(I), X(I))))$
 $*X(I)) + \tan(\atan2((B(I)), X(I))))$ CONST
 GO TO 101

C*
 C* CASE (C) Z(I)=Z(141)
 33 TET(I)=ATAN2(Z(I), X(I))
 $TET(I) = \text{ATAN2}(Z(141), X(141))$
 C* PUEDE OCURRIR EL CASO (D) TET(C)=TET(D)
 C*
 $\text{IF } (TET(I), EQ, TET(D)) \text{ GO TO 2001}$
 $V(I) = (Z(I)*TET(I)) - TET(I)$ CONST
 $H(I) = (Z(I)*\text{ALOG}(\sin(TET(I))/\sin(TET(I))))$ CONST
 GO TO 101

C*
 C* CASE (D) X(I)=X(141)
 35 TET(I)=ATAN2(Z(I), X(I))
 $TET(I) = \text{ATAN2}(Z(141), X(141))$
 C* PUEDE OCURRIR EL CASO (E) TET(C)=TET(D)
 $\text{IF } (TET(I), EQ, TET(D)) \text{ GO TO 2001}$
 $V(I) = (X(I)*\text{ALOG}(\cos(TET(I))/\cos(TET(D))))$ CONST
 $H(I) = (X(I)*TET(I)) - TET(D)$ CONST
 GO TO 101

C*
 C* CASE (E) Z(I)=Z(D)
 C* CASE (G) Z(I)=Z(141)
 2001 H(I)=0.0
 V(I)=0.0
 GO TO 101

C*
 C* CASO GENERAL
 2602 TET(I)=ATAN2(Z(I), X(I))
 $TET(I) = \text{ATAN2}(Z(I), X(I))$
 $V(I) = Z(I)*Z(I)$
 $H(I) = X(I)*X(I)$
 1 PUEDE OCURRIR EL CASO (H) TET(C)=TET(D)
 $\text{IF } (TET(I), EQ, TET(D)) \text{ GO TO 2001}$
 $V(I) = (Z(I)*Z(I)) - TET(D)$
 $H(I) = (X(I)*X(I)) - TET(D)$
 $\text{IF } (TET(I), EQ, TET(C)) \text{ GO TO 2001}$
 $V(I) = (Z(I)*Z(I)) - TET(C)$
 $H(I) = (X(I)*X(I)) - TET(C)$
 $\text{IF } (TET(I), EQ, TET(B)) \text{ GO TO 2001}$
 $V(I) = (Z(I)*Z(I)) - TET(B)$
 $H(I) = (X(I)*X(I)) - TET(B)$
 $\text{IF } (TET(I), EQ, TET(A)) \text{ GO TO 2001}$
 $V(I) = (Z(I)*Z(I)) - TET(A)$
 $H(I) = (X(I)*X(I)) - TET(A)$
 $\text{IF } (TET(I), EQ, TET(E)) \text{ GO TO 2001}$
 $V(I) = (Z(I)*Z(I)) - TET(E)$
 $H(I) = (X(I)*X(I)) - TET(E)$
 $\text{IF } (TET(I), EQ, TET(F)) \text{ GO TO 2001}$
 $V(I) = (Z(I)*Z(I)) - TET(F)$
 $H(I) = (X(I)*X(I)) - TET(F)$
 $\text{IF } (TET(I), EQ, TET(G)) \text{ GO TO 2001}$
 $V(I) = (Z(I)*Z(I)) - TET(G)$
 $H(I) = (X(I)*X(I)) - TET(G)$
 $\text{IF } (TET(I), EQ, TET(H)) \text{ GO TO 2001}$
 $V(I) = (Z(I)*Z(I)) - TET(H)$
 $H(I) = (X(I)*X(I)) - TET(H)$
 GO TO 101


```
10 XMIN=-1.0
    XMAX=1.0
    GO TO 13
C*
C*      DETERMINAR EL MAXIMO Y EL MINIMO DE UN ARREGLO CUALQUIERA
11 XMIN=X(1)
    XMAX=XMIN
    DO 12 I=1,N
        IF(X(I)-XMIN)101,101,102
101 XMIN=X(I)
102 IF(X(I)-XMAX)12,12,103
103 XMAX=X(I)
12 CONTINUE
    IF(ITIPO-3)13,104,13
104 XMIN=2.3059*ALOG(XMIN)
    XMAX=2.3059*ALOG(XMAX)
13 DX=XMAX-XMIN
    XXX=XMIN
    DO 14 I=1,13
        XX(I)=XXX
        IF(ITIPO-3)106,105,106
105 XX(I)=10.0**XXX
106 XXX=XXX+DX/12.0
14 CONTINUE
    WRITE(6,16) (XX(I),I=2,12,2)
16 FORMAT(36X,6F10.4)
    WRITE(6,17) (X(I),I=1,12,2)
17 FORMAT(31X,7F10.4)
    WRITE(6,18) -
18 FORMAT(36X,'+',12('+-+'))
    DO 22 I=1,N
        DO 19 J=1,61
            ISAL(J)=IBLNC
19 CONTINUE
        XXX=X(I)
        IF(ITIPO-3)111,110,111
110 XXX=2.3059*ALOG(XXX)
111 IX=IFIX((XXX-XMIN)*50.0/DX)+1.0
        ISAL(IX)=IASI
        WRITE(6,21) X(I),ISAL
21 FORMAT(10X,IPE20.10,7X,61I1)
22 CONTINUE
    WRITE(6,19)
    RETURN
    END
```

nombre del programa: subrutinas para los programas fuente
 tesis profesional presentada por
 Jiménez Méndez Juan

```

SUBROUTINE AMULT(A,B,C,L,N,M,NA,MA,NB,MB,NC,MC)
* SIRVE PARA MULTIPLICAR DOS MATRICES
  DIMENSION A(NA,MA),B(NB,MB),C(NC,MC)
  DO 1 I=1,L
  DO 2 J=1,M
    C(I,J)=0.0
    DO 3 K=1,N
      C(I,J)=C(I,J)+A(I,K)*B(K,J)
  3 CONTINUE
  2 CONTINUE
  1 CONTINUE
  RETURN
END

C*
C*
  SUBROUTINE FIND(Z,N5,N6,XMAX)
C* DETERMINA EL MAXIMO DE UN ARREGLO MATRICIAL
  DIMENSION Z(N5,N6)
  XMAX=Z(1,1)
  DO 1 I=1,N5
    DO 1 J=1,N6
      YT=Z(I,J)
      IF(YT.GT.XMAX)XMAX=YT
  1 CONTINUE
  RETURN
END

C*
C*
  SUBROUTINE CONVO(A,N,B,M,C,L)
C* N=NUMERO DE ELEMENTOS DEL PERFIL A CONVOLUCIONAR
C* M=NUMERO DE ELEMENTOS DEL OPERADOR
  DIMENSION A(100),B(100),C(100)
  L=N+M-1
  DO 1 I=1,L
    C(I)=0.0
  1 CONTINUE
C* HACE LA CONVOLUCION
  DO 2 I=1,N
    DO 2 J=1,M
      K=I+J-1
      C(K)=C(K)+A(I)*B(J)
  2 CONTINUE
  RETURN
END

C*
C*
C*
```

```

C*
      SUBROUTINE DINT2(D,X,Y,NR,NC,DLTX,DLTY,MM,RESULT)
      DIMENSION D(NR,NC),X(NR,NC),Y(NR,NC),E(60,60)
      RESULT=0.0
      GO TO (1,2,3),MM
1   CALL AMULT(D,X,E,NR,NC,NC,NC,NR,NC,NR,NC)
      GO TO 4
2   CALL AMULT(D,Y,E,NR,NC,NC,NR,NC,NR,NC,NR,NC)
4   DO 5 I=1,NR
      DO 5 J=1,NC
      D(I,J)=E(I,J)
5   CONTINUE
3   DELT=DLTX*DLTY/4.0
      IL=1
      IM=2
      IT=1
      IN=2
      DO 6 I=1,NR-1
      DO 7 L=1,NC-1
      DO 8 J=IL,IM
      DO 8 K=IT,IN
      RESULT=RESULT+D(J,K)
8   CONTINUE
      IL=IL+1
      IM=IM+1
7   CONTINUE
      IL=1
      IM=2
      IT=IT+1
      IN=IN+1
6   CONTINUE
      RETURN
      END
C*
C*
C*
C*
      SUBROUTINE GRAF2(X,N,Y,XMAX,XMIN)
      DIMENSION X(N),Y(N),IOUT(100),XX(13)
      DATA II,ISTAR,IPLPK/'E','*','/'/
      DX=XMAX-XMIN
      XXX=XMIN
      DO 101 I=1,13
      XX(I)=XXX
      XXX=XXX+DX/12.0
101  CONTINUE
      WRITE(6,2002)
      WRITE(6,2001)(XX(I),I=1,13,2)
      WRITE(6,2000)(XX(I),I=2,12,2)
      DO 102 I=1,N
      DO 103 J=1,100
      IOUT(J)=II*LINK
103  CONTINUE
      XXX=XX(1)

```

```

      YYY=Y(I)
      IX=IFIX((XXX-XMIN)*99.0/DX)+1
      IY=IFIX((YYY-YMIN)*99.0/DY)+1
      IOUT(IY)=II ;IOUT(IX)=ISTAR
      WRITE(6,2003)X(I),IOUT,Y(I)
102 CONTINUE
2000 FORMAT(16X,6(5X,F10.4))
2001 FORMAT(11X,7(5X,F10.4))
2003 FORMAT(IX,F10.4,100A1,F10.4)
2002 FORMAT(11X,1F*,10('-----+'))
      RETURN
      END

C*
C*
C*
C*
      SUBROUTINE DINTEG(F,N,ZF,FO)
      DIMENSION F(N),ZF(N)
      T0=0.0
      FO=0.0
      M=N-3
      L=MOD(M,2)
      IF(L)2,2,3
2   M=(M+1)/2
      GO TO 5
3   M=(M+1)/2
5   DO 1 I=1,M,2
      FO=FO+(1.0/6.0)*((3.*ZF(I+1)-ZF(I+2)-2.*ZF(I)
      **(ZF(I)-ZF(I+2))/(ZF(I)-ZF(I+1)))*F(I+1)
      **(ZF(I)-ZF(I+2))*3/((ZF(I+1)-ZF(I+2))
      **(ZF(I+1)-ZF(I))))
      T0=T0+(1./6.)*F(I+2)*(3.*ZF(I+1)-
      *ZF(I)-2.*ZF(I+2))*(ZF(I)-ZF(I+2))/
      *(ZF(I+2)-ZF(I+1)))
1   CONTINUE
      FO=FO+T0
      IF(L)4,4,6
6   XAMAX=AMAX1(ZF(N),ZF(N-1))
      XAMIN=AMIN1(ZF(N),ZF(N-1))
      DIF=XAMAX-XAMIN
      T=XAMIN*(ZF(N)-ZF(N-1))+DIF/2.0*
      *(ZF(N)-ZF(N-1))
      FO=FO+T
4   RETURN
      END

C*
C*
C*
      SUBROUTINE EXCESS(A,NR,NC,FO,YE,ZE,DELTX,DELTY,RESULT)
C*      SUBRUTINA PARA CALCULAR EL EXCESO DE MASA, DADO DOD UN
C*      PLANO DE ANOMALIA RESIDUAL EN U.G.
C*
C*      DESCRIPCION DE LAS VARIABLES
C*      A=ARREGLO QUE CONTIENE LOS VALORES DE ANOMALIA
C*      NR=NUMERO DE REGLONES DEL ARREGLO A

```

```

C*    NC=NUMERO DE COLUMNAS DEL ARREGLO A
C*    DELTX=ESPAZAMIENTO EN X DE LOS VALORES DE A
C*    DELTY=ESPAZAMIENTO EN Y DE LOS VALORES DE A
C*    EQ=MITAD DE LA DISTANCIA EN X DE LOS VALORES DE A
C*    (PLANO DE ANOMALIA)
C*    YE=MITAD DE LA DISTANCIA EN Y DE A (PLANO DE ANOMALIA)
C*    ZE=PROFUNDIDAD CALCULADA DEL CENTRO DE NDA
C*
C*    LOS DATOS DE ENTRADA PARA LAS DISTANCIAS SE DAN EN
C*    METROS, LOS RESULTADOS ESTAN EN TONELES ELECTRICAS
C*
C*    DIMENSION A(NR,NC)
C*    DELT=DELTX*DELY/4.0
C*    GAMMA=0.6667E-07
C*    TOF=0.0
C*    T=ATAN((E0*YE)/(ZE*SQRT(E0**2+YE**2)))
DO 1 I=1,NR
DO 1 J=1,NC
TOF=TOF+A(I,J)
1 CONTINUE
RESULT=TOF/(4.0*GAMMA*T)
WRITE(6,2)
2 FORMAT(10X,'TOF',10X,'RESULT',///)
WRITE(6,3)TOF,RESULT
3 FORMAT(10X,F15.5,10X,F15.5)
RETURN
END

C*
C*
C*
C*
C*
      SUBROUTINE TAIWA3(X,Y,Z,MM,NA,DENST,VV)
      DIMENSION X(100,100),Y(100,100),Z(100)
      DIMENSION MM(100),DENST(100),E(100),B(100)
      DIMENSION V(100)
      GAMMA=0.6667E-07
      DO 1 I=1,NA
      DO 2 J=1,MM(I)
      E(J)=X(J,I)
      G(J)=Y(J,I)
2 CONTINUE
JI=MM(I)+1
E(JI)=E(1)
G(JI)=G(1)
V(I)=0.0
DO 3 L=1,MM(I)
D=SQRT((E(L)-E(L+1))**2+(G(L)-G(L+1))**2)
R3=SQRT(E(L)**2+G(L)**2)
R4=SQRT(E(L+1)**2+G(L+1)**2)
T=R3*R4
GI=(G(L+1)*E(L)-E(L+1)*G(L))/T
T1=D*R4
FI=((G(L)-G(L+1))*G(L)+(E(L)-E(L+1))*E(L))/T1
T2=D*R3
Q1=(G(L)-G(L+1))*G(L)+(E(L)-E(L+1))*E(L)/T2
PI=((E(L)-E(L+1))*G(L)-(G(L)-G(L+1))*E(L))/D
IF(PI)4,5,5
4
5

```

```

4 S=-1,0
GO TO 7
5 S=1,0
7 IF(G1)B,9,9
8 W=-1,0
GO TO 10
9 W=1,0
10 RPZ=SQRT(F1**2+Z(I)**2)
V(I)=V(I)+W*ARCOS((E(L)*E(L+1)+G(L)*G(L+1))/Z
*(R3*R4))-ARSIN(Z(I)*QI
**S/RPZ)+ARSIN(Z(I)*F1*S/RPZ)
3 CONTINUE
V(I)=V(I)*CONST*0.10E+10
1 CONTINUE
CALL DINTEG(V,NA,Z,RR)
UU=RR
RETURN
END
C*
C*
C*
SUBROUTINE DERIVA(YY1,DF,NP,RES)
DIMENSION YY1(NP)
C* SUBRUTINA QUE DERIVA NUMERICAMENTE POR EL METODO
C* DE SEGUNDAS DIFERENCIAS CENTRALES
RES=YY1(1)-8.*YY1(2)+8.*YY1(4)-YY1(5)
RES=RES/(12.0*DF)
RETURN
END
C*
C*
C*
SUBROUTINE TICKNS(AP,TP,DP,IJ,JK,K1,L1,SIG,DEF)
DIMENSION AP(IJ,JK),TP(IJ,JK),DP(IJ,JK)
C* FORMA UN ARREGLO CON ESPESORES A PARTIR DE LA
C* ANOMALIA , SE USA LA FORMULA DE LA LOSA
CON=238.99976*SIG
DO 1 I=1,JK
DO 1 J=1,IJ
TP(I,J)=CON*AP(I,J)
DP(I,J)=DEF-TP(I,J)
1 CONTINUE
RETURN
END
C*
C*
C*
C*
SUBROUTINE ARRAY1(ALX,ALY,NR,NC,AR,NX,NY,TT)
DIMENSION ALX(NR,NC),ALY(NR,NC),AR(NR,NC)
C* FORMA UN ARREGLO CON DISTANCIAS A PARTIR DE UN PUNTO
C* QUE SE ENCUENTRA SOBRE UN PLANO A PUNTOS QUE SE
C* ENCUENTRAN EN OTRO PLANO.
AT=TT**2
DO 1 I=1,NR
DO 1 J=1,NC

```

```

1 AR(I,J)=0.0
DO 2 K=1,NR
DO 2 L=1,NC
APR=((ALX(NX,NY)-ALX(K,L))**2+(ALY(NX,NY)+ALY(K,L))**2)
AR(K,L)=SQR(APR+AT)
2 CONTINUE
RETURN
END
C*
C*
C*
C*      SUBROUTINE FOUND(CO,NGR,SOL)
C*
C*      DETERMINA LAS N RAICES DE UN POLINOMIO DE GRADO
C*      N POR EL METODO DE NEWTON RAPHSON
C*
KM=NGR+1
N=1
MM=1
NH=KH
NR=NGR
DO 1 I=1,NGR
1 SOL(I)=1.0
X=1.0
4 DER=0.0
FUN=0.0
DO 2 I=1,NH
2 FUN=FUN+CO(I)*X***(I-1)
DO 3 I=1,NH-1
3 DER=DER+(CO(I+1)*X***(I-1))*I
XNUEVA=X*FUN/DER
IF(ABS(X-XNUEVA).LT.1.E-6.OR.N.GT.30)GO TO 5
N=N+1
X=XNUEVA
GO TO 4
5 SOL(MM)=XNUEVA
DO 6 I=1,NH
6 COP(I)=CO(NR+2-I)
CO(1)=COP(1)
DO 7 I=2,NH
A1=COP(I-1)
A1=COP(I)+A1*XNUEVA
COP(I)=A1
7 CONTINUE
NH=NH-1
NR=NR-1
IF(MM.GT.NGR)RETURN
MM=MM+1
N=1
DO 8 I=1,NH
8 CO(1)=COP(NR+2-I)
X=XNUEVA/3.0
GO TO 4
RETURN
END
SUBROUTINE PLOT(X,N,TIPO)
C*

```

```

C*   SUBRUTINA PARA GRAFICAR POR IMPRESORA ARREGLOS UNIDIMENSIONALES
C*   X=ES EL ARREGLO QUE SERA GRAFICADO
C*   SI ITIPO=1, LOS DATOS TIENEN UN RANGO DE (-1,1)
C*   SI ITIPO=2, LOS DATOS TIENEN CUALQUIER RANGO
C*   SI ITIPO=3, SE GRAFICA EL LOG10 DEL VALOR X
      DIMENSION X(1),ISAL(61),XX(13)
      DATA II,IAST,IBLNC/'I','*',':'
      IF(ITIPO-1,0)11,10,11
10  XMIN=-1.0
    XMAX=1.0
    GO TO 13
C*
C*   DETERMINAR EL MAXIMO Y EL MINIMO DE UN ARREGLO CUALQUIERA
11  XMIN=X(1)
    XMAX=XMIN
    DO 12 I=1,N
      IF(X(I)-XMIN)101,101,102
101 XMIN=X(I)
102 IF(X(I)-XMAX)12,12,103
103 XMAX=X(I)
12  CONTINUE
      IF(ITIPO-3)13,104,13
104 XMIN=2.3059* ALOG(XMIN)
    XMAX=2.3059* ALOG(XMAX)
13  DX=XMAX-XMIN
    XXX=XMIN
    DO 14 I=1,13
      XX(I)=XXX
      IF(ITIPO-3)106,105,106
105 XX(I)=10.0**XXX
106 XXX=XXX+DX/12.0
14  CONTINUE
      WRITE(6,16) (XX(I),I=2,12,2)
16  FORMAT(36X,6F10.4)
      WRITE(6,17) (X(I),I=1,13,2)
17  FORMAT(31X,7F10.4)
      WRITE(6,18)
18  FORMAT(36X,'+',12('----+'))
      DO 22 I=1,N
      DO 19 J=1,61
        ISAL(J)=IBLNC
19  CONTINUE
        XXX=X(I)
        IF(ITIPO-3)111,110,111
110 XXX=2.3059* ALOG(XXX)
111 IX=IFIX((XXX-XMIN)*60.0/DX)+1.0
        ISAL(IX)=IAST
        WRITE(6,21) X(I),ISAL
21  FORMAT(10X,1PE20.10,7X,61A1)
22  CONTINUE
        WRITE(6,18)
      RETURN
      END

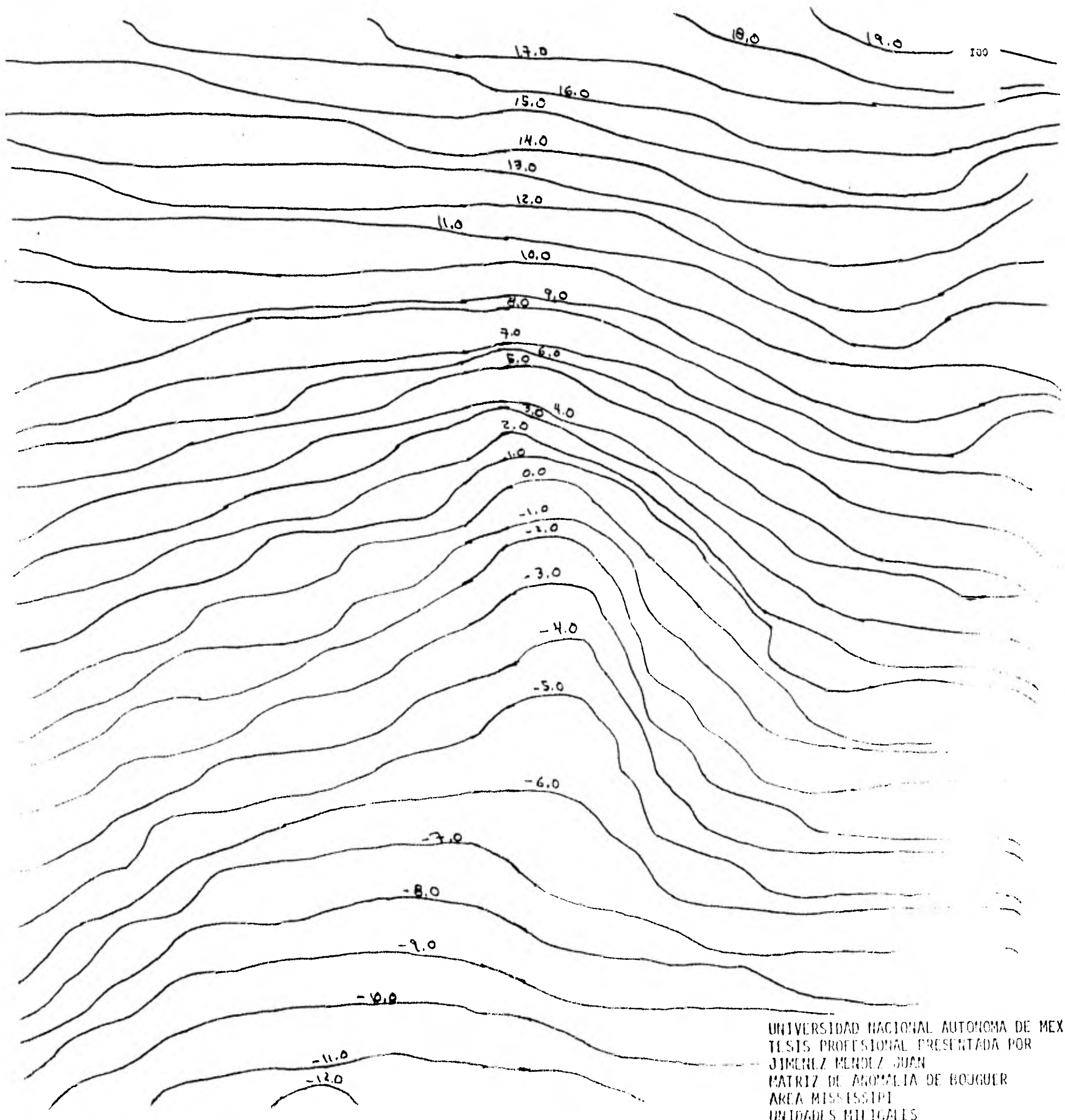
```

CAPITULO V

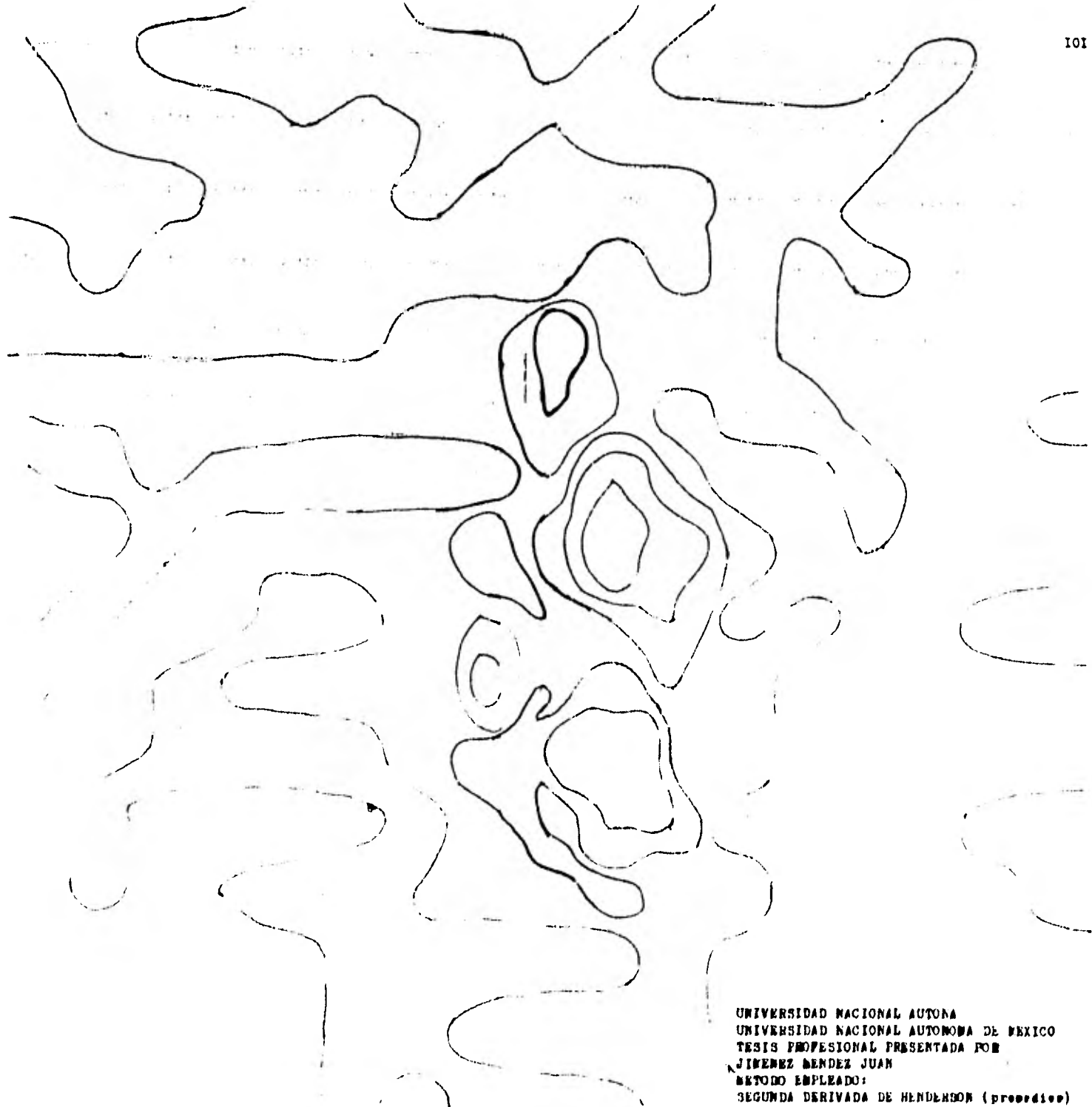
EJEMPLO

En este capitulo se presenta un ejemplo, donde algunas corridas de computadora de algunas metodos que contiene esta tesis.

El efecto que se toma como referencia, es un levantamiento gravimétrico sobre un dene saline, en una óres del mississippi.

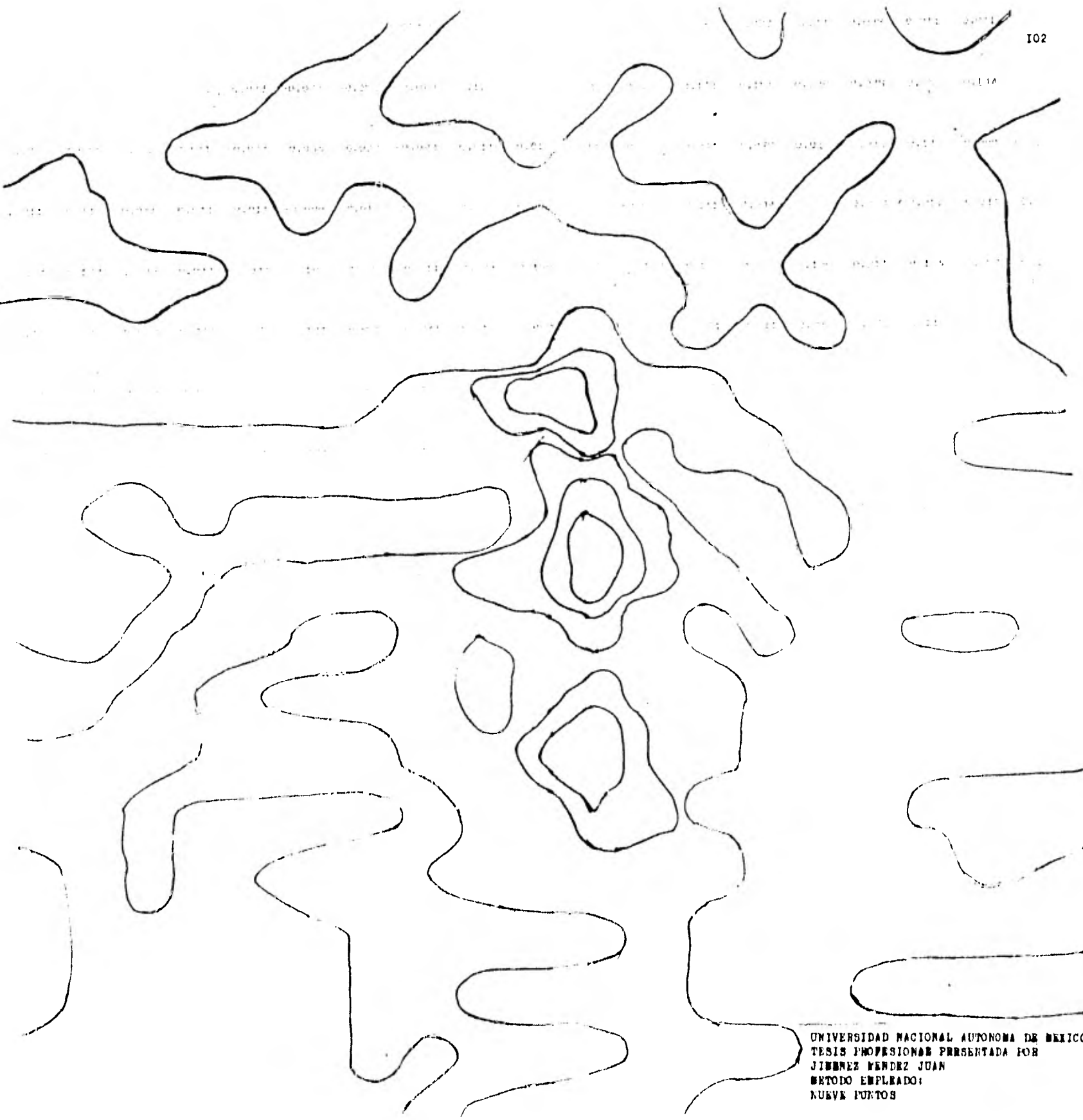


UNIVERSIDAD NACIONAL AUTONOMA DE MEXICO
TESIS PROFESIONAL PRESENTADA POR
JIMENEZ MENDEZ JUAN
MATRIZ DE ANOMALIA DE BOUGUER
AREA MISSISSIPPI
UNIDADES MILIGRALES

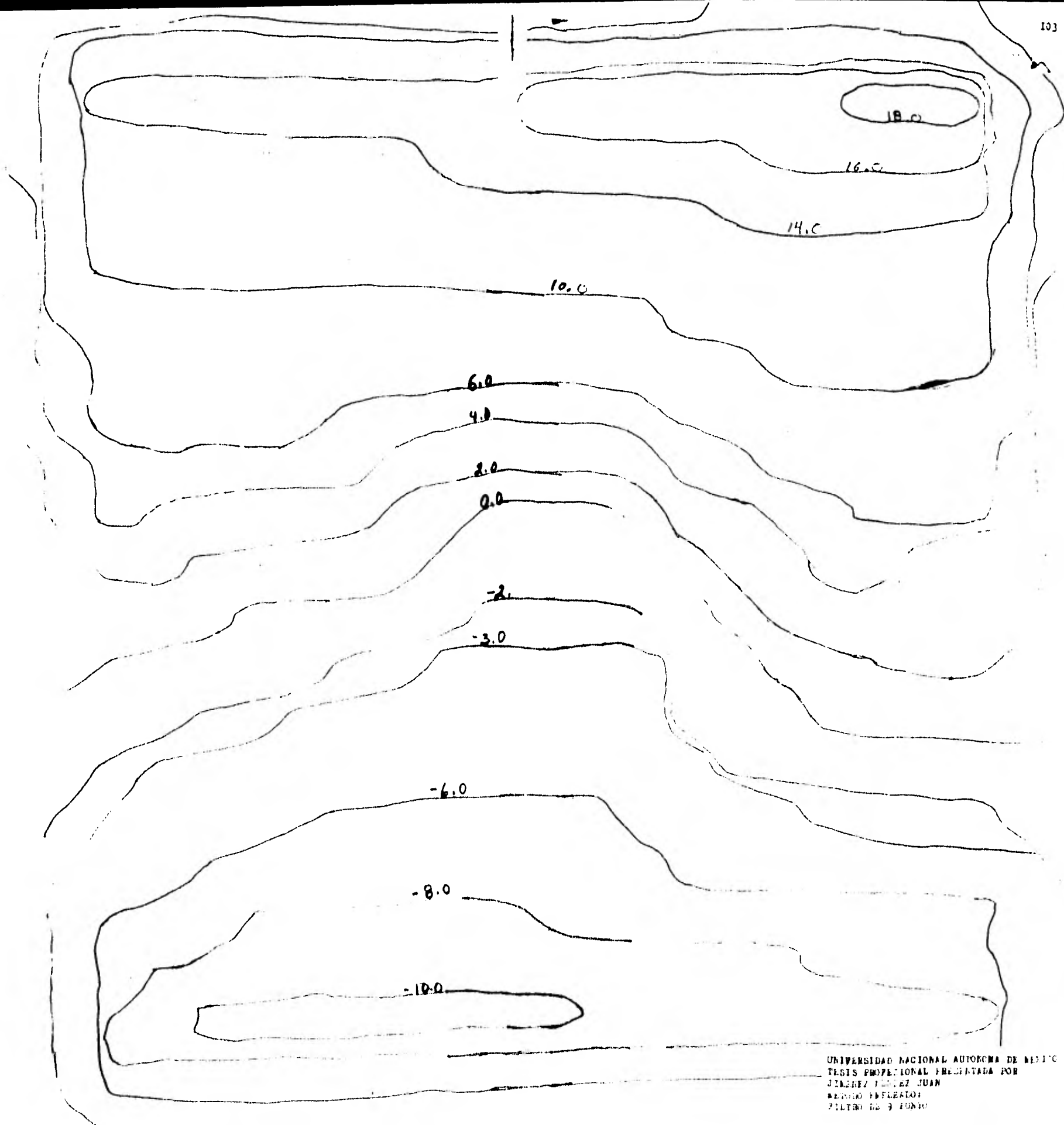


101

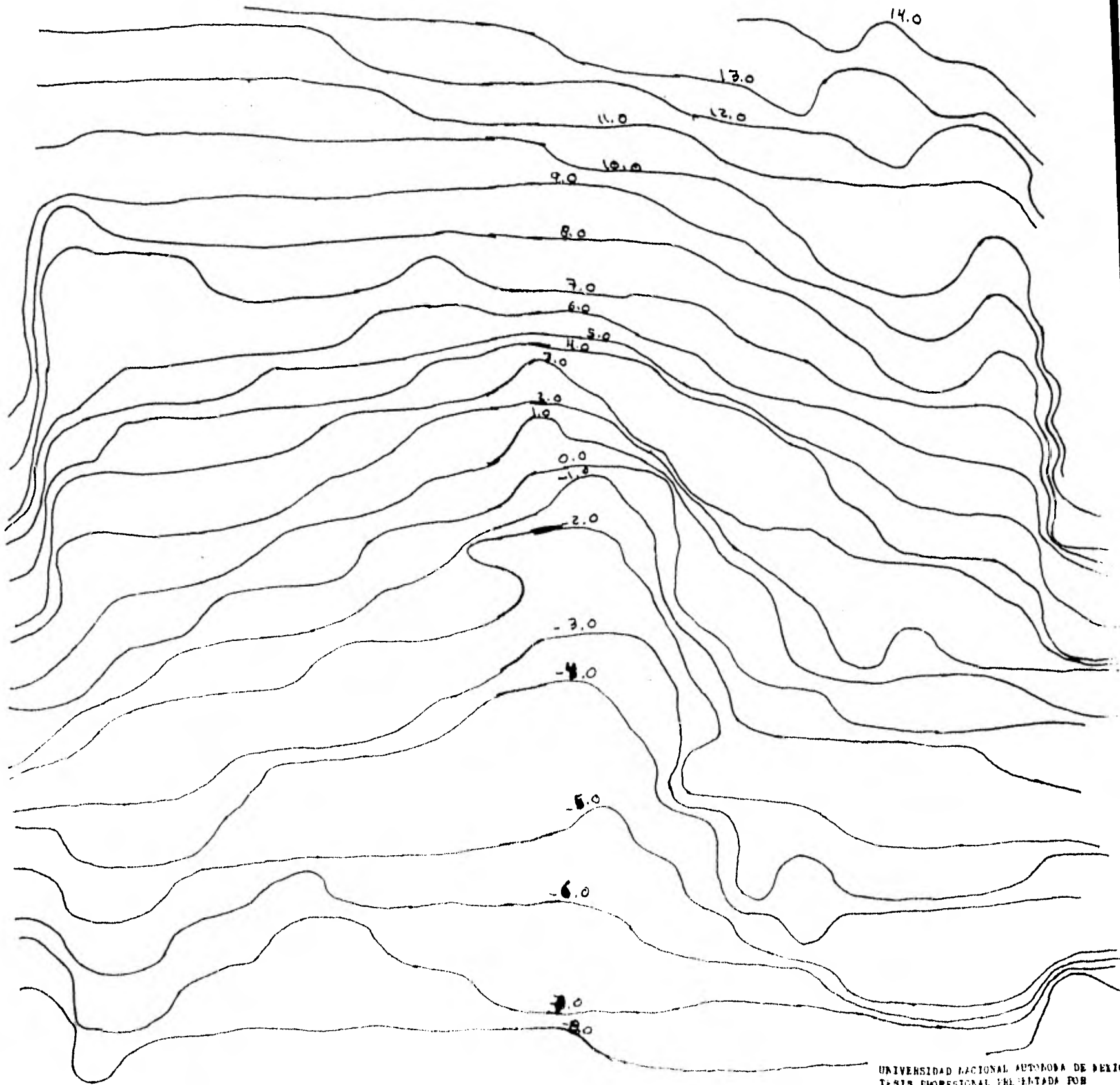
UNIVERSIDAD NACIONAL AUTONOMA
UNIVERSIDAD NACIONAL AUTONOMA DE MEXICO
TESIS PROFESIONAL PRESENTADA POR
JIMENEZ MENDEZ JUAN
METODO EMPLEADO:
SEGUNDA DERIVADA DE HENDERSON (procedimiento)



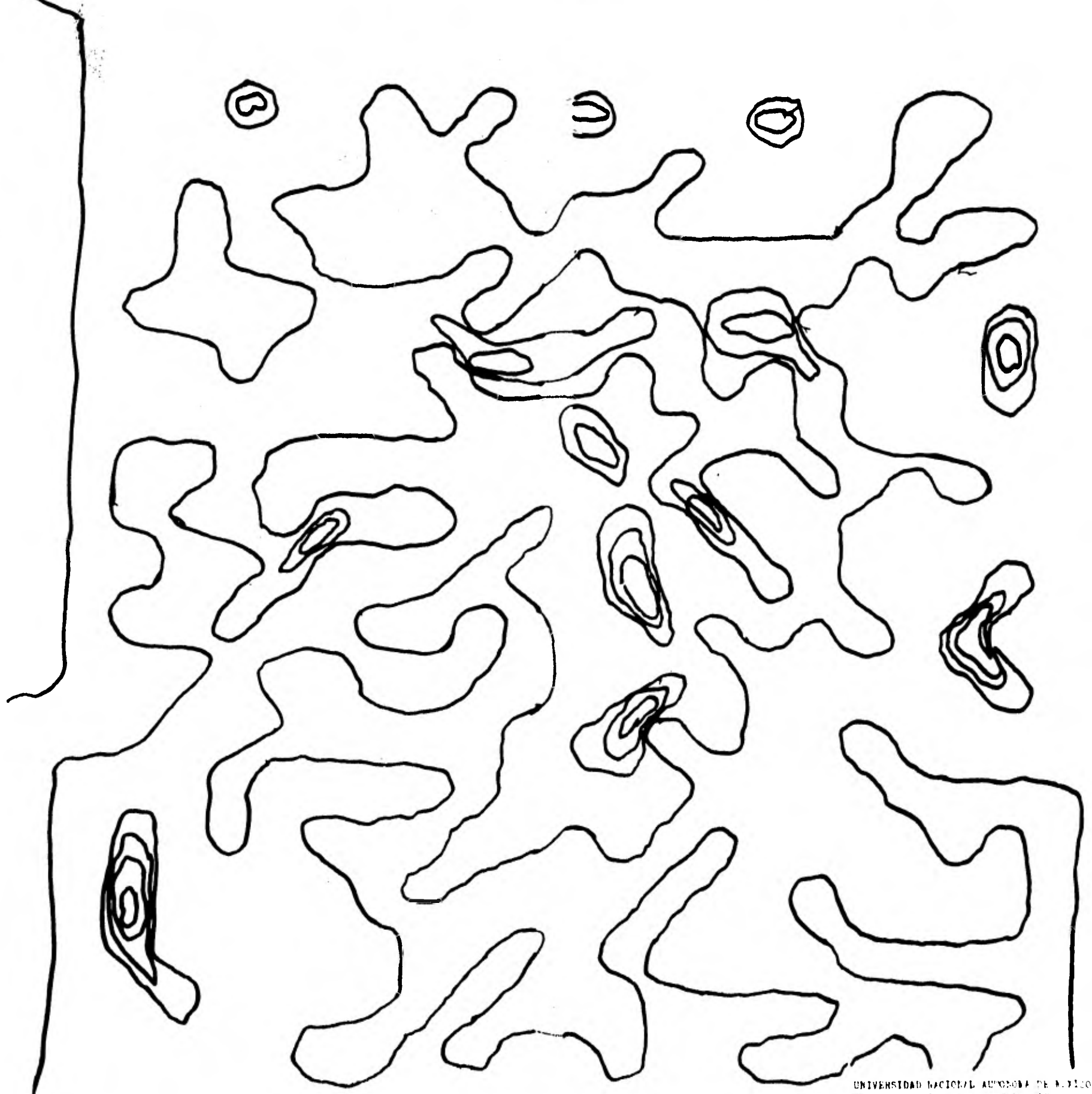
UNIVERSIDAD NACIONAL AUTONOMA DE MEXICO
TESIS PROFESIONAL PRESENTADA POR
JIMENEZ FERNANDEZ JUAN
METODO EMPLEADO:
NUEVE PUNTOS



UNIVERSIDAD NACIONAL AUTONOMA DE MEXICO
TESIS PROFESIONAL PRESENTADA POR
JIMENEZ VENDEZ JUAN
METODO EMPLEADO:
SEGUNDA DERIVADA DE ELKINS (procedier)



UNIVERSIDAD NACIONAL AUTONOMA DE MEXICO
TESIS PROFESIONAL PRESENTADA POR
JIMENEZ BENDEZ JUAN
METODO EXPRESADO:
OPERACIONES MATEMATICAS ANALITICA DE C.
HACIA ARriba



UNIVERSIDAD NACIONAL AUTÓNOMA DE MÉXICO
INSTITUTO POLITECNICO NACIONAL
JUAN DE LA MUERTE, CDMX
DEPARTAMENTO DE
CIENCIAS FÍSICAS

CAPITULO VI

CONCLUSIONES Y RECOMENDACIONES

La prospección gravimétrica consta de cuatro facetas importantes.

Primera.- obtención de datos de campo

Segunda.- aplicación de correcciones y obtención de anomalías.

Tercera.- aplicación de filtros y operadores

Cuarta.- la interpretación, propiamente dicha

Dentro de este trabajo, se trató de dar importancia a la segunda y tercera faceta.

En lo que respecta a interpretación, faltó de tratar la teoría de algunos métodos, así como elaborar y correr algunos programas.

Hay algunos programas para calculadoras de bolsillo aplicados a datos gravimétricos, que no se incluyen, pero que se pueden tratar en trabajos posteriores.

Se recomienda trabajar en el desarrollo e implementación de las técnicas aquí exequentes para adaptarlas a calculadoras de bolsillo, lo cual sería de mucha aceptación sobre todo para los brigadistas que van efectuando el procesado de datos en el campo.

B I B L I O G R A F I A

- 1.- PETER J.SMITH ;temas de Geofísica,editorial Reverte S.A pag.(54-79).
- 2.-W.M.TELFORD; applied Geophysics,pag.(7-103).
- 3.-M.B.DOBRE;introducción a la prospección Geofísica,segunda edición,editorial Omega S.A pag.(194-292).
- 4.- THE FAST FOURIER TRANSFORM; E.ORAN FRIGHAM,editorial prentice-hall,INC.
- 5.- GRIFFIN W.R;residual gravity in theory and practice geophysics,vol.I4 pag.(39-56) 1949.
- 6.- ELKINS T.A;the second derivative method of gravity interpretation,geophysics vol.I6 pag.(29-50) 1951
- 7.- HUBBERT M.K; line-integral method of computing gravity - geophysics,vol I3,pag.(275-225) 1948.
- 8.-VLADIMIR FARANOV;potential fields and their transformations in applied geophysics (1975).
- 9.-DANIEL D.MCCRACKEN;programación Fortran IV editorial - limuse.
- 10.-RANSEY A.S;(1940) introduction to the theory of newtonian attraction,london cambridge univ.
- II.-TALWANI M.andEWING M. (1960) rapid computation of gravitational attraction of three-dimensional bodies of arbitrary shape,geophysics 25 pag.(203-225).
- 12.-HANNER,S.(1945).Estimating ore masses in gravity prospecting.Geophysics pag. (10,50-62).
- 13.- TALWANI,M.,NORZEL,JL and LANDISMAN,N.(1959) rapid gravity computations for two-dimensional bodies with application to the mendocine submarine fracture zones Jour Geophysics 64,49-59.

- I4.- NETTLETON,L.L. (1954).Regionals,residuals and structures
Geophysics,19,I-22.
- I5.-TREJO,CESAR A.:note on Downward continuation of gravity,Geophysics,vol.19 pag.71-75 (1954).
- I6.- OTTO ROSENBACH;a contribution to the computation of the
second derivative from gravity data,Geophysics 18,(804-912).
- I7.-JOAQUIN SADA ANAYA;anomalies residuales, asociacion mexi-
cana de geofisica de exploracion pag.(29-49).
- I8.-SIGMUND HAMMER;note on the variation from equator to pole
of the earth's gravity,Geophysics 8,pag.(57-60).

APENDICE A (CALCULO DE LA DENSIDAD)

Una de los principales problemas en prospección gravimétrica es la densidad.

Para esto se han ideado varias formas de obtenerla en un área - donde la topografía es homogénea, se obtiene un promedio de densidad, tomando pocas medidas en el área.

Otra forma de calcularla, es tomar muestras representativas de rocas en el área y enviarlas a laboratorio en donde con el picnómetro o con las balanzas de Schwarz & Jolly se calcula.

Sin embargo los resultados de laboratorio no necesariamente dan la verdadera densidad de formación.

Netleton elaboró el método indirecto para el cálculo de densidad, en el cual se hace un perfil gravimétrico a lo largo de una desigualdad topográfica, cuando se elabora el perfil de los valores medidos, el efecto gravitatorio debido a la desigualdad topográfica se calcula en cada punto de observación a lo largo del perfil y se descarta el valor medido para ese punto.

El cálculo se repite varias veces utilizando en cada caso densidades diferentes, y se considera que el valor de densidad en el que la topografía es mínima, es el más correcto.

Otro método similar de Netleton es el de Parzenis.

DIAGRAMAS DE DENSIDAD

En el año geofísico internacional (1957) se elaboró un instrumento que mide directamente la densidad de las formaciones en los pozos de sondas.

Este aparato elabora un diagrama de radiación gamma difractada - que es una función sencilla de la densidad de la formación.

Con la escala logarítmica leemos directamente las densidades en el diagrama.

III

APENDICE B (TABLAS)

En el siguiente inciso se presentan unas tablas , en el cual viene el método empleado seguido de la fórmula y al final lo que efectua & calcula.

Estas fórmulas serían algunas de las más importantes.

M E T O D O E M P L E A D O	F O R M U L A	E P E C T U A (calcula)
ley de Newton	$F = \frac{m_1 m_2 g}{r^2}$	fuerza de atracción entre dos masas separadas una distancia r.
	$g = \frac{G}{r^2} m$	aceleración de la gravedad.
potencial gravitacional	$V(r) = \frac{G m}{r}$	trabajo hecho por una masa moviéndose desde el infinito al punto considerado.
relación	$\nabla V(r) = -g(r)$	relación entre la aceleración de la gravedad y el potencial gravitacional.
medición	$r = \text{radio del planeta}$, $r = \text{radio}$	achatamiento de la tierra.
formulá internacional de la gravedad	$g = g(1 + \frac{A}{R^2} \sin^2 \phi + \frac{B}{R^2} \cos^2 \phi)$	la variación de g con la latitud al nivel del mar.
corrección	$\Delta g = 3.086 h$	corrección de aire libre.
corrección	$\Delta g = 41.31 \times 10^6 \rho h$	corrección de Bouguer
corrección	$\Delta_g Q = \dots$	corrección topográfica.
medición en el lugar	g_s	
	$\Delta g = g_s - g_0$	diferencia de gravedad.
anomalía	$\Delta_f g = \Delta g + 3.086 h$	anomalía de aire libre.
anomalía	$\Delta_a g = \Delta g + 3.086 h - 41.9 \times 10^6 \rho h + \Delta_g Q$	anomalía de Bouguer.

convolución	$S(X,Y) = E(X,Y) * h(X,Y)$	convolución del plane de anomalía con un filtro.
transformada de Fourier	$E(W_x, W_y) = \iint_{-\infty}^{\infty} E(X,Y) e^{-j(W_x X + W_y Y)} dX dY$	transformada de Fourier de una función $E(x,y)$.
anomalía de Bouguer	$B(X,Y) = G(X,Y) + R(X,Y)$	anomalía de Bouguer en el punto (x,y) .
W. Raymond Griffin	$\Delta G = G(0) - \bar{G}(Y)$	eliminación del efecto regional.
	$\bar{G}(Y) = \frac{1}{2\pi} \int_0^{2\pi} G(Y, \theta) d\theta$	efecto regional.
	$\bar{G}(Y) = [G_1(Y) + G_2(Y) + \dots + G_N(Y)] / N$	efecto regional.
promedio de 9 puntos	$A_R = R_0 - \frac{[A_0 + \bar{S}A(Y) + \bar{E}A(YV)]}{9}$	eliminación del efecto regional
segunda derivada	$D = \frac{C}{S^2} [W_0 H_0 + W_1 H_1 + \dots]$	eliminación del efecto regional
continuación analítica de campo hacia arriba	$G(W_x, W_y, Z) = \frac{G(W_x, W_y, 0)}{e^{-j(W_x Z + W_y Z)}}$	realiza el efecto regional.
continuación analítica de campo hacia abajo		eliminación del efecto regional, realiza el efecto residual.
estrate equivalente	$S(W_x, W_y) = \frac{1}{2\pi Y} \int_{-\infty}^{\infty} G(W_x, W_y, 0) e^{j(W_x X + W_y Y) / Y} dX$	determina una fuente que nos produzca el campo observado.
exceso & déficit de masa	$m = \frac{I}{4G \tan(\frac{X_0}{Z_0})}$	exceso & déficit de masa de un cuerpo que produce la anomalía de Bouguer.

efecto gravitatorio	$g_v = \gamma \frac{4}{3} \pi \frac{r^3}{(x^2+z^2)^{3/2}} \frac{x}{r}$	efecto gravitatorio de una esfera.
efecto gravitatorio	$g_z = -2\pi z \gamma \left[\frac{x}{z} - \tan^{-1} \frac{x}{z} \right]$	efecto gravitatorio de una losa.
efecto gravitatorio	$g_v = \frac{2\pi R^2 \gamma v z}{(x^2+z^2)}$	cilindro enterrado horizontalmente.
profundidad	$h = 1.333 \frac{x}{2}$	calcula de la profundidad de una esfera.
profundidad	$h = \frac{x}{2}$	calcula de la profundidad de un cilindro.